

Title	沸騰二相流系の流れの安定性に関する研究
Author(s)	松井, 剛一
Citation	大阪大学, 1972, 博士論文
Version Type	VoR
URL	<a href="https://hdl.handle.net/11094/2604">https://hdl.handle.net/11094/2604</a>
rights	
Note	

*Osaka University Knowledge Archive : OUKA*

<https://ir.library.osaka-u.ac.jp/>

Osaka University

# 沸騰二相流系の流れの安定性に関する研究

昭和47年2月

松 井 剛 一

## 目 次

記 号		iv
総 論		1
各 論		9
第 1 章	流れの不安定現象	9
§ 1.	序 論	9
§ 2.	実験装置および計測法	11
§ 3.	安定・不安定の判別	14
§ 4.	実験の結果と考察	18
4.1.	流れの安定領域と不安定領域	18
(1)	自然循環	
(2)	強制循環	
(3)	流れの不安定領域帯	
4.2.	流れの振動(不安定時)	27
§ 5.	結 論	30
第 2 章	気液二相流の圧力損失	32
§ 1.	序 論	32
§ 2.	関係式の導出	34
§ 3.	実験装置および計測法	39
§ 4.	実験の結果および考察	42
4.1.	圧力損失比	42
4.2.	従来の研究結果との比較検討	48
(1)	Lockhart と Martinelli の研究	
(2)	赤川の研究	
(3)	Bankoff の研究	

	(4) 井上と青木の研究	
	§ 5. 結 論	56
第 3 章	気体スラグの諸性質	57
§ 1.	序 論	57
§ 2.	従 来 の 研 究	58
§ 3.	実 験 装 置 と 計 測 法	64
§ 4.	実 験 結 果 と 考 察	65
4.1.	気体スラグの上昇速度	65
4.2.	管内平均ボイド率	73
4.3.	気体スラグの長さ	76
4.4.	気体スラグの通過の周期	82
§ 5.	結 論	89
第 4 章	流れの安定性理論	91
§ 1.	序 論	91
§ 2.	基 礎 方 程 式	93
2.1.	連続の式	93
2.2.	エネルギーの式	95
2.3.	非沸騰部に対するエネルギーの式	96
2.4.	運動量の式	97
§ 3.	流れの安定性	99
3.1.	基礎の仮定	99
3.2.	集中定数系としての基礎式	102
3.3.	無次元化	105
3.4.	特性方程式	106
3.5.	流れの安定条件	108
§ 4.	数値計算結果と考察	109
§ 5.	結 論	112

結 論	114
-----	-----

謝 辭	117
-----	-----

参 考 文 献	118
---------	-----

## 記 号

主な記号は各章を通じて統一をとるようにしたが、章によつては多少意味が変わる場合もある。そのときには、逐次説明を加える。

- $A$  : 流路の断面積 ( $= \pi D^2/4$ ),  $m^2$   
 $C_{pl}$  : 液体の比熱,  $kcal/kg \cdot ^\circ C$   
 $D$  : 管径,  $m$   
 $F$  : 駆動水頭,  $m$   
 $F_{RT}$  : 二相流フルード数 ( $= (\rho_L A u^2 / 2g) / (\rho_L - \rho_g) A F$ )  
 $f$  : ボイド率 (気体体積率)  
 $\bar{f}$  : 管内平均ボイド率 (= 相流部内を気相が占める体積割合)  
 $g$  : 重力加速度,  $m/sec^2$   
 $h_L$  : 気化の潜熱,  $kcal/kg$   
 $L$  : ループの全長,  $m$   
 $L_H$  : 加熱部の長さ,  $m$   
 $L_R$  : 上昇部の長さ,  $m$   
 $L_x$  : 非沸騰部の長さ ( $= L_H - X_B$ ),  $m$   
 $L_t$  : 二相流部の長さ,  $m$   
 $l$  : 長さ,  $m$   
 $l_g$  : 気体スラッグの長さ,  $m$   
 $p$  : 圧力,  $kg/m^2$   
 $Q$  : 全加熱量,  $kcal/sec$   
 $Q_g$  : 沸騰に寄与する熱量,  $kcal/sec$   
 $\theta$  : 単位時間, 単位体積当りの加熱量,  $kcal/m^3 sec$   
 $\theta_B$  :  $\theta$  の無次元量 ( $= \theta L_H / h_L \rho_g u_c$ )  
 $R$  : ループの全損失水頭 ( $= R_s + R_t$ ),  $m$   
 $R_s, R_t$  : 单相流部, 二相流部の損失水頭,  $m$

- $R_{tf}, R_{ta}$  : 二相流部の摩擦損失水頭, 加速損失水頭,  $m$   
 $R_{ts}$  : 二相流部を液体だけが流れたとしたときの二相流部の損失水頭,  $m$   
 $Re$  : レイノルズ数 ( $= uD/\mu$ )  
 $T$  : 温度,  $^{\circ}C$  または  $K$   
 $T_g$  : 気体スラッグの通過の周期,  $sec$   
 $\Delta T_{sub}$  : サブクール温度 (液相の飽和温度と加熱部入口での温度との差),  $^{\circ}C$   
 $t$  : 時間,  $sec$   
 $u$  : 单相流部または加熱部入口での断面積  $A$  に対する流速または二相流部で見れば液相の体積速度 (二相流部を液相だけが流れたとしたときの流速),  $m/sec$   
 $u_l, u_g$  : 二相流部での液相および気相の流速 (上昇速度),  $m/sec$   
 $u_{gi}$  : 空気吹込みの場合の断面積  $A$  に対する空気の流入速度, 二相流部で見れば気相の体積速度 (二相流部を気相だけが流れたとしたときの流速),  $m/sec$   
 $u_{go}$  : 気相の終端上昇速度 (静止液体中での気体スラッグの上昇速度),  $m/sec$   
 $u_c$  : 沸騰が止む加熱部入口での液体の流速 ( $= \dot{q}_{LH} / \rho_l C_{pl} \Delta T_{sub}$ ),  $m/sec$   
 $u_F$  : 強制流の流速,  $m/sec$   
 $V$  : (二相流部の) 体積,  $m^3$   
 $V$  : 二相流部の全体積速度 (液相と気相の体積速度の和) ( $= u + u_{gi}$  または  $u + v_p$ ),  $m/sec$   
 $v_p$  : 断面積  $A$  に対する気相の発生速度, 上昇部で見れば気相の体積速度 ( $= \dot{q}_{XB} / \rho_g v_g$ ),  $m/sec$   
 $x$  : 空気流入口からの流れに沿った距離,  $m$

- $x^*$  : 空気流入口からの無次元距離 ( $= x/L_R$ )  
 $X_B$  : 沸騰長さ (一様加熱を仮定したときの加熱部における沸騰部分の長さ), m  
 $x_B$  : 無次元沸騰長さ ( $= X_B/L_H$ )
- $\alpha$  : 二相流の圧力損失の定数 (第2章)  
 $\rho_l, \rho_g$  : 液体および気体の比重量, 第1章および第4章では沸点における比重量,  $\text{kg}/\text{m}^3$   
 $\rho_{ls}$  : 单相流部における液体の比重量 (第4章)  
 $\epsilon$  :  $= \rho_{ls}/\rho_l - 1$   
 $R$  : ループの抵抗係数 (ループを液体だけが流れたときの抵抗係数) ( $= R_s + R_t$ )  
 $R_s, R_t$  : 单相流部, 二相流部の抵抗係数  
 $R_f, R_a$  : 二相流部の摩擦損失係数, 加速損失係数  
 $R_{ts}$  : 二相流部を液相だけが流れたとしたときの二相流部の抵抗係数  
 $K$  : 垂直気液二相流の全圧力損失比 ( $= R_t/R_{ts}$ )  
 $K_f, K_a$  : 二相流の摩擦損失比, 加速損失比  
 $\mu$  : 粘性係数,  $\text{kg sec}/\text{m}^2$   
 $\nu$  : 動粘性係数,  $\text{m}^2/\text{sec}$   
 $\rho$  : 比質量,  $\text{kg sec}^2/\text{m}^4$   
 $\tau_{sub}$  : サブクール時間 (飽和温度より  $\Delta T_{sub}$  °C だけ低い液体が  $\rho$   $\text{kcal}/\text{m}^3\text{sec}$  の割合で加熱を受けて飽和に達するまでの時間) ( $= \rho_l C_{pe} \Delta T_{sub} / g$ )  
 , sec  
 $x$  : 蒸気含有率 (クオリティ) ( $= \rho_g u_{gi} / (\rho_g u_{gi} + \rho_l u)$ )



## 添字

- a : 加速損失  
 B : 沸騰開始点, 沸騰部, 沸点  
 c : 沸騰が止むところ, 臨界点,  
 e : 上昇部 (= 相流部) 出口  
 f : 摩擦損失  
 g : 気相  
 i : 加熱部 (または二相流部) 入口  
 l : 液相  
 r : 相対速度  
 s : 单相流  
 sub : サブグループ  
 t : 二相流  
 ts : 二相流部を液相だけが流れたとした場合  
 ta : 二相流部の加速損失  
 tf : 二相流部の摩擦損失  
 x : 非沸騰部  
  
 0 : 定常解  
 \* : 無次元量

















以上を要約するに、本研究は、沸騰二相系において生ずる流れの不安定現象について、実験によって現象を系統的に整理し、気液二相流の全圧力損失比について簡潔な表式を導き、理論的解析によって流れの不安定の発生原因を説明するとともに、流れの安定性に関する予測の一つのモデルを提案したものである。

## 各論

## 第1章 流れの不安定現象

## §1. 序論

沸騰によって生ずる気液二相流を含む閉ループの流れの不安定現象に関する研究は、実験・理論とも多岐にわたる。とくに、沸騰水型原子炉の安定性の問題が気液二相流の安定性の問題に帰着されること知られてから、ますます盛んに研究されるようになった。そして、その取扱いは、気液二相の混合流れを平均的にみる方法から、個々の気泡の運動について考える方法まで多様である。

沸騰によって生ずる気液二相流を含む閉ループの流れの安定・不安定に関する従来の実験的研究から主な結果<sup>(7)-(10)</sup>をあげると、(1) 二相流部出口ボイド率(出口断面における断面積に対する気相の占める断面積の割合)が60%以上で流れが不安定になる、(2) 閉ループの下降部(単相流部)を絞ると安定になる、(3) 強制循環にすると安定になる、(4) サブクール温度(液体の飽和温度と加熱部入口での温度の差)が大きくなるとう不安定になる、(5) 摩擦損失曲線が負の勾配のところでは不安定になる<sup>(9)</sup>、(6) 加熱量-サブクール温度面で、流れの不安定領域は安定領域にはさまれて存在し、強制循環にすると不安定領域は狭くなってサブクール温度の小さい方へ移動する<sup>(10)</sup>などである。

しかしながら、従来の実験的研究では、流れの安定・不安定の生ずる一面的な効果しか述べていないし、二相流の流動形式にもほとんどふれていない。したがって、現象の統一的な整理がなされていないままである。

これでは、沸騰二相流系たとえば沸騰水型原子炉の運転や設計の基準として不十分である。

そこで、本章では、まずできるだけ数少ないパラメータによって、なるべく広い範囲の条件にわたって流れの不安定現象を把握することに留意して実験を行った。実験装置は、気液二相流の特徴が顕著に現われるように加熱部を短かく上昇部を長くした管路系にされた。また、作業流体は測定を容易にするために沸点が水より低く ( $36.9^{\circ}\text{C}$ )、物性値が水のそれとあまり違わない (Table 1.1. 参照) n-ペンタンを用いた。そして、流れの不安定が、従来の結果からも明らかなるように、二相流部だけでなく系全体に関係することから、流れの不安定に影響する因子として、管路系で供給または消費されるエネルギーおよび運動量に対応する加熱量、サブクール温度、管路系の抵抗係数、強制流の流速の四つを選び、これらの因子が流れの安定・不安定に及ぼす効果について、二相流部の流動形式や沸騰状態とも関連させて調べ、流れの不安定現象について広範囲で統一的な把握ならびに整理を行なうことができた。

	n-Pentane	Water
Specific weight of liquid ( $\text{kg}/\text{m}^3$ )	607	958
Specific weight of gas ( $\text{kg}/\text{m}^3$ )	2.8	0.58
Specific heat of liquid ( $\text{kcal}/\text{kg}^{\circ}\text{C}$ )	0.54 ( $16.84^{\circ}\text{C}$ )	1.0
Latent heat of evaporation ( $\text{kcal}/\text{kg}$ )	85.4	539
Coefficient of viscosity of liquid ( $\text{kg}\cdot\text{sec}/\text{m}^2$ )	$0.20 \times 10^{-4}$	$0.29 \times 10^{-4}$
Kinematic viscosity of liquid ( $\text{m}^2/\text{sec}$ )	$0.32 \times 10^{-6}$	$0.29 \times 10^{-6}$
Surface tension ( $\text{kg}/\text{m}$ )	$1.4 \times 10^{-3}$	$5.8 \times 10^{-3}$

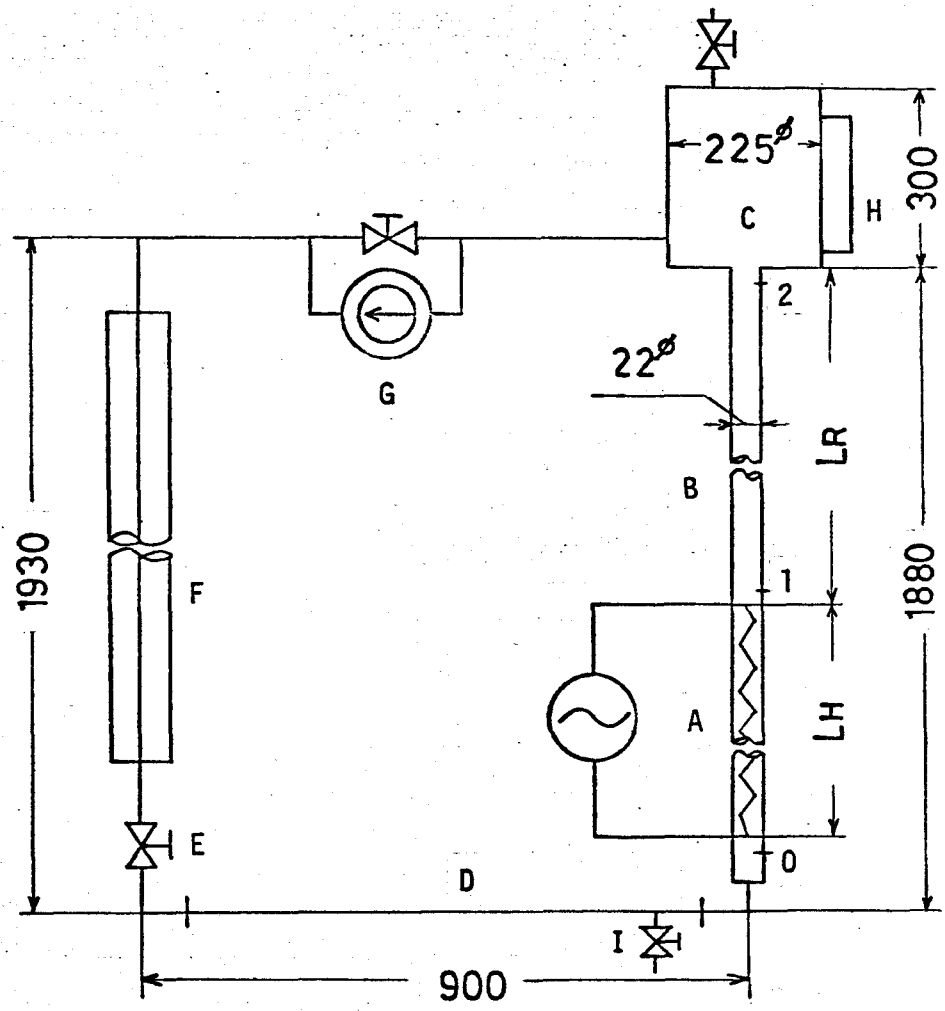
Table 1.1. Thermal and hydrodynamical properties  
of n-pentane and water at the boiling point <sup>(11)-(16)</sup>

## § 2. 実験装置および計測法

本実験で用いた均一電気加熱による沸騰ループの実験装置を Fig. 1.1. に示す。ループは、上の水平部、下降部、下の水平部、加熱部、上昇部および気液分離用のタンクからなる。加熱部および上昇部がニ相流になりうる部分である。加熱部の管内中央にニクロム線が張ってある。加熱部および上昇部は内径  $22^{\phi}$  (流速を表わすときの代表管路径) のガラス管で作られ、沸騰および流動の様子が直接観測できる。加熱部および上昇部の長さは変えられるようにしてあり、その継手部が計測部になっている。

本実験では、加熱部の長さ ( $L_H$ ) が  $0.2\text{m}$ 、上昇部の長さ ( $L_R$ ) が  $1.5\text{m}$  の管を用いた。上昇部の上に設けた気液分離用のタンクは大気圧に開放されている。下降部は熱交換用の恒温槽を通り、サブクール温度を調節する。上の水平部に付置したポンプ (最大流量  $15\text{ l/min}$ 、最大揚程  $2.7\text{m}$ 、標準流量  $8\text{ l/min}$ ) で管路内の流体を駆動するこゝができる。このポンプは、測定に先立って行なう管路系の抵抗係数の設定および強制循環の場合の強制流を作るために用いられる。下降部の絞り弁により管路系の抵抗係数を変える。これは上のポンプで一定温度の液体 ( $30^{\circ}\text{C}$  のカーボン) を一定流速 (下の水平部で  $0.2\text{ m/sec}$ 、ただし、このあたりでは流速の多少の違いはらの設定にほとんど影響しないことが実測される) で流したとき、タンクの出口から入口までの全圧力損失を下の水平部における平均動圧で除した値で定義する。

計測は、下の水平部においてピトー静圧管 ( $r=8, 50, 100, 500$  の場合、時定数は  $0.006\text{ kg/cm}^2$  で  $0.22\text{ sec}$ ) またはピトー・ベンチュリ管 ( $r=1400$  の場合、時定数は



- (A) Heater section (B) Riser section (C) Separator
- (D) Pitot static tube or Pitot venturi tube
- (E) Throttle valve (F) Heat exchanger (G) Pump
- (H) Level (I) Drain valve

Fig.1.1. Schematic diagram of single boiling channel upward flow system

0.006 kg/cm<sup>2</sup> で 0.22 sec ) で单相流部の流速  $u$  (m/sec) を測定し、加熱部および上昇部の 0, 1, 2 の各点で差圧と温度を、1, 2 の各点でボイド率を測定する。差圧はダイヤフラム型差圧計で、温度はサーミスタおよび水銀温度計 (1/10 °C 目盛) を用いて測定する。また、ボイド率は計測部の内壁に内径 22 $\phi$  で長さ 30mm の 2 枚の Al 極板を取り付け、極板間の電気容量の変化を井上回路で検出する。こうして測定した各量を電磁オシログラフに同時に記録させる。製作した静電容量式ボイド計の簡単な回路図を Fig. 1.2 に示す。

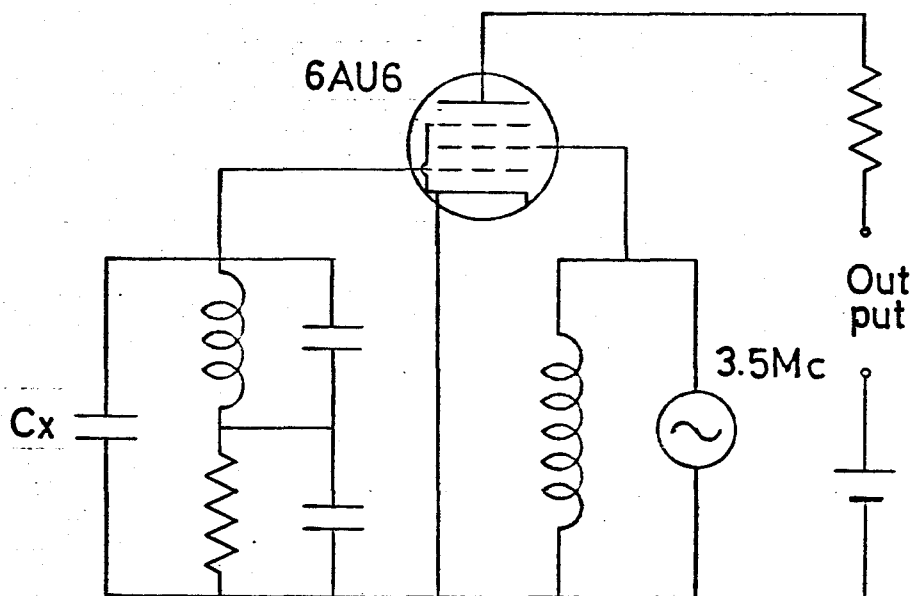


Fig. 1.2. Void meter (Inoue circuit)

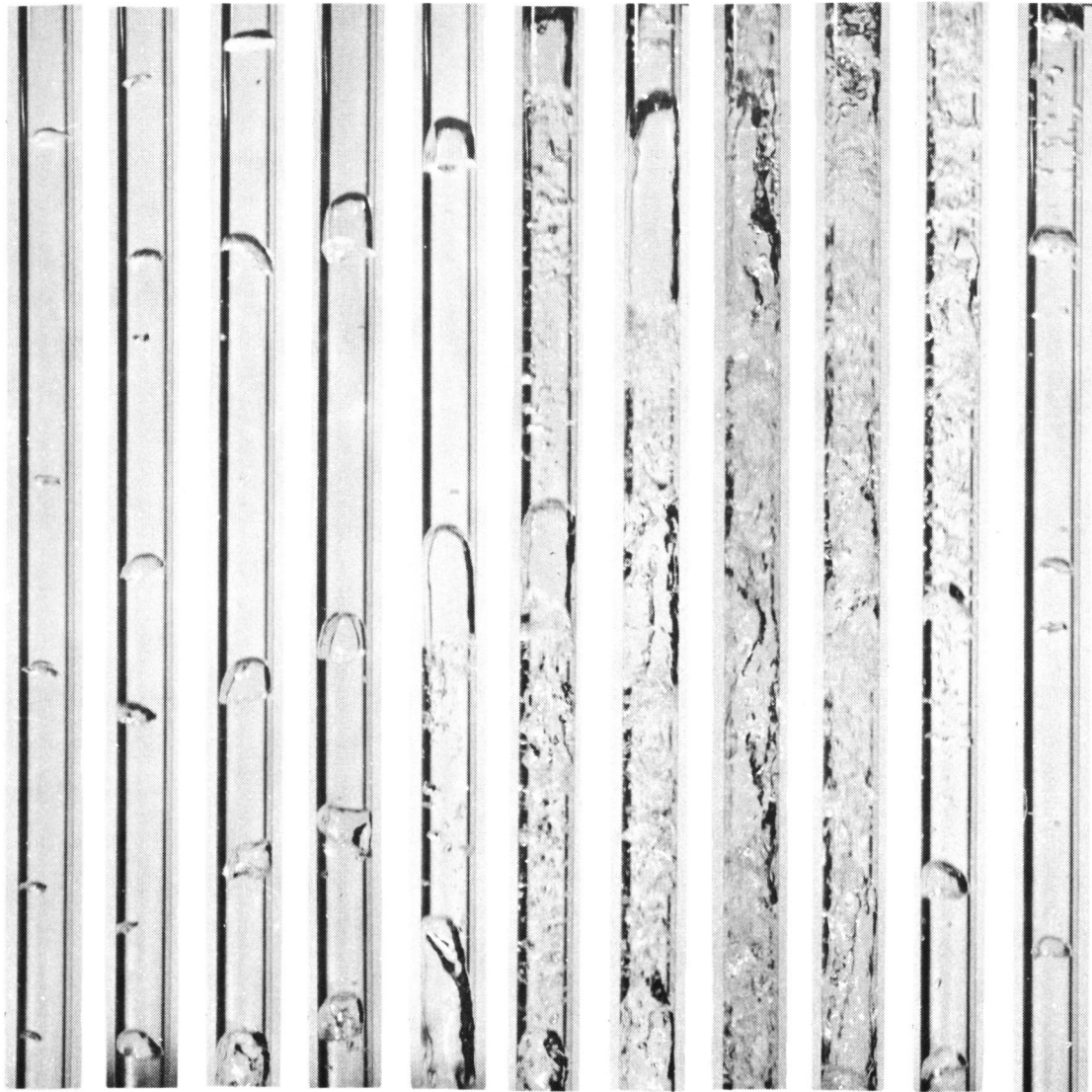
測定は、自然循環の場合、まず下降部の絞り弁を調節して管路系の抵抗係数を先に述べた方法で設定し、加熱量 (単位体積当り単位時間内に加えられる熱量)  $q$  (kcal/m<sup>3</sup>sec) とサブクール温度 (液体の飽和温度と加熱部入口での温度の差)  $\Delta T_{sub}$  (°C) との値をい

ろ変えて行ない、次に $\alpha$ を変えて同じことを繰返して行なった。一方、強制循環の場合は、まず $\alpha$ を自然循環の場合と同じ方法で設定し、引き続き上のポンプによって一定の強制流 $U_F$  (m/sec)を与えておいて、 $\beta$ と $\Delta T_{sub}$ の値をいろいろ変えて実験を行なった。流れの安定・不安定の領域についての測定は、自然循環の場合 $\alpha = 8, 50, 100, 500, 1400$ の値について行ない、強制循環の場合には $\alpha = 1400$ のときだけについて、強制流 $U_F$ が(加熱しない状態で)  $0.045$ と $0.08$  m/secの場合を調べた。流れの不安定時の自励振動の状況については、いずれの場合も $\alpha = 1400$ のときだけについて調べた。

### §3. 安定・不安定の判別

沸騰によって生ずる気液二相流系の流れの不安定というのは、気泡の発生や消滅、気泡の運動などによって生じる比較的振動数の高い流れの変動ではなく、気泡の流れの状況が刻々と変化していくために、流速およびその他の量が比較的ゆるい間欠的な振動を示す流れの変化をさしている。したがって、二相流の流動形式が時間とともに変化して流れがゆるい振動を示せば「不安定」とし、流動形式が時間とともに変化せず流れがゆるい振動を示さなければ「安定」とする。

上昇部で観測した不安定時の流動状況の写真を Photo. 1.1 に示す。流動状況は番号順に左から右へと移行しそれが繰返される。写真と单相流部流速とを対応させると、1, 2 では流速は最小で、3, 4, 5 で徐々に増加し、6, 7 で急速に増加する。そして8, 9 で最大となり、10, 11 で急速に減少して再び最小となる。この観測から、二相流の流動形式が流れの不安定に与える影響を与えることがうかがえる。また、Fig. 1.3 に電磁オシ



1 2 3 4 5 6 7 8 9 10 11

Photo. 11 Photographs of flow instability in the riser section.

( $q=969\text{kcal/m}^3\text{ sec}$ ,  $\Delta T_{\text{sub}}=1.8^\circ\text{C}$ ,  $\zeta=8$ , Natural circulation,  
Period=5.9sec)



ロググラフに記録した不安定の例を示す。大きな周期で規則的な振動を示しているのがわかる。

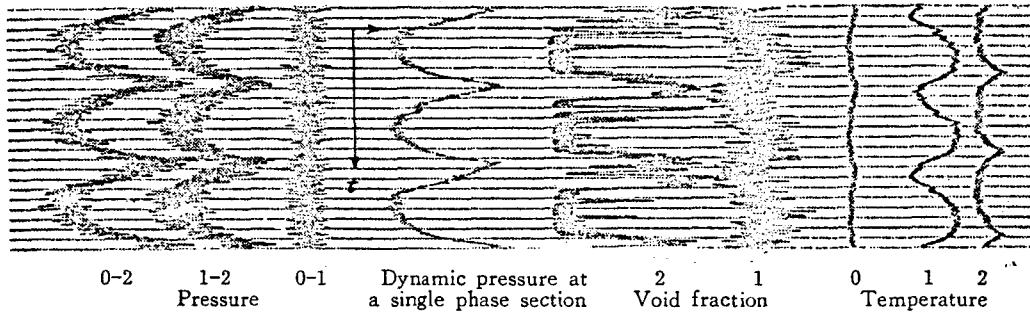
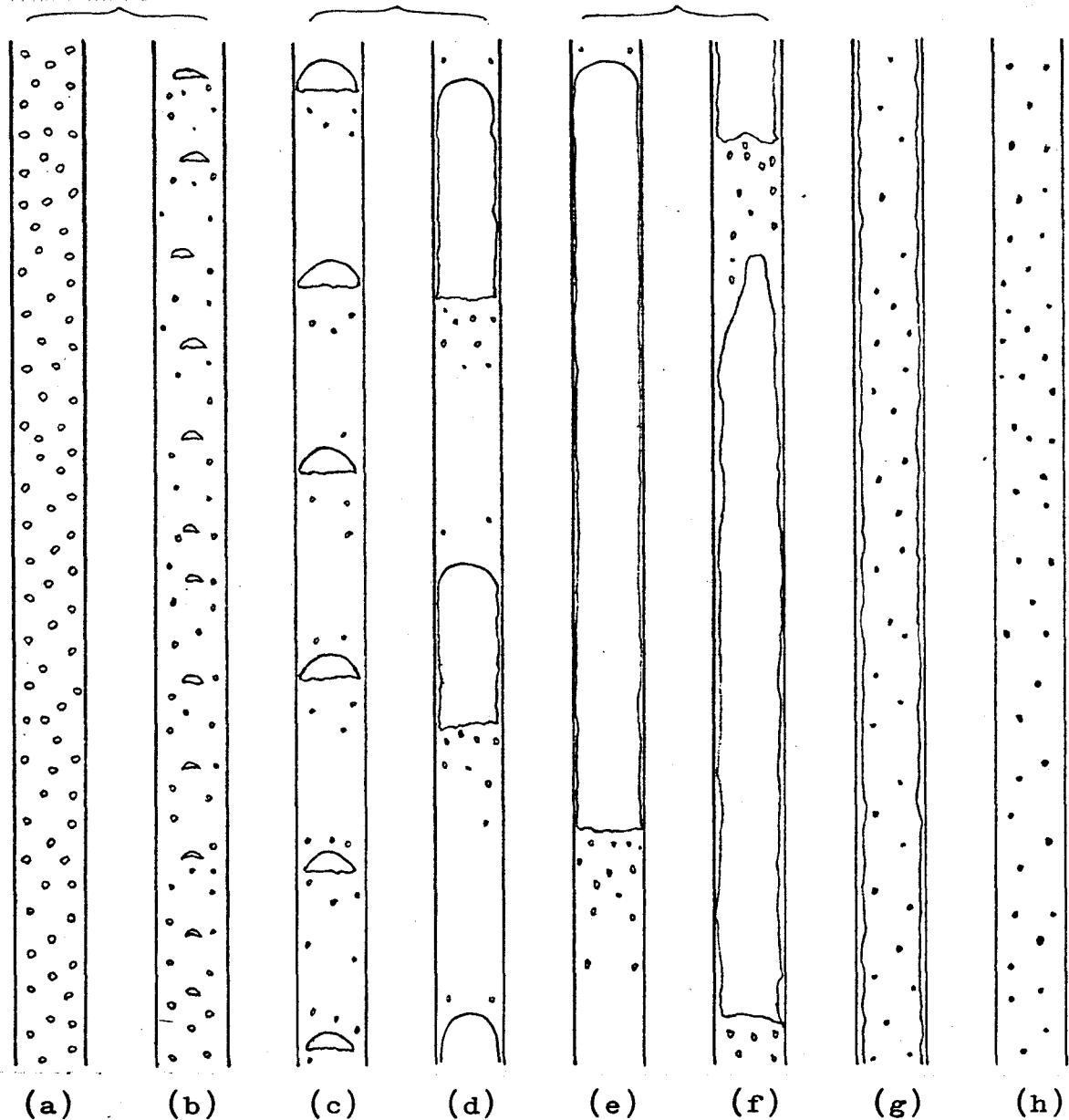


Fig.13. Recording of signals of flow instability (scale: sec)  
 $(q=619 \text{ kcal/m}^2\cdot\text{sec}, \Delta T_{\text{sub}}=3.15^\circ\text{C}, \zeta=1,400, \text{ Natural circulation})$

- 一般に気液二相流の流動形式は、Fig.1.4に示すように管内気相の存在割合によって分類される。気相の存在割合が増加する方向に(a)~(h)のパターンを示す。
- (a) 球形または球形に近い小気泡がほぼ一様に分布して合体することなく流れている(気泡流)。
- (b) 小気泡の一部が合体して球帽状の気泡を含む流れ(球帽状気泡流)。
- (c) さらに合体して管断面を満たすほどの栓状の大気泡に成長しほぼ等間隔で流れる(プラグ流)。
- (d) 気泡量がさらに増加するため栓状の気泡が合体して長くなっていく。これを気体スラグという。(未発達スラグ流)
- (e) (d)の気体スラグがさらに合体成長して、十分に発達したとみられる気体スラグの流れになる。そして、気相の部分と液相の部分(液体スラグという)が明瞭になり、交互に重なって流れているように見える。(十分に発達したスラグ流)
- (f) 気相の流量がさらに多くなって乱れがはげしくなり、気体スラグ間の境界が明瞭でなくなっている流

Bubble flow    First slug flow    Second slug flow



- |                           |                               |
|---------------------------|-------------------------------|
| (a) Bubble flow           | (e) Fully developed slug flow |
| (b) Spherical Bubble flow | (f) Froth flow                |
| (c) Plug flow             | (g) Annular flow              |
| (d) Developing slug flow  | (h) Mist flow                 |

Fig.1.4 Flow patterns of vertical two-phase flows

れ (フロース流)。

(g) 管中央を液滴を含む気相が流れ、液相は管壁に膜状で流れている (環状流)。

(h) 管壁の液膜が消滅し、気体中に微小な液滴を含む噴霧状の流れ (噴霧流)。

ここでは、二相流の流動形式を次のように區別して、流れの安定・不安定と対応づけることにする。

(1) 気泡流：球形に近い小気泡の流れおよび球帽状気泡流 (Fig. 1.4 の (a) (b))

(2) 前期スラッグ流：プラグ流および未発達スラッグ流 (Fig. 1.4 の (c) (d))

(3) 後期スラッグ流：十分に発達したスラッグ流およびフロース流 (Fig. 1.4 の (e) (f))

## § 4. 実験の結果と考察

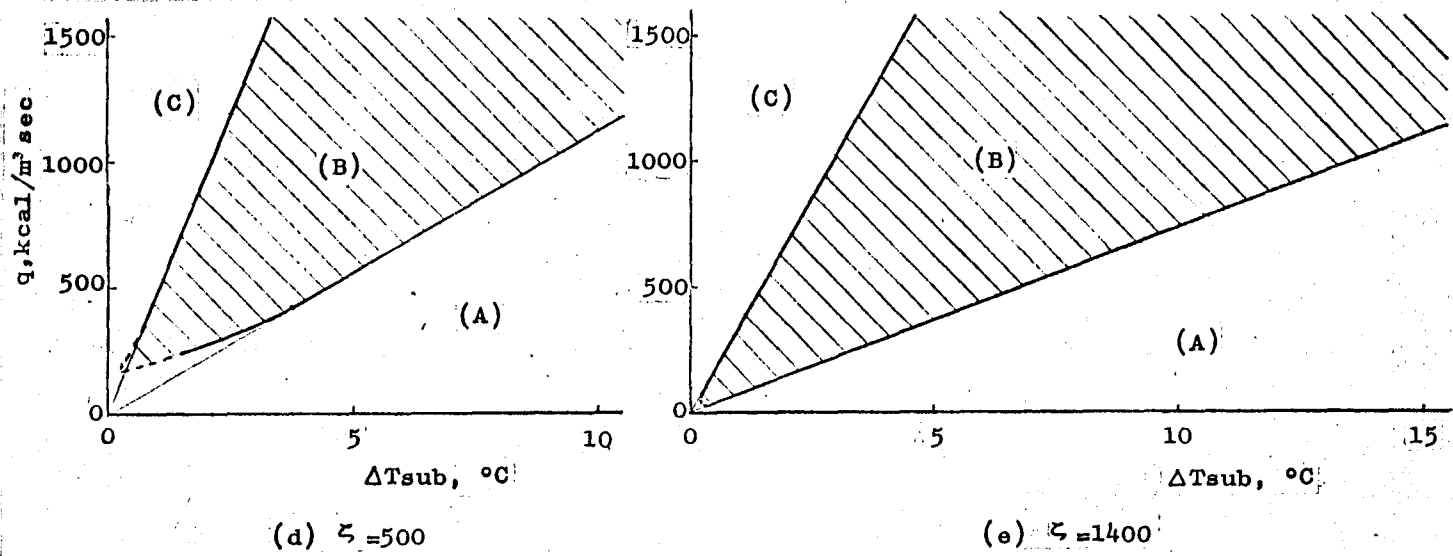
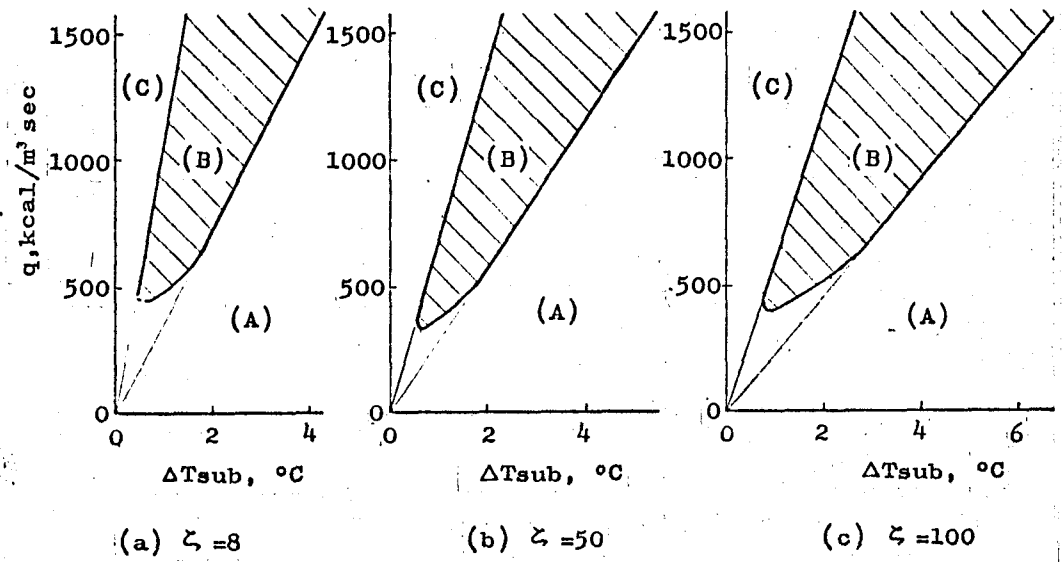
### 4.1. 流れの安定領域と不安定領域

#### (1) 自然循環

自然循環の場合に、流れが安定であるか不安定であるかということ、加熱量、サブクール温度  $\Delta T_{sub}$ 、管路系の抵抗係数らをパラメータにとって調べ、安定と不安定の境に境界線を引き、安定領域と不安定領域とを區別した結果を Fig. 1.5 に示す。

これらの実験の結果から次のことがいえる。

(i) 流れの安定・不安定と二相流の流動形式および沸騰状態とは密接な関係があり、前期スラッグ流から後期スラッグ流への遷移域 (気体スラッグの成長過程) で不安定が起こる。また、飽和沸騰になってから不安定が起こることが観測される。気体スラッグの大きさや安定については、管内径の5倍くらいになれば不安定が起こり、10倍くらいになると安定になる。不安



**Fig.1.5.** Stability division in  $(\Delta T_{sub}, q)$  plane. (Natural circulation)  
 (A) is the 1st stable region, (B) is the unstable region, and  
 (C) is the 2nd stable region.

足時には、一時的に10倍以上になることもある。  
 (ii) 流れの安定領域には2種類あって、 $\Delta T_{sub}$ が小さい安定領域では、流動形式は気泡流または前  
 期スラグ流である。このとき、沸騰状態は、二相流  
 部全体が飽和温度に近い状態での核沸騰\*である。この  
 のことは、加熱部出口温度が液体の沸点の温度より  
 少し低いという測定結果からいえる。また、 $\Delta T_{sub}$ が  
 大きく、 $\Delta T_{sub}$ が小さい安定領域では、流動形式は大きな  
 かたまりの気液くみ達した気体スラグと液体スラグ  
 )が交互に重なって流れているように見える後期ス  
 ラグ流である。このとき、沸騰状態は二相流部全体  
 が飽和温度の状態である。飽和沸騰(核沸騰の範囲)  
 である。このことは、加熱部出口温度が液体の沸点  
 の温度かやや高い目を示すことからわかる。便宜的  
 に、前者を1次安定、後者を2次安定と呼ぶことに  
 する。なお、1次安定と不安定との境は判別しやす  
 いが、2次安定と不安定との境はその付近で流れ  
 の振動の振幅および周期が小さくしかも不規則にな  
 ることと、比較的振動数の高い不規則な変動の振幅  
 が同じ程度になるために判別しにくい。そこで、規  
 則的な流れの振動がくずれて振動数の高い不規則な  
 変動と区別がつかなくなった所を境とし、規則的な流  
 れの振動がなくなった領域を安定領域(2次安定)  
 とした。また、1次安定と2次安定の領域内で他の  
 種類の不安定が存在することが考えられるが、こ  
 こでは取り上げずすべて安定とした。

\*核沸騰とは、気泡が伝熱面上のいくつかの特定の場  
 所(気泡発生点という)から連続的に発生し、発生  
 点に生じた気泡核より成長するような沸騰状態の総  
 称である。

- (iii) 流れの不安定領域は二つの安定領域にはさまれて存在し、流動形式が前期スラグ流から発達して後期スラグ流へと移行する遷移域で不安定が起こる。このとき、二相流部の流れは、Photo.1.1に示すように、気泡流 → 前期スラグ流 → 後期スラグ流 → 気泡流の変化を繰返す。
- (iv) ある $\phi$ 以下では、 $\Delta T_{sub}$ に依存せず $\phi$ に流れが安定になる領域が存在する。したがって、 $\Delta T_{sub}$ が小さいところでは、 $\phi$ を大きくしていくと、1次安定から2次安定へとたまたかに移行する。しかし、 $\Delta T_{sub}$ の非常に小さいところでの実験結果は、計測上多少あいまいである(図の点線表示のあたり)。
- (v)  $\phi$ を大きくすることと $\Delta T_{sub}$ を小さくすることとは流れの安定性に対してほぼ同じ効果を示している。逆の場合も同じことがいえる。
- (vi)  $\phi$ が大きくなる(下降部を絞る)につれて、不安定の領域は広がる。また、2次安定領域も少し広がる。このことは、 $\phi$ を大きくすると、循環流量が減少して気泡の発生量が増加することと二相流部での気液の速度が低下して気泡の二相流部滞在時間が増加することのため、管内平均ボイド率(二相流部容積に対する割合)が増加して気泡の合体が起りやすくなり、気泡が成長して流動形式が発達するからである。したがって、下降部を絞ると、安定になる場合(1次安定 → 2次安定)と不安定になる場合(1次安定 → 不安定)とがある。

## (2) 強制循環

$\phi = 1400$  について、強制循環を加えた場合には、自然

循環の場合と同様にして得られた実験の結果を Fig. 1.6 に示す。強制循環を加えると、1次安定の領域は広がり、2次安定と不安定の領域は狭くなる。そして、強制流が大きいほどその効果は大きく、不安定の領域は下降部を絞る場合とは逆に2次安定側へ移行する。このことは、強制流があるために、循環流量が増加して気泡の発生量が減少することと二相流部での気液の速度が自然循環時に比べて増加して気泡の二相流部滞在時間が減少することのため、管内平均ボイド率が減少して気泡の合体が起こりにくくなり、流動形式が後退するからである。したがって、自然循環から強制循環になると、安定になる場合(2次安定または不安定→1次安定)と不安定になる場合(2次安定→不安定)とがある。

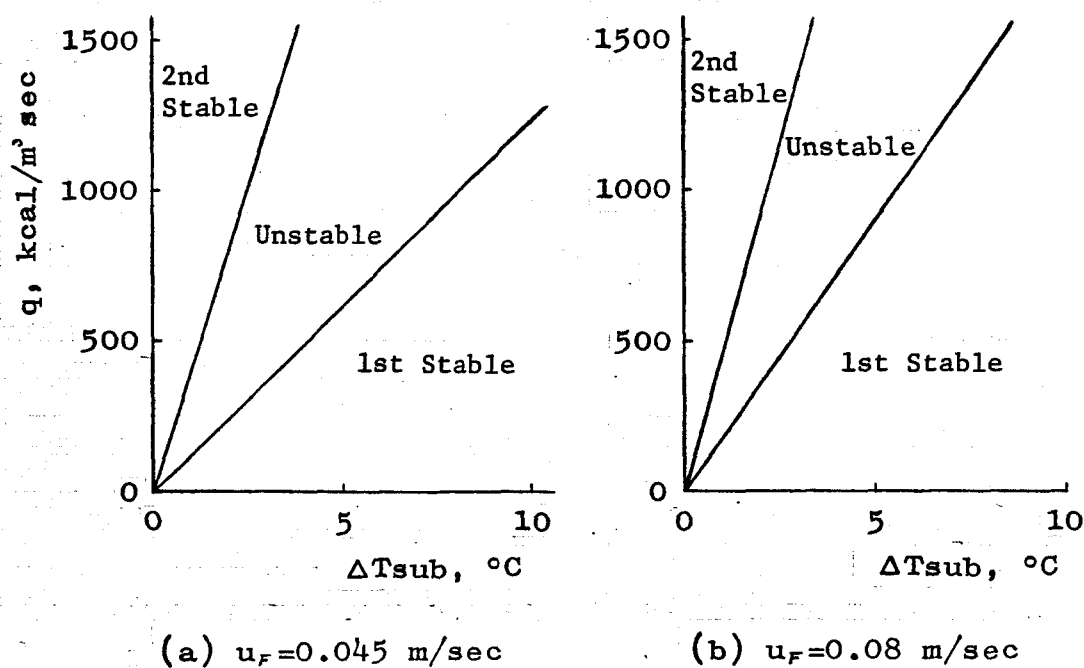


Fig. 1.6. Stability division in  $(\Delta T_{sub}, q)$  plane.  
(Forced circulation,  $\zeta = 1400$ )

## (3) 流れの不安定領域帯

流れの不安定が流動形式の遷移域（気体スラッグの成長過程）で起こり、系に供給または消費されるエネルギーに關係のある二つの因子すなわち加熱量 $\dot{q}$ とサブクール温度 $\Delta T_{sub}$ が流れの安定性に對して相反する効果を示すことから、実験系が外界の影響を受けない理想的な系であれば、 $\Delta T_{sub} - \dot{q}$  図において不安定の領域は全領域を二分するものと考えられる。そのときには、Fig. 1.5の各図において二本の直線にはままれた領域が不安定の領域になり、 $\dot{q}$ を固定するとき $\dot{q}/\Delta T_{sub}$ の二つの値の内では不安定ということになる。そこで、加熱により発生する気泡の量に關係して流れの安定・不安定を左右する量として、サブクール時間 $t_{sub} = \rho_l C_{pl} \Delta T_{sub} / \dot{q}$  (sec) を定義して考えると、流れの不安定は、ある $\dot{q}$ に對して $t_{sub}$ の二つの値の内では起こることがわかる。このことから、サブクール時間 $t_{sub}$ と管路系の抵抗係数 $\rho$ をパラメータに選び、 $\rho - t_{sub}$ 面でデータを整理するとFig. 1.7に示すような流れの不安定領域帯ができる。そして、安定領域のうち、 $t_{sub}$ の大きい方が1次安定で、 $t_{sub}$ の小さい方が2次安定である。Fig. 1.7から、 $t_{sub}$ を固定して $\rho$ を大きくしていくと、1次安定から不安定となり、さらに2次安定へと流れの状態が移行することがわかる。

強制循環の場合（ $\rho = 1400$ のときに限られる）には、 $t_{sub}$ と強制流速 $u_F$  (m/sec) をパラメータにとって  $u_F - t_{sub}$

\*飽和温度より $\Delta T_{sub}$  (°C)だけ低い液体が $\dot{q}$  (kcal/m<sup>2</sup>sec)の割合で加熱を受けて飽和に達するまでの時間をサブクール時間と呼ぶことにする。ここで、 $\rho_l$ : 液体の比重、 $C_{pl}$ : 液体の比熱、いま、n-ペンタンの場合、 $\rho_l C_{pl}$ は温度に依存しないととして $\rho_l C_{pl} = 340$  (kcal/m<sup>2</sup>°C)である。



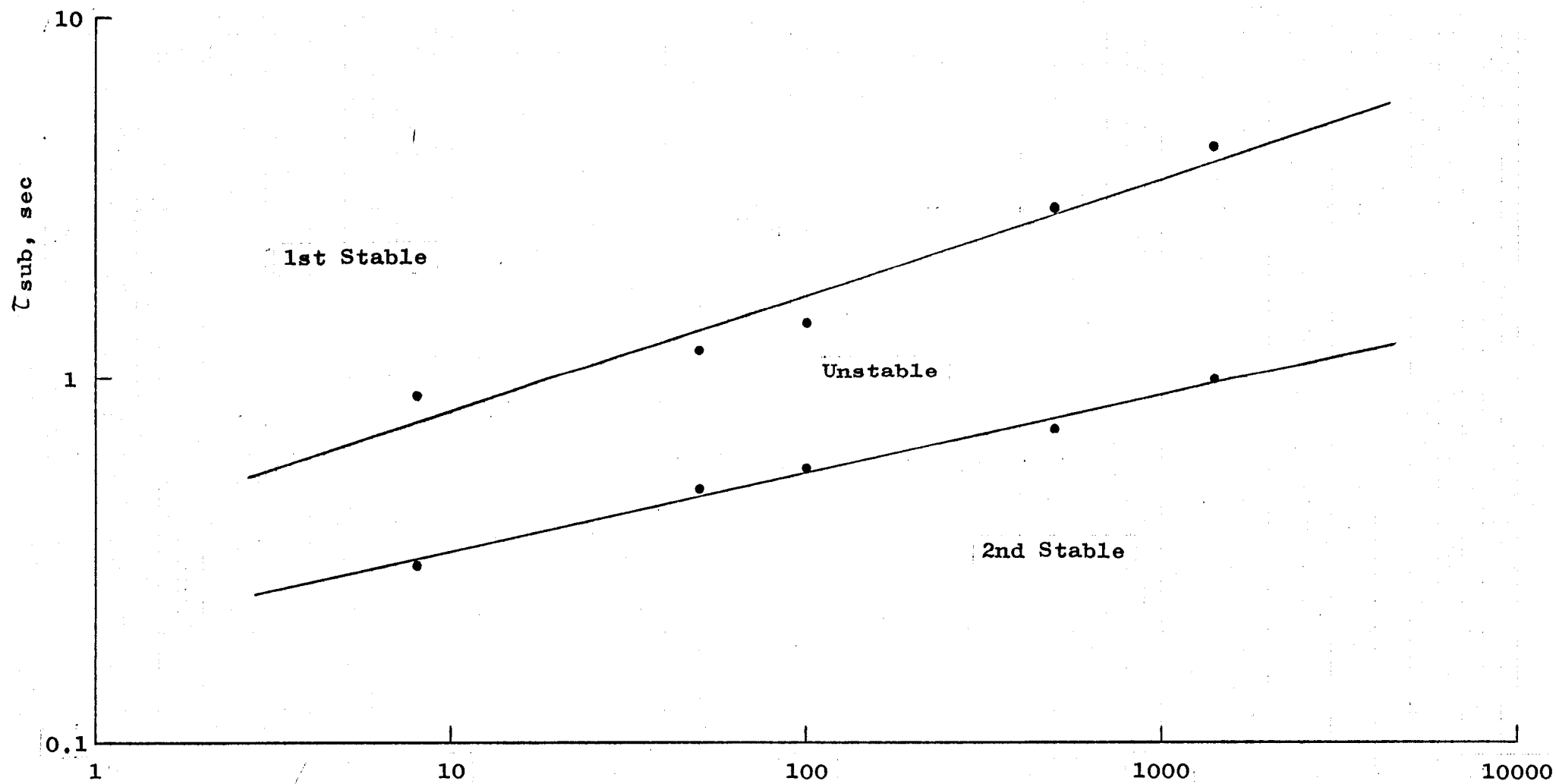


Fig.1.7. Stability division in  $(\zeta, \tau_{sub})$  plane. (Natural circulation)

面で整理すると, Fig. 1.8 に示すような流れの不安定領域帯ができる。そして, Fig. 1.7 と同様, 安定領域のうち,  $\tau_{sub}$  の大きい方が 1 次安定で  $\tau_{sub}$  の小さい方が 2 次安定である。強制循環の場合には, 自然循環の場合 ( $u_F = 0$ ) に比べて, 不安定領域が狭くなり二つの境界は  $\tau_{sub}$  の小さい方へ移行する。そして,  $u_F$  が大きくなるほどその傾向が大きい。Fig. 1.8 において,  $\tau_{sub}$  を固定して  $u_F$  を大きくしていくと, 流れの状態が 2 次安定から不安定となり, さらに 1 次安定へと移行する傾向があることがわかる。

Figs. 1.7, 1.8 から, サブクール時間  $\tau_{sub}$  を固定するとき, 自然循環の場合に抵抗係数を大きくすると, 流れの状態は 1 次安定  $\rightarrow$  不安定  $\rightarrow$  2 次安定へと移行する傾向を示し, 強制循環の場合に強制流の流速  $u_F$  を増加させると, 流れの状態は 2 次安定  $\rightarrow$  不安定  $\rightarrow$  1 次安定へと移行する傾向を示す。したがって,  $\tau_{sub}$  を大きくすることと  $u_F$  を増加させることとは, 流れの安定・不安定に対して反対の効果を示すことがわかる。このことにより,  $\tau_{sub}$  を大きくするというのは下降部を絞るということになり, また  $u_F$  を増加させるというのは自然循環から強制循環にするということにあたるので, 流れの安定性に対する絞りの効果と強制循環の効果とは, 本質的に相反する効果であることがわかる。

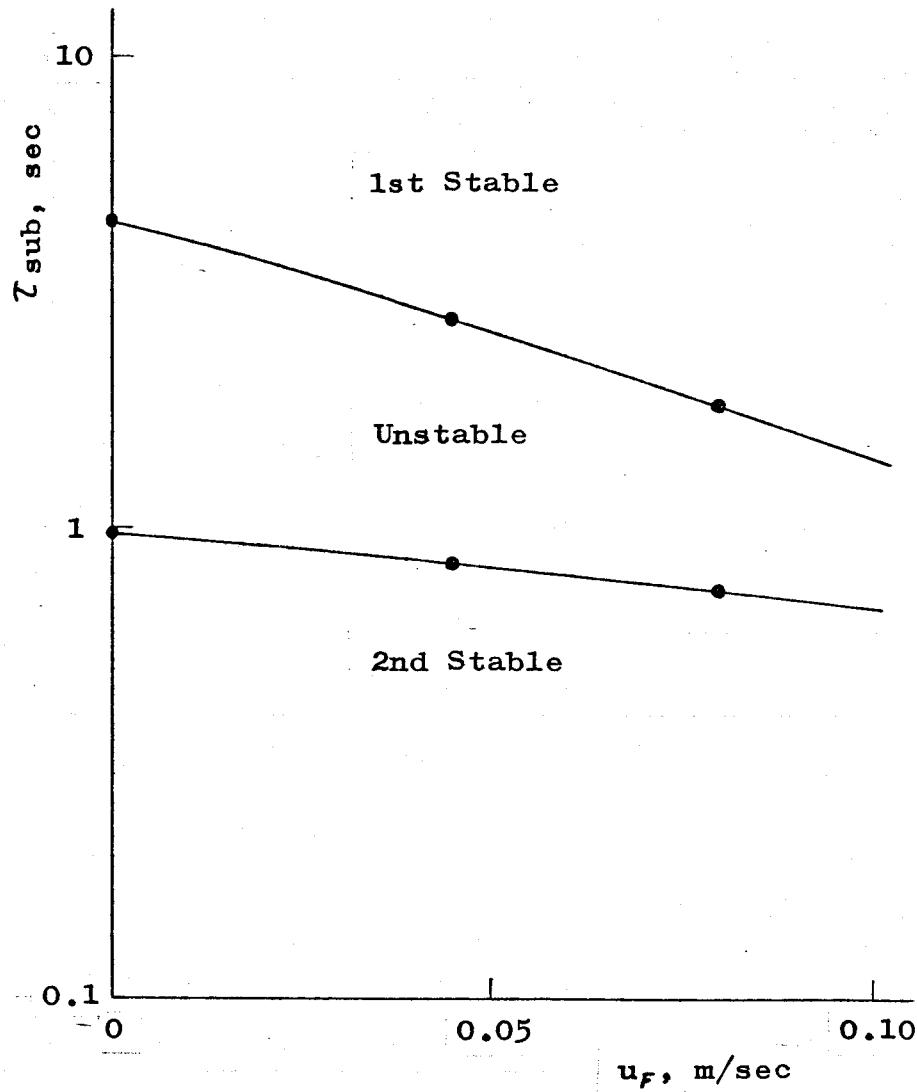


Fig.1.8. Stability division in  $(u_f, \tau_{sub})$  plane.  
The flow at  $u_f=0$  is the natural circulation.

## 4.2. 流れの振動(不安定時)

流れの不安定時には、Fig.1.3 に示すように流れはゆるやかな振動を示す。このとき ( $\Gamma = 1400$  に限られる) の流れの振動の振幅を Fig.1.9 に、流れの振動の周期を Fig.1.10 (a)~(c) に示す。

自然循環の場合に、1次安定と不安定との境の单相流部流速  $u$  (m/sec) は、 $\Delta T_{sub}$  が大きくなると大きくなる傾向がある。このことは、上昇部と下降部の液体の密度差による自然対流の効果が大きくなるためと思われる。

よ、 $\Delta T_{sub}$  および  $\Gamma$  を変化させて1次安定から2次安定へと移行させるとき、流れの振動の振幅は、不安定領域に入った初めは小さく、中央付近で最大となり、再び小さくなる。

流れの振動の周期は、 $\Gamma$  を小さくすると増加する傾向がある。この周期の増加の傾向は、 $\Delta T_{sub}$  を大きくしても、 $\Gamma$  を小さくしても起こる。

また、強制循環にすると、振幅は小さくなり周期は大きくなる。そして、強制流が大きいかほどその傾向は大きい。

自然循環の場合の流れの振動の振幅と周期に関する結果は、水を用いた香川の実験<sup>(17)</sup>と傾向は一致している。

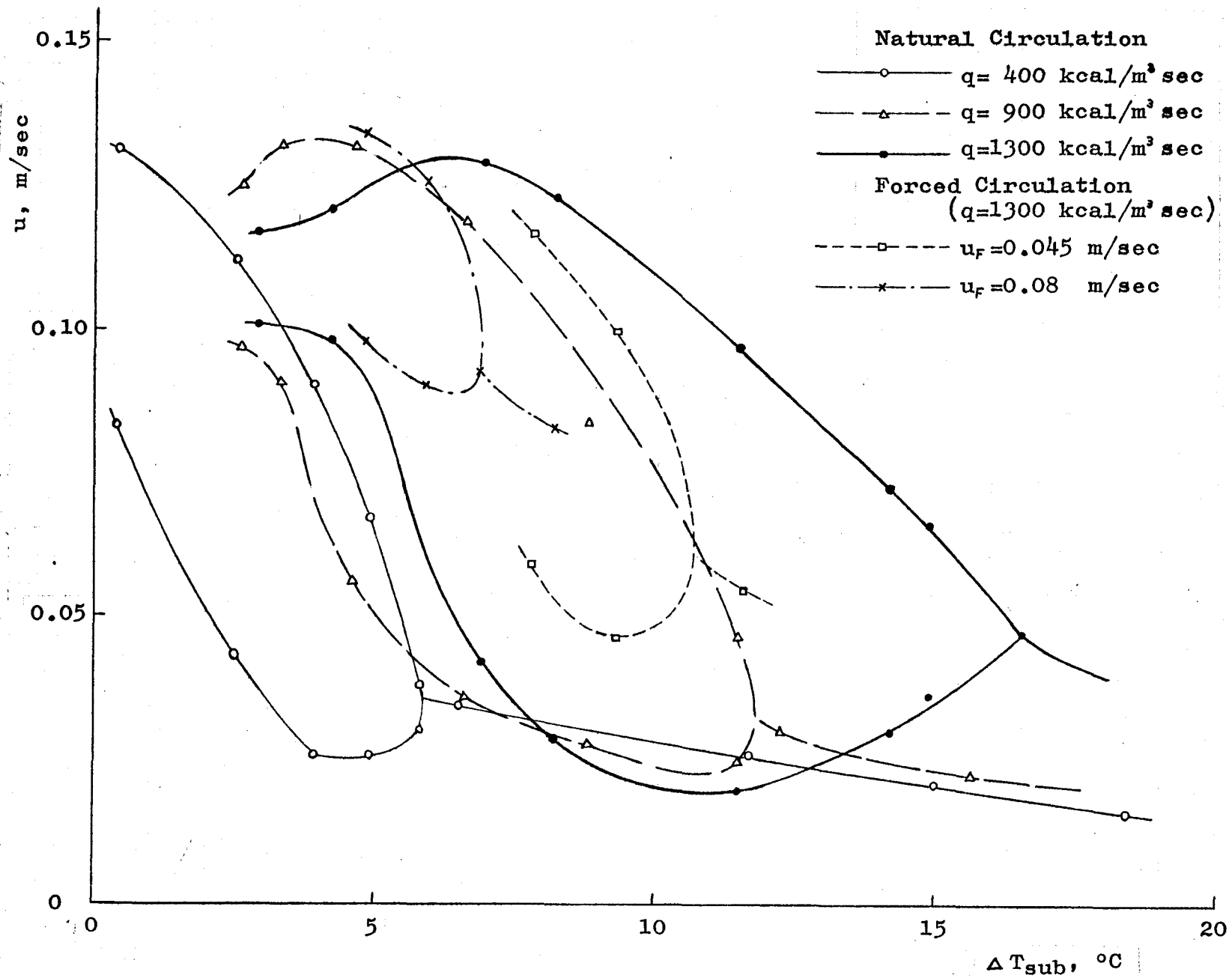
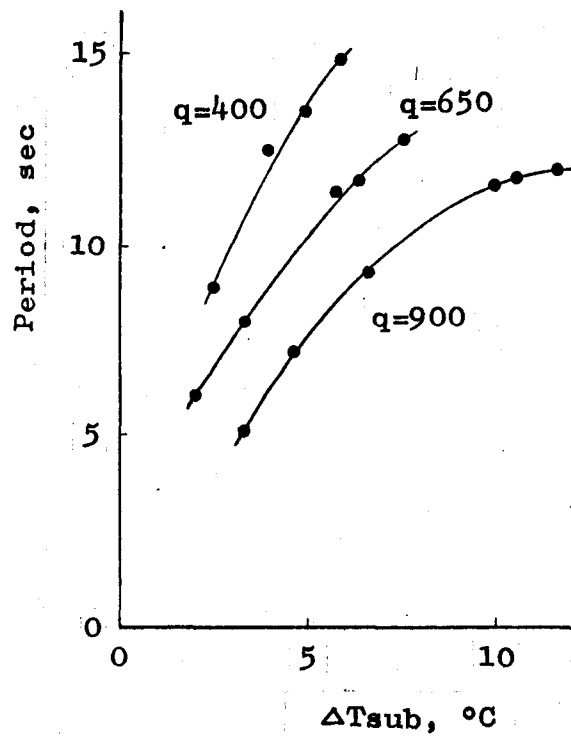
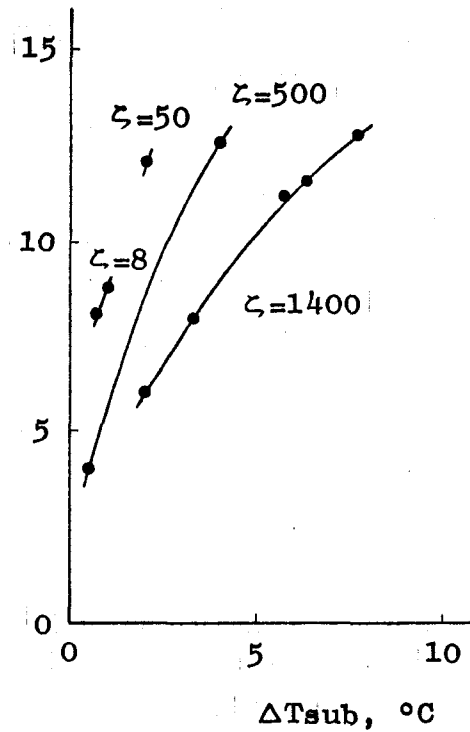


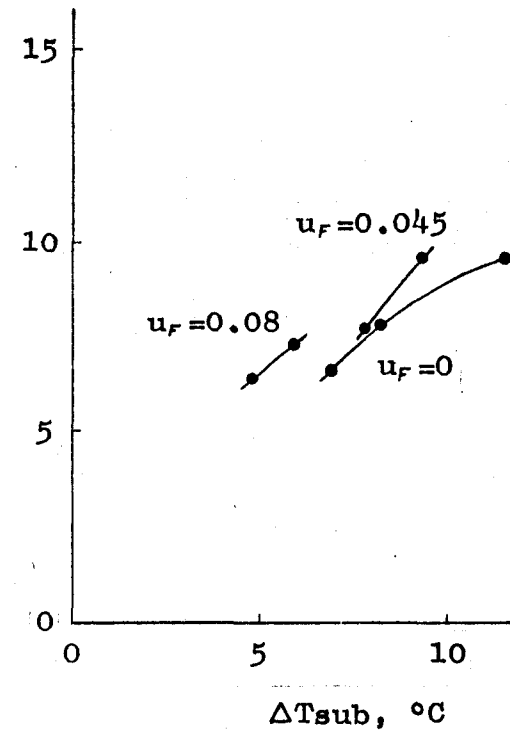
Fig.1.9. Amplitude of flow oscillations at  $\zeta = 1400$ .



(a)  $\zeta=1400$ ,  
Natural circulation.



(b)  $q=650$  kcal/m<sup>2</sup> sec,  
Natural circulation.



(c) Effect of forced flow  
velocity  $u_f$  [m/sec] at  
 $\zeta=1400$  &  $q=1300$  kcal/m<sup>2</sup> sec.

Fig.1.10. Period of flow oscillations.



ある。

(5) 加熱量とサブクール温度および下降部の絞りと強制循環とは、流れの安定性に対して本質的に相反する効果を示す。

(6) 流れの自励振動(不安定時)の周期は、加熱量を減少させると増加する傾向がある。この周期の増加の傾向は、サブクール温度を高くしても、抵抗係数を小さくしても、また強制循環の流速を増加させても起こる。流れの振動の振幅は、自然循環から強制循環にすると減少する傾向がある。

序論で述べたように、ナペンタンの物性値が水のよ  
うな液体のそれとあまり違わないことから、この実験  
とあまり違わない(加熱部に比べて長い上昇部をもつ  
)幾何学的配置の装置では、水のような液体について  
も先のパラメータ空間での流れの安定・不安定の領域  
の存在および配置や流動形式の対応、それにパラメー  
タの流れの不安定に及ぼす効果は、定性的にナペンタ  
ンについての結果と同じものと思われる。実際はそ  
のような傾向を示す水についての実験<sup>(10)(17)</sup>、フレオン11に  
いての実験<sup>(12)</sup>も見出される。



## 第2章 気液二相流の圧力損失

### § 1. 序 論

第1章において、沸騰二相流系に生ずる流れの不安定現象について、実験によって一般的に現象の特性を把握するこゝとができた。この沸騰二相流系に生ずる不安定現象を理論的に取扱うとき、流体工学における三つの保存則すなわち質量、運動量、エネルギーの保存則を適用するのであるが、二相流の損失、気液のすべりおよび沸騰熱伝達に関する記述が不足するため、方程式系が閉じない。この不足した関係は、実験によって得られた関係式で補わなければならない。このうち、本章では気液二相流の圧力損失について述べる。

気液二相流の圧力損失の評価は、流れの安定性に關する理論的解析の問題の他にも、実用の気液二相流系等のプラント（BWR, ボイラ, 化学におけるプラント等）の運転や設計上の問題に関連して、流体工学における重要な研究課題の一つである。

気液二相流の圧力損失に関しては、これまで多くの研究<sup>(1)-(27)</sup>がなされてきたが、二相流の対象と取扱いは多種多様である。すなわち、二相流の対象としては、流動形式（気泡流, スラッグ流, 環状流, 噴霧流）、二相流部の配置（水平管, 傾斜管, 垂直管）と形状（円管, 矩形管, 複管など）、二相流の種類（沸騰二相流, 蒸気二相流, 空気二相流）それに供試流体や圧力水準の違いなどがある。しかし、それらを包含した統一的な研究は未だ見当らない。また、二相流の取扱い方としては、二相流をどのような流れのモデルとしてみるかによって大きく次の三つに分類できる。(1) 気液の分離流 (Slip model, 主に水平管), (2) 均質流 (Homogeneous

model, 気泡流, 噴霧流), (3) 層状環流 (液相が管壁に沿って層状でしかも環状で流れているとみるモデル, 環状流に適用される)。そのうち, (1) の取扱い方をしているものに Lockhart と Martinelli の研究<sup>(11)</sup>がある。

Lockhart と Martinelli は, 水といくつかの液体を用い, 試験部を水平管とし, 気液の各相が二相流部を単独に流れたとしたときにそれぞれのレイノルズ数が 1000 以下を粘性流, 2000 以上を乱流として二相流を 4 種類に分類して, 系統的に研究を進め, その整理方法を完成させている。この整理法は L-M 法と呼ばれている。(2) の取扱い方をしているものに, 赤川<sup>(20)</sup>, Bankoff<sup>(21)</sup>, 井上ら<sup>(22)</sup>などの研究がある。赤川は, 常温大気圧下での空気-水二相流について, 水平管, 傾斜管, 垂直管の場合の摩擦損失の表式を実験から求め, ついで摩擦係数について論じている。Bankoff は, 二相流部の半径方向に液流速が  $1/r$  乗分布, ボイド率が  $1/n$  乗分布 ( $n=2\sim3$ ) の形を仮定して, 二相流と液相だけが流れたとしたときとの壁面せん断力の比についての表式を導いている。また, 井上らは, 摩擦損失比に影響する必要十分条件の次元量を, 二相流体に対する保存則とその境界条件の無次元化から理論的に導出し, それらの関係式を導いている。そして, 大気圧下の空気-水二相流の場合について実験によって関係式に含まれる係数の値を定めている。(3) の取扱い方をしているものに, 井上ら<sup>(23)</sup>などの研究がある。井上らは, 次元解析によって環状流の摩擦損失比に關係する無次元量を求め, 大気圧下の空気-水二相流についての整理式を得ている。気液二相流の圧力損失には, 上述のように關係する要因が多いため, 二相流の広い範囲にわたって確立された研究も見当らないし, 適用範囲の不明なものをや



とき、単相流の慣性力と気泡の浮力による駆動力との比は、力学的相似性を与える無次元量としての一種のフルード数を表わすので、これを二相流フルード数と定義する。閉ループを液相だけが流れたときの抵抗係数と二相流フルード数とが反比例関係にあることから、気液二相流の全圧力損失比（二相流部の全圧力損失と二相流部を二相流状態と同じ流入速度で液相だけが流れたとしたときの圧力損失との比）に関する簡潔な表式を得る。

定常な流れでは、管内に存在する全気泡の浮力による駆動力  $(\gamma_l - \gamma_g)AF$  とループの全抵抗力  $\gamma_l AR$  とが釣り合っていて、

$$(\gamma_l - \gamma_g)AF - \gamma_l AR = 0 \quad (2.1)$$

である。全損失水頭  $R$  は、単相流部の損失水頭  $R_s$  と二相流部の損失水頭  $R_t$  とに分けて考える。 $R_s$  は、

$$R_s = \frac{C_s}{2g} u^2 \quad (2.2)$$

で与えられ、 $R_t$  は、

$$R_t = \frac{C_t}{2g} u^2 \quad (2.3)$$

とおく。そして、二相流部を液相だけが流れたときの損失水頭  $R_{ts}$  は、

$$R_{ts} = \frac{C_{ts}}{2g} u^2 \quad (2.4)$$

で与えられる。ここで、摩擦損失係数  $C_{ts}$  は、乱流領域では Blasius の実験によつて、

$$C_{ts} = C \frac{L_R}{D} Re^{-\frac{1}{4}} \quad (2320 < Re < 10^5) \quad (2.5)$$

ここで、 $C$  : 定数、 $L_R$  : 二相流部の長さ

また、層流領域では、

$$C_{ts} = \frac{L R}{D} \frac{64}{Re} \quad (Re < 2320) \quad (2.6)$$

で与えられる。

ループを液相だけが流れたとしたときの抵抗係数 $C_r$ は、単相流部の抵抗係数 $C_s$ と二相流部を液相だけが流れたときの抵抗係数(摩擦損失係数) $C_{ts}$ との和である。

$$C_r = C_{ts} + C_s \quad (2.7)$$

(2.7)式の関係を用いて、(2.1)式を変形整理すると、

$$C_t - C_{ts} = \frac{1}{(\rho_l A u^2 / 2g) / (\rho_l - \rho_g) A F} - C_s$$

を得る。ここで、単相流の慣性力と気泡の浮力による駆動力との比は、一種のフルード数を表わすので、

$$\frac{\rho_l A u^2 / 2g}{(\rho_l - \rho_g) A F} \equiv Fr_T \quad (2.8)$$

と定義し、 $Fr_T$ を二相流フルード数と呼ぶことにする\*。  
したがって、(2.1)の変形された式は、

$$C_t - C_{ts} = Fr_T^{-1} - C_s$$

となる。ここで、 $Fr_T$ と $C_r$ との関係を考えてみる。気泡の浮力によって駆動される二相流系をポンプによって駆動される単相流系におきかえて考える。このとき、ポンプは、気泡の浮力と同じ駆動力 $(\rho_l - \rho_g) A F$ をもっているが、二相流になっっているために増えた抵抗分 $(C_t - C_{ts})$ だけ効率が下がっていると考える。その効率は、 $(1 - \alpha)$ とする。そうすれば、単相流系も二相流系も同じ流速 $u$ で循環される。このとき、ループの抵抗が

\*二相流部と単相流部とで流路断面積が異なるときには、二相流部の流路断面積 $A$ を代表とする。

ら  $\gamma_L A u^2 / 2g$  であるとすると,

$$(1-\alpha)(\gamma_L - \gamma_g) A F = \gamma_L A u^2 / 2g$$

の関係があり, したがって,

$$r = (1-\alpha) Fr_T^{-1} \quad (2.9)$$

の関係が成立つ。垂直気液二相流系の場合も, 浮力による駆動力が一種のポンプ作用をしていると考えることができ, (2.9)式の関係が成立つことが予想される。

したがって, (2.9)式の関係が成立しているものとするれば,

$$r_t - r_{ts} = \alpha Fr_T^{-1} \quad (2.10)$$

と表わされる。さらに, 垂直気液二相流の全圧力損失比  $K$  は,

$$K = \frac{R_t}{R_{ts}} = \frac{r_t}{r_{ts}} \quad (2.11)$$

とかけられることから,

$$K = 1 + \alpha r_{ts}^{-1} Fr_T^{-1} \quad (2.12)$$

の関係式を得る。すなわち, 垂直気液二相流の全圧力損失比  $K$  は, 二相流フルード数  $Fr_T$  とレイノルズ数および流路形状量を含む二相流部を液相だけが流れたときの抵抗係数  $r_{ts}$  とで表わされる。

また, 二相流部の単位時間あたりの運動量の減少は, 出口で流出する運動量  $(\gamma_L/g)(1-f_e)U_{Le}^2 + (\gamma_g/g)f_e U_{ge}^2$  から入口で流入する運動量  $(\gamma_L/g)U^2$  を差引いたもので, 加速損失と呼ばれ,

$$R_{ta} = \frac{1}{g} \left\{ (1-f_e)U_{Le}^2 + \frac{\gamma_g}{\gamma_L} f_e U_{ge}^2 - U^2 \right\} \quad (2.13)$$

を二相流部の加速損失水頭と定義すると、二相流部の摩擦損失水頭  $R_{tf}$  は、ふつう、

$$R_{tf} = R_t - R_{ta}, \quad R_{tf} = \frac{\zeta_f}{2g} u^2 \quad (2.14)$$

で与えられるので、二相流の摩擦損失比  $K_f$  は、

$$\left. \begin{aligned} K_f &= \frac{R_{tf}}{R_{ts}} = \frac{\zeta_f}{\zeta_{ts}} = \kappa - \kappa_a, & \kappa_a &= \frac{R_{ta}}{R_{ts}} \\ &= 1 + \frac{1}{\zeta_{ts}} \left( \alpha Fr_T^{-1} - \frac{2f_e}{1-f_e} - \frac{\gamma_g}{\gamma_l} \frac{u_{gi}^2}{f_e u^2} \right) \end{aligned} \right\} \quad (2.15)$$

ただし、 $(1-f_e)u_{ge} = u$ 、 $f_e u_{ge} = u_{gi}$  である。  
 となる。そして、 $(u_{ge}/u)^2$  が  $(\gamma_l/\gamma_g)$  の程度より十分小さければ、近似的に、

$$K_f = 1 + \frac{1}{\zeta_{ts}} \left( \alpha Fr_T^{-1} - \frac{2f_e}{1-f_e} \right) \quad (2.15')$$

で表わされる。

つぎに、循環の種類（自然循環，強制循環）および

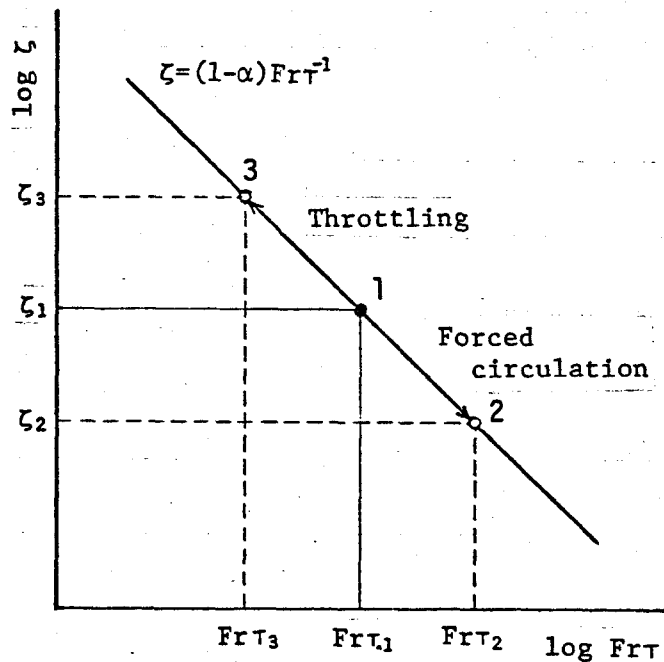


Fig.2.1. Relation of the throttling and the forced circulation in  $(Fr_T, \zeta)$  plane

単相流部絞りの流れに及ぼす効果とその間の関係について述べる。自然循環の場合には、(2.9)式の関係は満たされている。Fig. 2.1 に示すように1の状態の系の自然循環から強制循環にすると、みかけ上単相流部の抵抗がポンプの能力にたじて減少したように現われ、2の状態に移行する。したがって、このときは1の状態の系でありながら2の状態の系の自然循環に対応すると考える。また、1の状態の系の自然循環から3の状態まで絞るといふことは、3の状態の系の自然循環に移行したことになる。よって、先に導いた関係式(2.9)は、絞る場合にも、強制循環の場合にも適用される。実験により、(2.9)式の関係を確認、同時に未知量 $\alpha$ を定める。

### § 3. 実験装置および計測法

Fig. 2.2 に実験装置を示す。装置は、気液分離用タンクと上部水平管、下降管、下部水平管、上昇管よりなり、一つのループを形成している。上昇管のうち二相流部は内径22 $\phi$ の透明なアクリル樹脂で作られ、内部の流動が観測できる。気液分離用タンクは大気圧に開放されている。

タンクの下1.5mの所から空気が流入し、液体は二相流部での気泡の浮力によって駆動され、ある速度で流動する。

絞り弁Iは、下降部で絞りを變えて系の抵抗係数を変化させるためのものであり、弁Hは自然循環と強制循環の切換え用である。ポンプGは、2台(最大揚程2.7m, 最大流量15 $l/min$ , 標準流量8 $l/min$ および最大揚程8.5m, 最大流量70 $l/min$ , 標準流量44 $l/min$ )を並列に接続して、それぞれに能力にたじて使いわけられる。ポンプ





の下流にある弁によって強制流の速度を調節できる。

空気は、減圧弁 E でゲージ圧 2 気圧以下に減圧された後、気体流量計（ロータメータ）N とブルドン管圧力計 O で流量と圧力が測定される。

1'-2' 間の差圧  $\Delta P_1$ , 2'-3' 間の差圧  $\Delta P_2$ , 1'-3' 間の差圧  $\Delta P$  をダイヤフラム型差圧計または水銀マノメータで測定する。

二相流部の平均ボイド率  $\bar{v}$  は、上下のピッチ・バルブ J (シリンダ供給圧  $5 \text{ kg/cm}^2$ , バルブ流体圧  $1 \text{ kg/cm}^2$  のとき 0.2 sec で閉じる。本実験はシリンダ供給圧  $5 \text{ kg/cm}^2$  以上で測定) を同時に締切って測定する。このとき、電磁弁 F も同時に働き空気供給を遮断する。上のピッチ・バルブによってタンクの下 25 cm の所で締切られるが、測定値  $\bar{v}$  をもって二相流部全体の平均ボイド率とした。

单相流部の平均流速  $u$  は、ピトー静圧管またはピトー・ベンチュリ管 M で測定する。ピトー・ベンチュリ管を用いるのは、らがおよそ 1000 より大きい所である。

液温は、タンクと下部水平管に取付けられた水銀温度計 L ( $1/10^\circ\text{C}$  目盛) で測定して、 $20.0 \pm 0.3^\circ\text{C}$  にセットする。

測定は、まず絞り弁 I によって適当な絞り状態 (おおよそ  $r = 12, 22, 60, 130, 200, 1500$ ) にしておき、自然循環でいろいろ空気流入量を変えて行なう。そして、ポンプ G によって強制循環にして、空気流入量を変えて測定する。つぎに、絞り弁 I によって別の絞り状態にして同じことを繰返す。

供試液体として、水と n-ペンタンを用いた。

実験結果の整理にあたっては、次の補正を行なった。单相流部の圧力損失  $\Delta P_1$  (1-2 間) は、1'-2' 間の測定値  $\Delta P_1$  に Blasius の実験式から求めた 1-1' 間、2-2' 間の損失の

値を加えることにより求めた。3-1間の損失は小さいので無視した。二相流部の圧力損失 $R_t$ (2-3間)は、2-2'間の損失を上述と同様に計算して2'-3'間の測定値から差引き、2-3間の長さ $L_{R+F}$ と2'-3'間の長さの比をかりて求めた。平均ボイド率 $\bar{f}$ は、締切り法によって得られた値を用い、2-3間の気相の全体積は、 $ALR\bar{f} = AF$ として求めた。したがって、

$$R_t = \frac{\Delta P_{23}}{\bar{v}_t} - L_{R+F}, \quad R_s = \frac{\Delta P_{12}}{\bar{v}_t} - (1-2\text{間の高さ})$$

である。また、 $K_a$ を求める際には出口量を管内平均量でおきかえた。

## § 4. 実験の結果および考察

### 4.1. 圧力損失比

本実験の測定範囲は、 $0.79 > \bar{f} > 0.025$ ,  $4.2 \times 10^5 > Re > 4 \times 10^2$ ,  $0.16 > Fr_T > 2.7 \times 10^4$ であり、流動形式は、気泡流、スラッグ流の領域である。また、管内径は、 $D = 0.022 \text{ m}$ 、二相流部長さは、 $L_R = 1.5 \text{ m}$  である。

まず、(2.9)式の関係を確認するために、自然循環における $\bar{c}_t$ と $Fr_T$ との関係を示したものがFig. 2.3である。この図から、水および $\eta$ -ペンタンとも(2.9)式の関係を示しているのがわかる。そして、 $1 - \alpha \approx 0.7$ となり、

$$\bar{c}_t = 0.7 Fr_T^{-1} \quad (2.9')$$

の関係を得る。与えられた系に対して、浮力の約70%が有効な駆動力として働いているといえる。したがって、全圧力損失比 $K$ については、( $\alpha \approx 0.3$ であるから)

$$K = 1 + 0.3 \bar{c}_{ts}^{-1} Fr_T^{-1} \quad (2.12')$$

の関係を得る。そして、 $Fr_T - (\bar{c}_t - \bar{c}_{ts})$ の関係を図に示

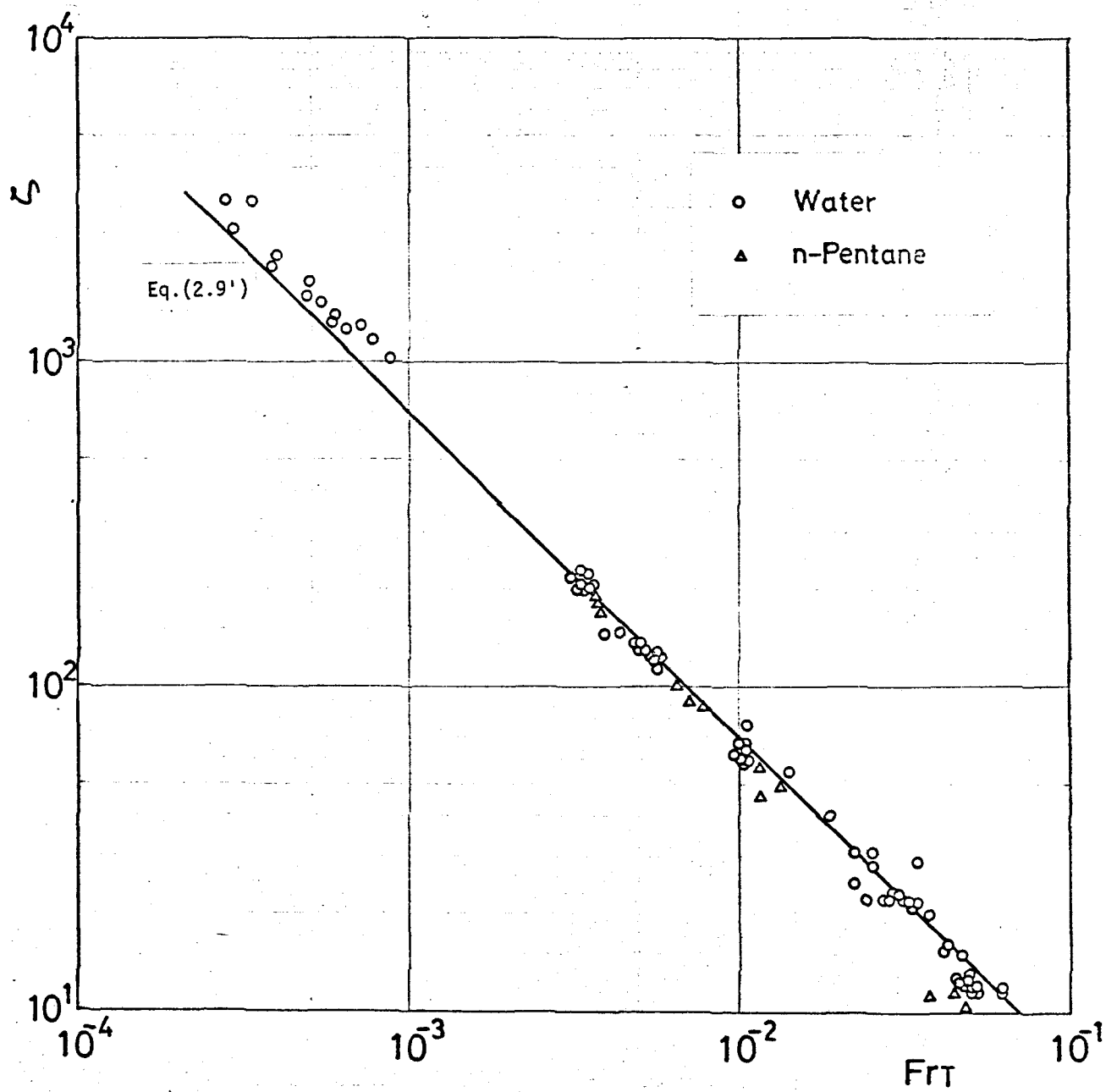


Fig.2.3. Relation of  $S$  with  $F_{rr}$  (Natural Circulation)

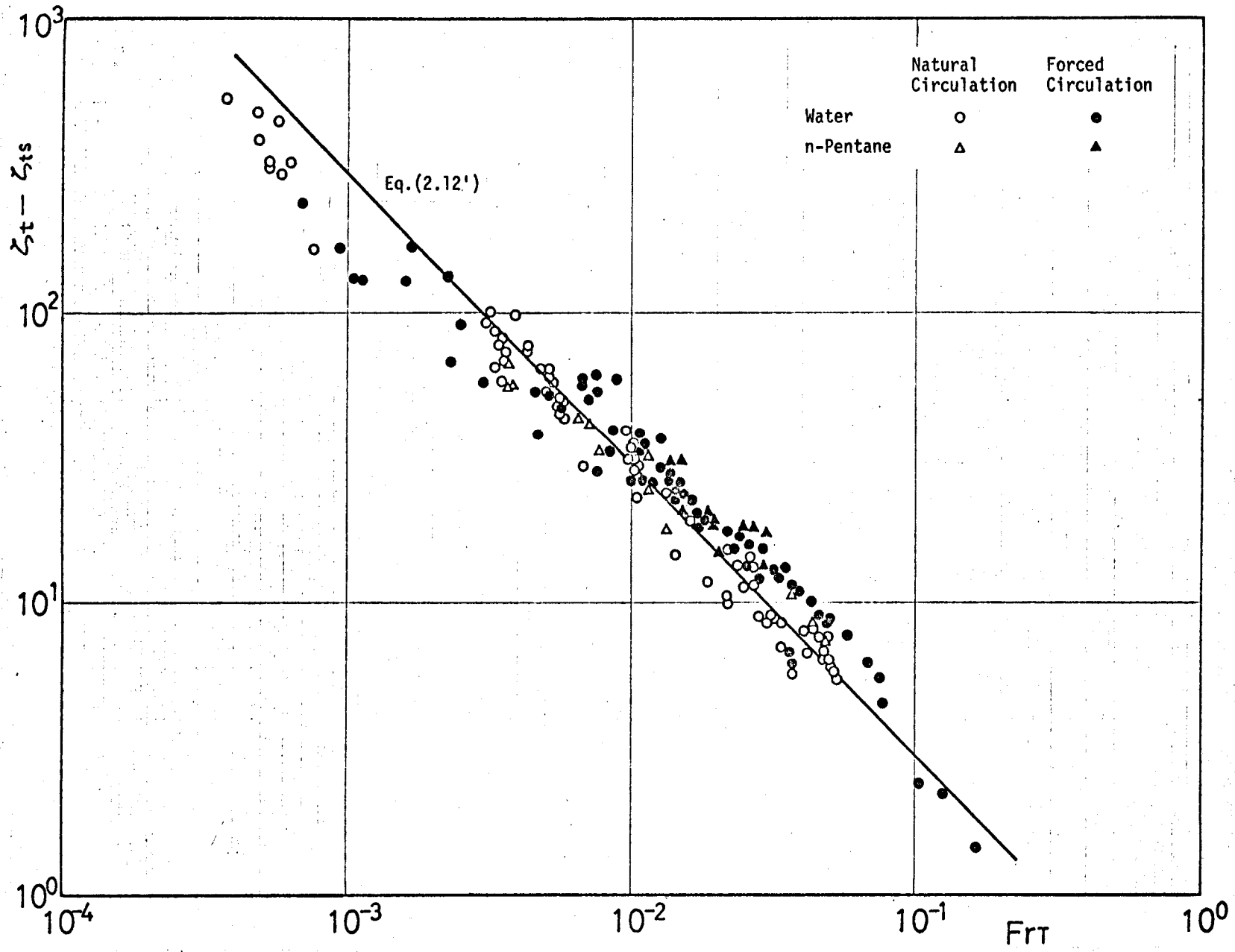


Fig.2.4. Relation of  $(\zeta_t - \zeta_{ts})$  with  $FrT$

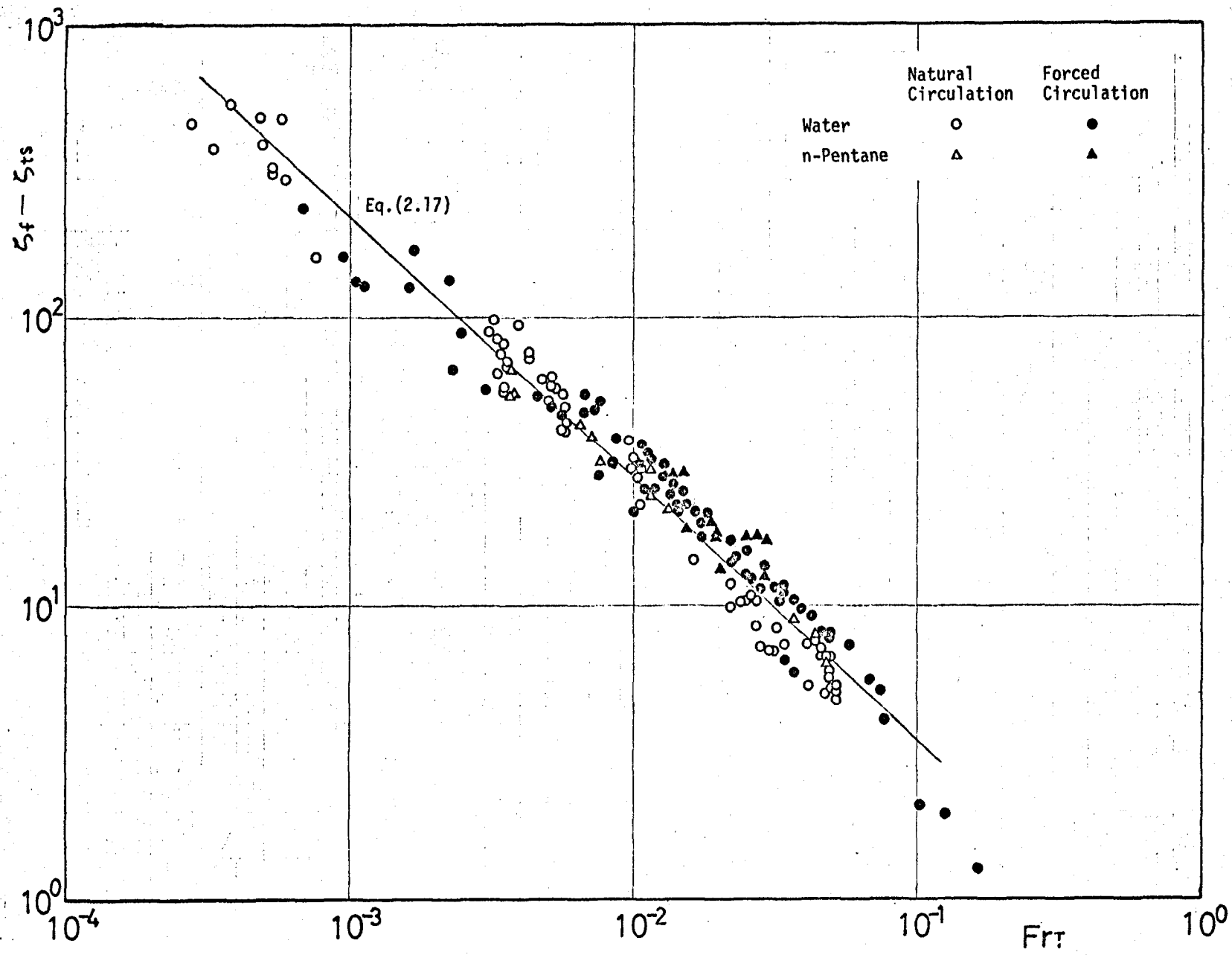


Fig.2.5. Relation of  $(\zeta_f - \zeta_{ts})$  with  $Fr_T$

すと Fig. 2.4 のようになり, (2.12') の関係を示しているのがわかる。しかし, 流速が小さく平均ボイド率が大きい所 ( $Fr_T$  が小さく,  $\alpha$  が大きい所) では, 差圧の乱れが激しく測定が困難であるため幾分結果が悪く出ている。(2.12') の関係は,  $Fr_T$  が小さくなれば全圧力損失比  $K_f$  が増加することを示しているが, このことは, 单相流部流速が小さくボイド率が大きくなるために, 二相流部において気相が液相に与える影響が大きくなるためであると考えられる。

また, 二相流部全圧力損失から加速損失を差引いた残りの摩擦損失については, Fig. 2.5 に示すようになる。摩擦損失比  $K_f$  は,

$$K_f = 1 + \frac{1}{C_{ts}} \left( 0.3 Fr_T^{-1} - \frac{2f_e}{1-f_e} - \frac{\gamma_g u_{gi}^2}{\rho_l f_e u^2} \right) \quad (2.16)$$

となり, およそ  $10^{-1} > Fr_T > 3 \times 10^{-4}$  の範囲で,

$$K_f = 1 + 0.44 C_{ts}^{-1} Fr_T^{-0.9} \quad (2.17)$$

なる関係を得た。

つぎに, 閉ループ系でない開路系においても, 圧力損失比が  $Fr_T$  の関数として簡潔に表わされるかどうかを, 井上らの実験データ<sup>(22)(23)</sup> について調べてみる。井上らの実験装置は開路の垂直空気-水二相流系であり, 測定部は二相流部のうち流動状況が一樣とみられる上の 1m の長さの部分である。常温大気圧下において, 試験部管径が 28.8, 19.0, 9.0, 5.0 mm $\phi$  について, 気泡流領域および気泡流~環状流領域の摩擦損失比を調べている。井上らの実験データについて, 上述と同様の処理をして,  $Fr_T - (C_f - C_{ts})$  の関係を調べた結果を Figs. 2.6, 2.7 に示す。この結果, 平均ボイド率が 1 に近い領域すなわち環状流領域を除いて, 気泡流, スラッグ流の領

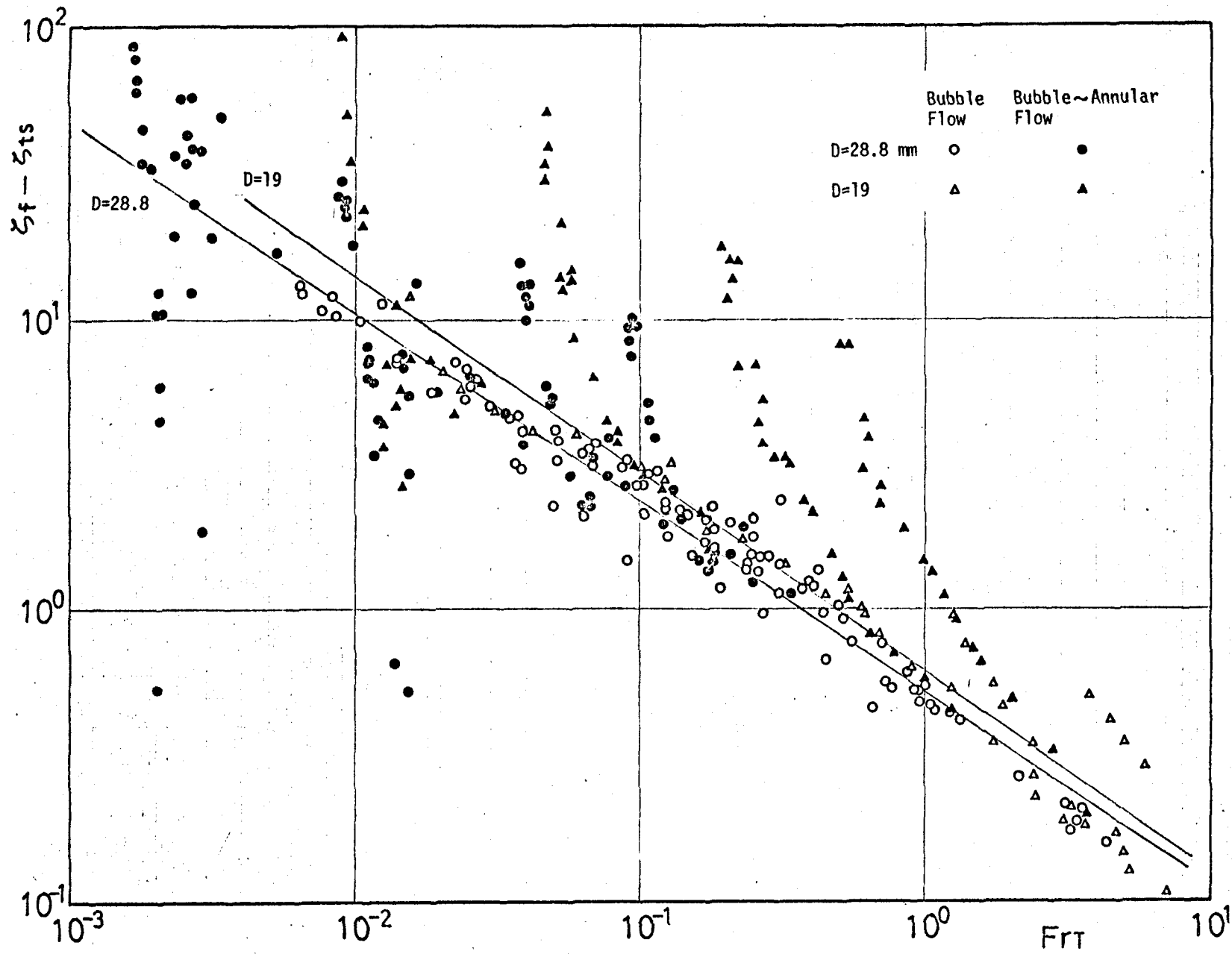


Fig.2.6. Data of Inoue and Aoki adjusted in  $(Fr\tau, \zeta_f - \zeta_{ts})$  plane



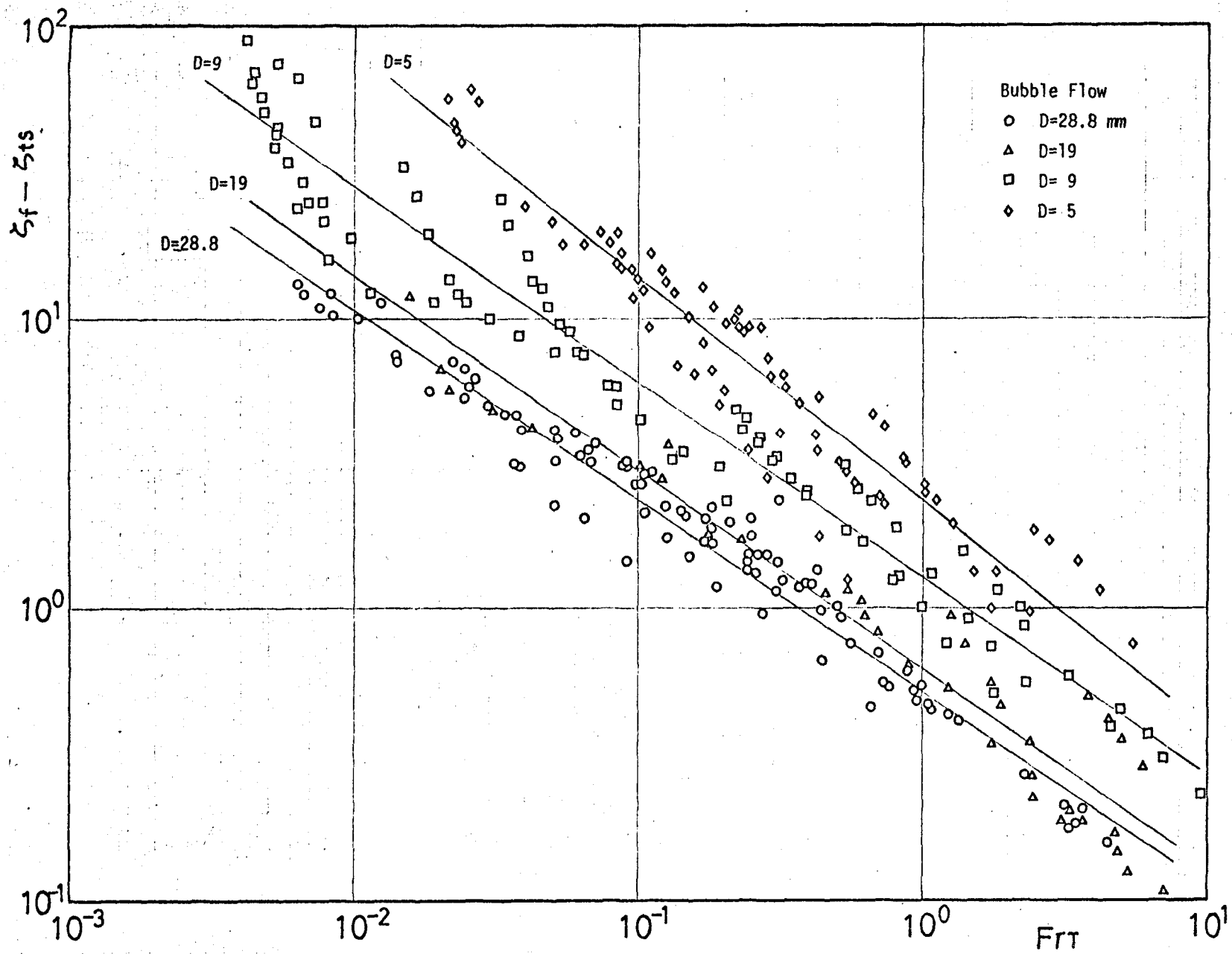


Fig.2.7. Data of Inoue and Aoki adjusted in  $(Fr_T, \zeta_f - \zeta_{ts})$  plane

域では,  $\log(\zeta_f - \zeta_{ts})$  が  $\log Fr_T$  に対して 1 次式で表わされる傾向をもつことがわかる。したがって, 開路系の摩擦損失比  $K_f$  も  $Fr_T$  と  $\zeta_{ts}$  の関数で表わされる。気泡流の  $K_f$  は, 各二相流部管径について,

$$\left. \begin{aligned} K_f &= 1 + 0.52 \zeta_{ts}^{-1} Fr_T^{-0.65} && (D = 28.8 \phi) \\ K_f &= 1 + 0.62 \zeta_{ts}^{-1} Fr_T^{-0.68} && (D = 19.0 \phi) \\ K_f &= 1 + 1.3 \zeta_{ts}^{-1} Fr_T^{-0.68} && (D = 9.0 \phi) \\ K_f &= 1 + 2.3 \zeta_{ts}^{-1} Fr_T^{-0.77} && (D = 5.0 \phi) \end{aligned} \right\} (2.18)$$

と表わされる。平均ボイド率が 1 に近い環状流領域については, 別に検討する必要がある。

以上のことから, 閉ループ系および開路系ともに, 気泡流, スラッグ流領域において, 摩擦損失比は  $Fr_T$  と  $\zeta_{ts}$  で整理できることがわかった。

#### 4.2. 従来の研究結果との比較検討

##### (1) Lockhart と Martinelli の研究<sup>(1)</sup>

L-M法と比較するため,

$$\Phi_L^2 = \frac{(\Delta P / \Delta l)_{TP}}{(\Delta P / \Delta l)_L} (= K_f \quad (2.15) \text{式}) \quad (2.19)$$

$$X^2 = \frac{(\Delta P / \Delta l)_L}{(\Delta P / \Delta l)_g} = \left\{ \begin{array}{ll} (W_L / W_g)^{1.8} (P_g / P_L) (\mu_L / \mu_g) & (t-t) \\ (C_L / C_g) Re_g^{-0.8} (W_L / W_g) (P_g / P_L) (\mu_L / \mu_g) & (v-t) \\ (C_L / C_g) Re_g^{0.8} (W_L / W_g) (P_g / P_L) (\mu_L / \mu_g) & (t-v) \\ (W_L / W_g) (P_g / P_L) (\mu_L / \mu_g) & (v-v) \end{array} \right\} (2.20)$$

ただし,  $W_L = A \delta_L u$ ,  $W_g = A \delta_g u_g$  であり,  $\delta$  は二相流の分類は,

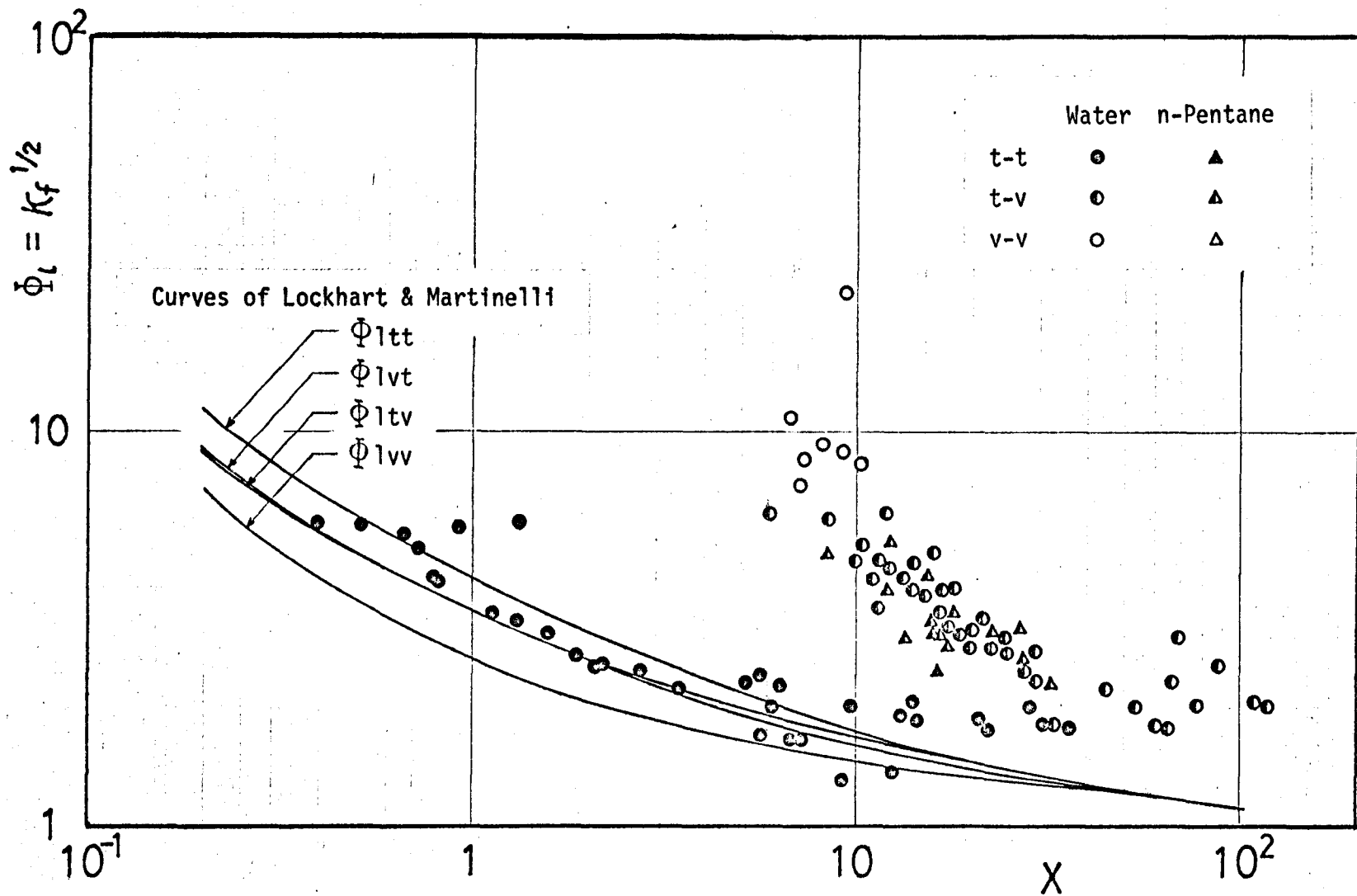


Fig.2.8. Comparison of present data with Lockhart-Martinelli correlation

$Re_{sp} (= Re = \frac{u D}{\nu})$ ,  $Regp (= \frac{u_{gi} D}{\nu_g}) < 1000$  :  $\nu$  (粘性流)

$Re_{sp}$ ,  $Regp > 2000$  :  $t$  (乱流)

であり,  $\nu$  および  $t$  については, (液相-気相) の表現である。

を計算して, プロットしたものが Fig. 2.8 である。このうち, ( $\nu$ - $t$ ) に相当するデータはなかった。 $(t$ - $t)$  の場合の傾向はかなりズレていることがわかる。これは, やはり水平流と垂直流の違いによるものであろう。また四つの分類に入らない領域の流れについては, L-M 法では何もいってこないのでもプロットしてない。なお  $Re < 3000$  の所では  $r_{ts}$  の実測が困難であるため, 乱流域での  $r_{ts}$  をそのまま延長して用いて  $K_f$  を求めた。 (2.6) 式の関係による計算値  $r_{ts}$  を用いると, 図示してある  $K_f$  より大きい値となることがある。以下の比較においても同じ処理がしてある。なお,  $K_f$  は, (2.15) 式から求めている。

## (2) 赤川の研究<sup>(20)</sup>

赤川の垂直管における摩擦損失比  $\xi$  に関する実験式

$$\xi = (1 - \bar{f})^{-\alpha} \quad (\text{垂直管では } \alpha = 1.51) \quad (2.21)$$

に実験値を代入して求めた  $\xi$  と (2.15) 式の  $K_f$  とを比較したものが Fig. 2.9 である。図中の鎖線は,  $\xi$  と  $K_f$  が一致する所である。同じ垂直流であるが, 平均ボイド率だけでは摩擦損失比を表わすことができないことがわかる。L-M 法の分類で ( $t$ - $t$ ) の流れの場合が比較的合っている (本実験では,  $r = 10 \sim 30$  程度の範囲)。また, 二相流部の上流で大きく絞られているときには全然合わないことがわかる。

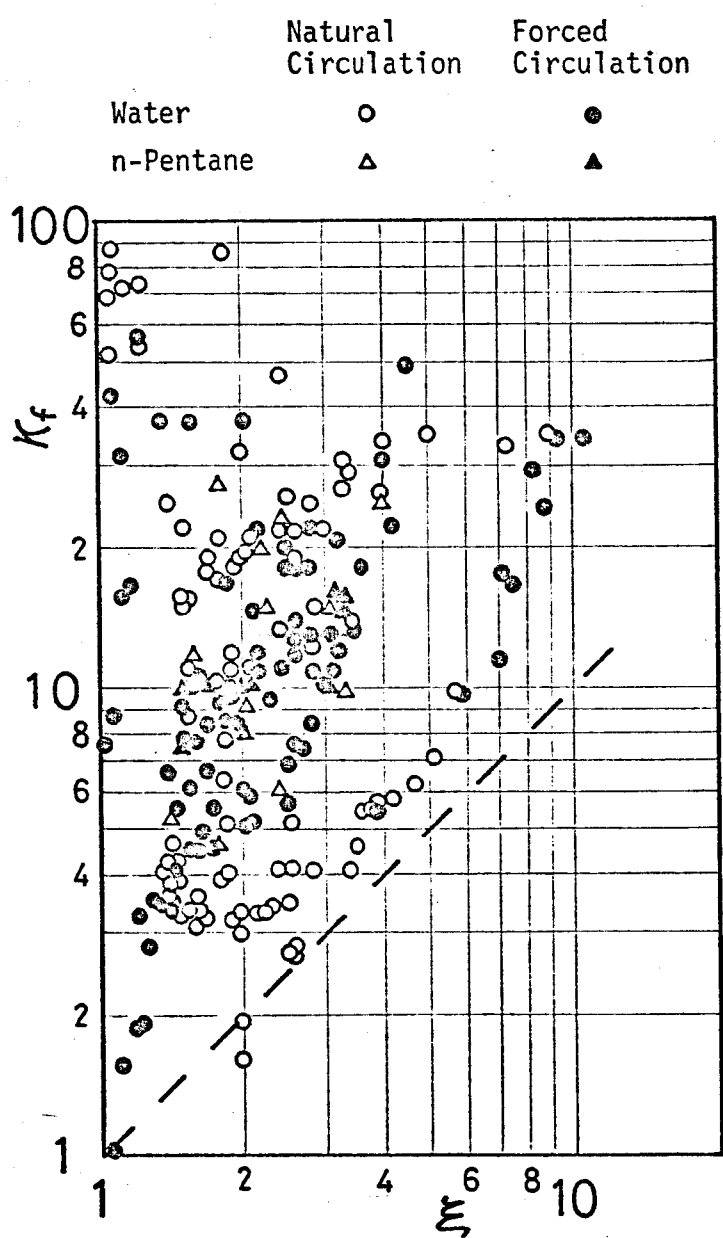


Fig.2.9. Comparison of present data with equation (2.21) of Akagawa

(3) Bankoffの研究<sup>(21)</sup>

蒸気-水二相流によって、Bankoffの導いた二相流と单相流(水)の壁面せん断力の比に関する整理式

$$\frac{\tau}{\tau_{sp}} = \left[ 1 - \bar{f} \left( 1 - \frac{\rho_g}{\rho_l} \right) \right]^{3/4} \left[ 1 - \alpha \left( 1 - \frac{\rho_l}{\rho_g} \right) \right]^{7/4} \quad (2.22)$$

ただし、 $\tau$  : 二相流の壁面せん断力

$\tau_{sp}$  : 单相流の壁面せん断力

$\alpha$  : クオリティ =  $W_g / (W_g + W_l)$

に実験値を代入して得られる  $(\tau/\tau_{sp})$  と (2.15) 式の  $K_f$  とを比較したものが Fig. 2.10 である。(L-M) 法の分類で、(t-t) の流れの場合には  $\tau/\tau_{sp}$  の値の方が大きく、(v-v) の流れの場合には  $\tau/\tau_{sp}$  の値の方が小さくなっていくことがわかる。 $\tau/\tau_{sp}$  と  $K_f$  が等しくなる所を鎖線で示してある。

(4) 井上と青木の研究<sup>(22)</sup>

気泡流領域における井上らの導いた摩擦損失比  $\bar{R}$  についての整理式

$$\bar{R} = \frac{1}{1-\bar{f}} \left\{ 1 + 350 \left( \frac{\bar{f}}{Re_l Fre} \right)^{1/2} \right\} \quad (2.23)$$

ただし、 $Re_l = \rho_l u D / \mu_l$ ,  $Fre = u^2 / g D$

に実験値を代入して求めた  $\bar{R}$  と (2.15) 式の  $K_f$  とを比較したものが Fig. 2.11 である。 $\bar{R}$  と  $K_f$  が等しくなる所を鎖線で示してある。全般に  $\bar{R}$  の値の方が少し小さくなっていくが、気泡流領域において傾向はよく合っている。しかし、水に対して上式を導いたために n-ポンタンの場合には適用できない。

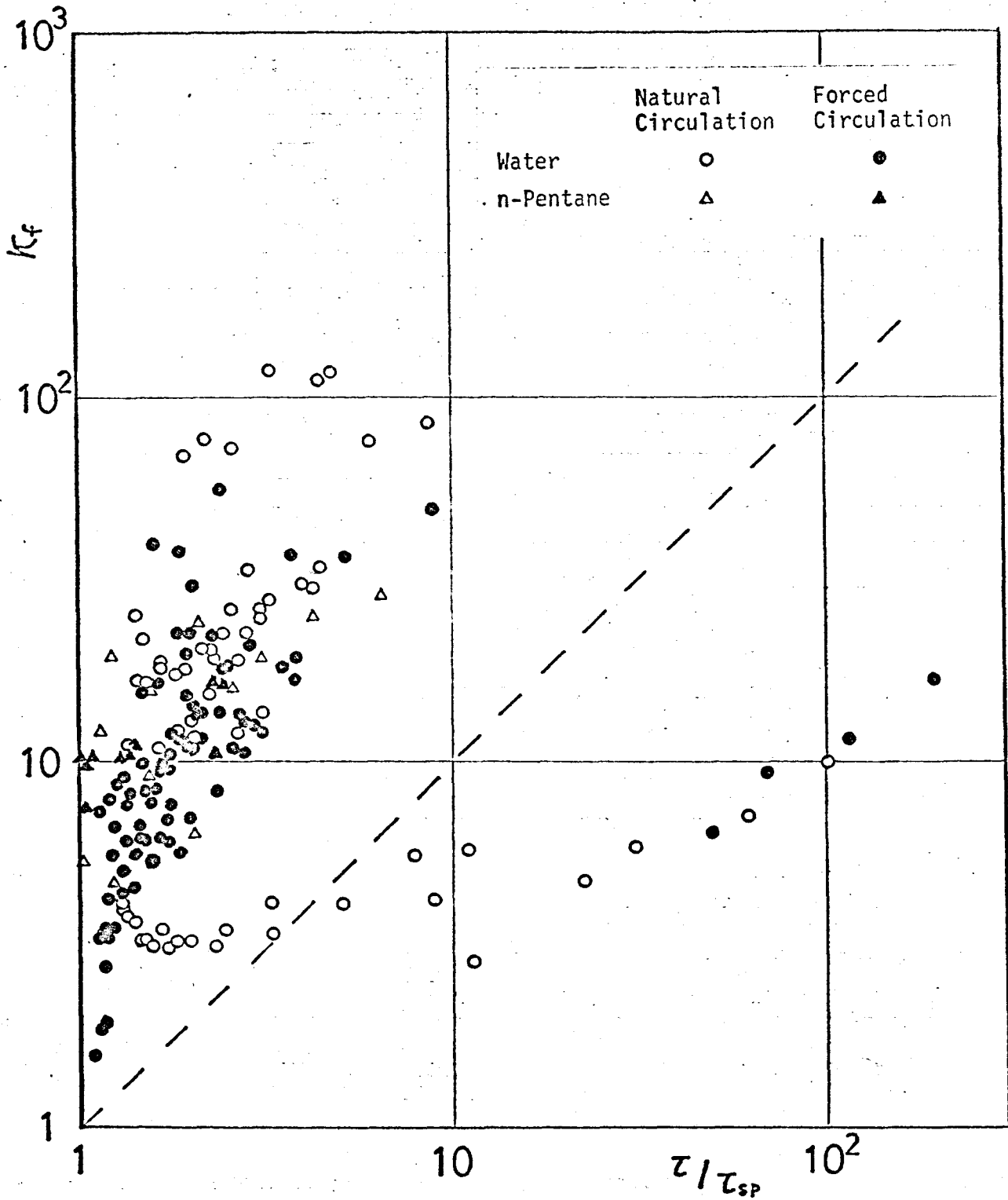


Fig.2.10. Comparison of present data with equation (2.22) of Bankoff

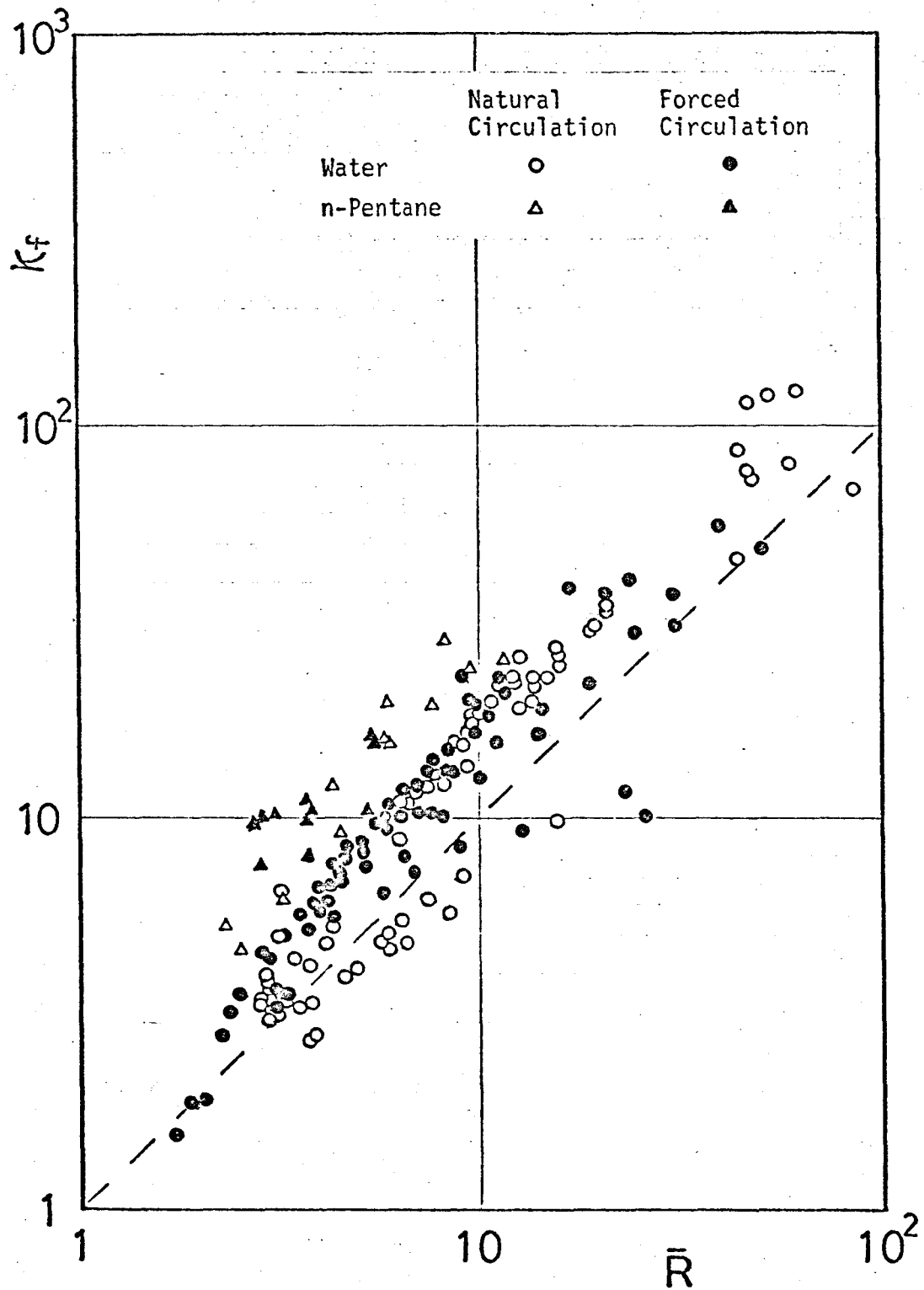


Fig.2.11. Comparison of present data equation (2.23) of Inoue and Aoki



## § 5. 結 論

常温大気圧下における垂直気液二相流ループにおいて、二相流部の圧力損失を評価するために、管内気相の浮力とループの全抵抗カとの釣合いから、二相流フルード数  $Fr_T$  を定義して、二相流部の全圧力損失比  $K$  の簡単な表式の形を決め、実験によってそれに含まれる未知量の値を求めた。結果は次の通りである。

(1) 垂直気液二相流の全圧力損失比  $K$  は、液体の種類（少なくとも水と  $n$ -ペンタン）に関係なく、気泡流、スラッグ流の領域において、二相流フルード数  $Fr_T$  とレイノルズ数および流路の形状量を含む二相流部を液相だけが流れたときの抵抗係数  $C_{ts}$  とで表わされ、

$$K = 1 + 0.3 C_{ts} Fr_T \quad (2.12')$$

で与えられる。

(2) 摩擦損失比  $K_f$  は、

$$K_f = 1 + \frac{1}{C_{ts}} \left( 0.3 Fr_T - \frac{2f_e}{1-f_e} - \frac{\gamma_g}{\rho_l} \frac{u_{gi}^2}{f_e u^2} \right) \quad (2.16)$$

近似的には、 $10^{-1} > Fr_T > 3 \times 10^{-4}$  の範囲で、

$$K_f = 1 + 0.44 C_{ts} Fr_T^{-0.9} \quad (2.17)$$

で与えられる。

(3) 垂直気液二相流の圧力損失比は、閉ループ系、開路系とも、二相流フルード数  $Fr_T$  と  $C_{ts}$  とで表わされる。

流れの安定性の解析に際しては、(2.12)式が用いられる。流れの不安定がスラッグ流領域において生じることから、(2.12)式の関係は、系を集中定数系として取扱えることを示唆している。



性質については、いままでに多くの研究報告があり、かなり詳しく調べられている。しかし、従来の結果だけでは流れの安定解析上データが十分とはいえない。従来の報告では垂直流における流れ方向の様子についてはあまり調べられていない。理論解析上必要な情報として、気体スラッグの流れ方向の性質も重要である。本章ではこの点に留意して、空気-水ニ相流について気体スラッグの諸性質すなわち、気体スラッグの上昇速度、長さ、通過の周期および平均ボイド率について、実験によって調べたことを述べる。得られた結果は、第4章で述べる流れの安定性についての理論的解析を行なう際に用いられる。

## § 2. 従来の研究

気液ニ相流中の気相の諸性質についても多くの研究があり、いままでにかなりのことが明らかにされていくる。ここでは、主に気体スラッグについての従来の研究結果を述べる。

静止した液体の中を一つの気泡が一定の速度で上昇するとき、この絶対速度を気泡の終端上昇速度という。この値は、気泡の上昇によって影響を受けない十分に離れた所の静止液体との相対速度とみられるので終端の相対速度でもある。

この静止液中での気体スラッグの終端上昇速度  $U_{g0}$  については、Davis<sup>(28)</sup> は管径  $D$  と重力加速度  $g$  で表われ、

$$U_{g0} = 0.35 \sqrt{gD} \quad (3.1)$$

を与えている。

また、Nicklin<sup>(29)</sup> は気液ニ相流の水平流における気体スラッグの速度を気液の体積速度  $U$  および  $U_{gi}$  で表われ、

$$U_g = 1.2 (u + u_{gi}) \quad (3.2)$$

で与え、Griffithら<sup>(30)</sup>は垂直気液二相流における気体スラッグの上昇速度を、

$$U_g = 1.2 (u + u_{gi}) + 0.35 \sqrt{gD} \quad (3.3)$$

で与えている。(3.2), (3.3)式とも適用範囲はレイノルズ数  $(u + u_{gi})D/\nu_l \geq 8000$  である。

ここで、体積速度というのは、気体または液体の一方だけが二相流部中を流れたとしたときの速度のことである。したがって、液相の体積速度というのは、単相流部と二相流部が同じ断面積であれば、単相流部流速(あるいは二相流部入口流速)に等しく、気相の体積速度というのは、単位時間あたりの空気流入量あるいは気泡発生量を二相流部の断面積で除した値に等しい。

また、管中における気液間の相対速度  $U_r$  は、二相流部中における気液の速度  $U_g$  および  $U_l$  の差で定義される。

$$U_r = U_g - U_l = \frac{u_{gi}}{f} - \frac{u}{1-f} \quad (3.4)$$

Griffithら<sup>(30)</sup>は、気体スラッグ周辺に小気泡が散在する一般のスラッグ流における十分に発達した気体スラッグの相対速度  $U_r$  を、

$$U_r = C_1 C_2 \sqrt{gD} \quad (3.5)$$

で与えた。ここで係数  $C_1$ ,  $C_2$  は、気泡レイノルズ数  $N_{Reb} = U_r D/\nu_l$  および液体レイノルズ数  $N_{Rel} = (u + u_{gi})D/\nu_l$  によって定まる値である (Figs. 3.1, 3.2 参照)。Moissisら<sup>(31)</sup>は、気体スラッグが合体成長するために不規則な形状となる未発達のスラッグ流に対して、未発達の気体ス

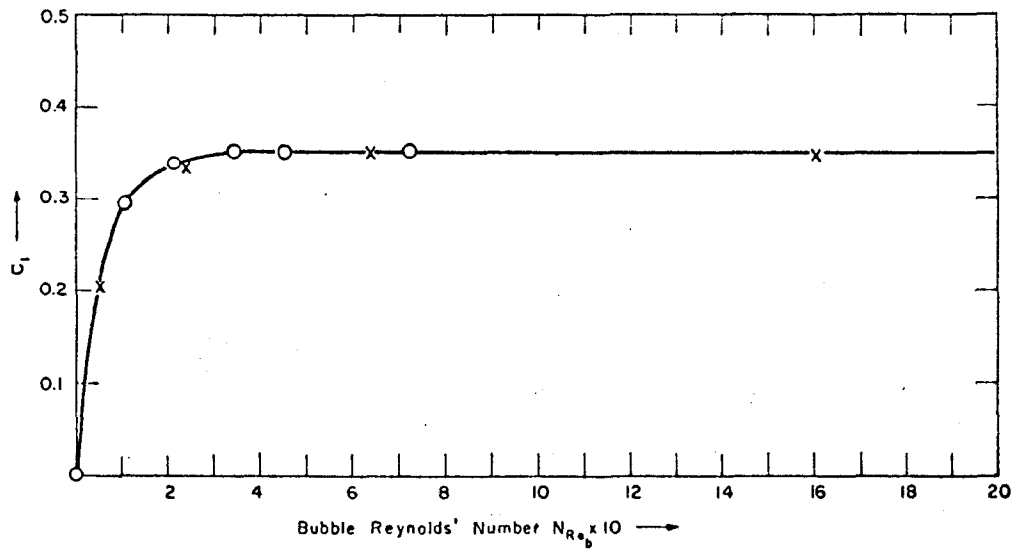


Fig. 3.1. Dimensionless constant  $C_1$  against bubble Reynolds number  
 x = results of Dumitrescu  
 o = results of Griffith and Wallis  
 Dumitrescu's theory gives  $C_1 = 0.350$  for potential flow.  
 G. I. Taylor in a more approximate analysis obtains  $C_1 = 0.328$ .

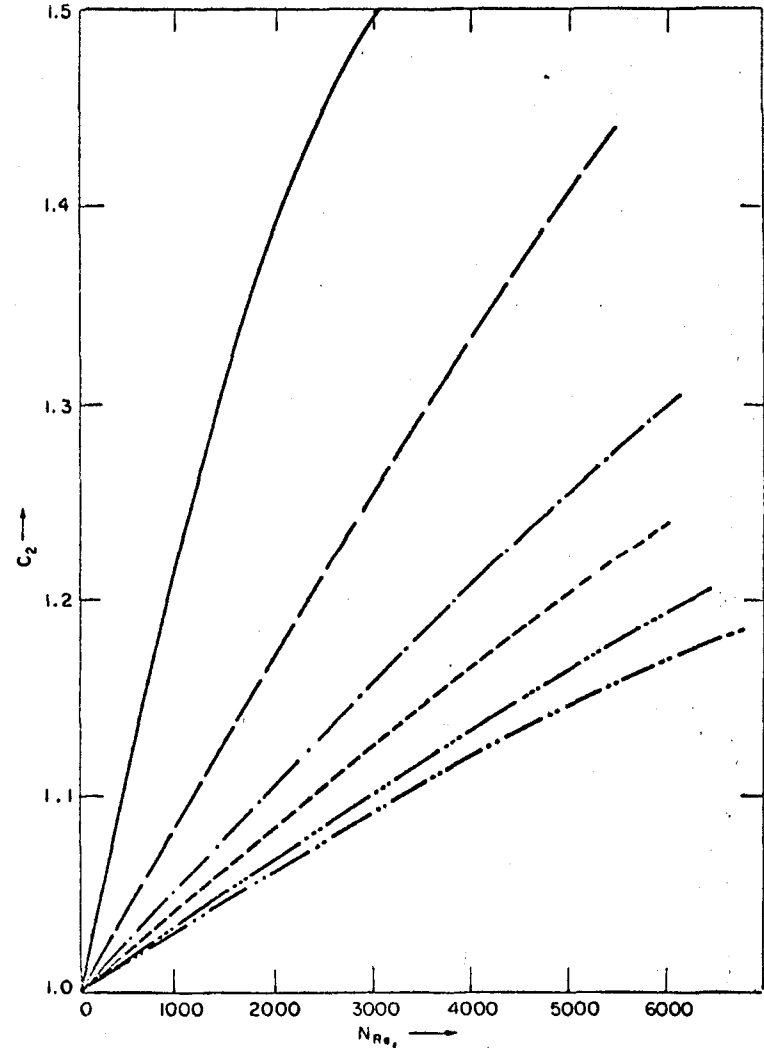


Fig. 3.2. Coefficient  $C_2$  against liquid Reynolds number for various values of bubble Reynolds number

- "Laminar"  $N_{R_b} = 0 \rightarrow 3000$
- - - "Transition"  $N_{R_b} = 4000$
- · - "Transition"  $N_{R_b} = 5000$
- · · "Transition"  $N_{R_b} = 6000$
- - - - "Turbulent"  $N_{R_b} = 7000$
- · - · "Turbulent"  $N_{R_b} = 8000$

ラグの相対速度  $U_{ru}$  を表わすのに、十分に発達した気体スラグの相対速度  $U_r$  との比で表わし、合体する気体スラグの長さ  $l_g$  の影響を考慮して、

$$\frac{U_{ru}}{U_r} = 1 + 8 \exp(-1.06 l_g / D) \quad (3.6)$$

を与えている。

二相流部中での気液両相の速度の比をすべり比とい

$$S = \frac{U_g}{U_l} = \left( \frac{\lambda}{1-\lambda} \right) \left( \frac{1-f}{f} \right) \left( \frac{\rho_l}{\rho_g} \right) \quad (3.7)$$

で表わされる。ここで、 $\lambda$  は気相重量流量の全重量流量に対する比のことで、蒸気含有率またはクオリティと呼ばれ、おもに、沸騰二相流、蒸気二相流で用いられる。

このすべり比  $S$  については、蒸気-水二相流についての Bankoff の関係式<sup>(21)</sup> があり、

$$S = \frac{1-f}{K-f} \quad (3.8)$$

ここで、 $K = 0.71 + 0.0001 p$

$p$ : 系の圧力 (psia)

で表わされている。(3.8)式は、流れの安定性の解析における補助式としてよく用いられている。

気体スラグと液体スラグの長さに関しては、Griffith<sup>(30)</sup> や赤川<sup>(32)</sup> の研究があり、気体スラグの通過の周期については、赤川の研究<sup>(32)</sup> がある。

以上、気体スラグの上昇速度、長さ、通過の周期に関する従来の結果は、二相流部の一点における測定の結果で、流れ方向の分布についてはあまり調べられていない。そのため、気体スラグの成長の様子がよく分かっていないと思われる。したがって、流れ方向の様子も知ってからでないと、従来の関係は流れの安定性解

析にそのまま用いることはできない。

二相流部中に存在する気相の全体積の二相流部容積に対する比を管内平均ボイド率 $\bar{f}$ といい、これについての研究も多くあるが、Bankoff<sup>(21)</sup>、Nicklin<sup>(29)</sup>および井上と青木<sup>(23)(33)</sup>の導いた大気圧下での関係をFig. 3.3に示す。横軸の $u_{gi}/v$ は気相の体積流量比を表わす。

$$\text{Bankoff} : \bar{f} = K \frac{u_{gi}}{v} \quad (K = 0.71)$$

$$\text{Nicklin} : \bar{f} = 0.83 \frac{u_{gi}}{v}$$

$$\text{井上と青木} : \frac{u_{gi}}{v} = \frac{\bar{f}}{1 - \bar{f} + \bar{f}^2}$$

(3.9)

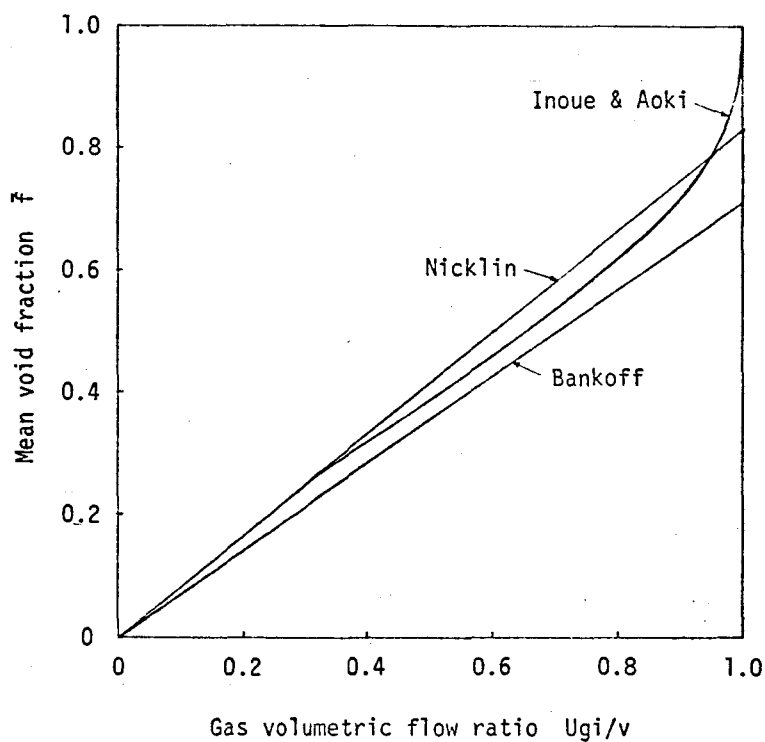


Fig.3.3. Mean void fraction versus gas volumetric flow ratio

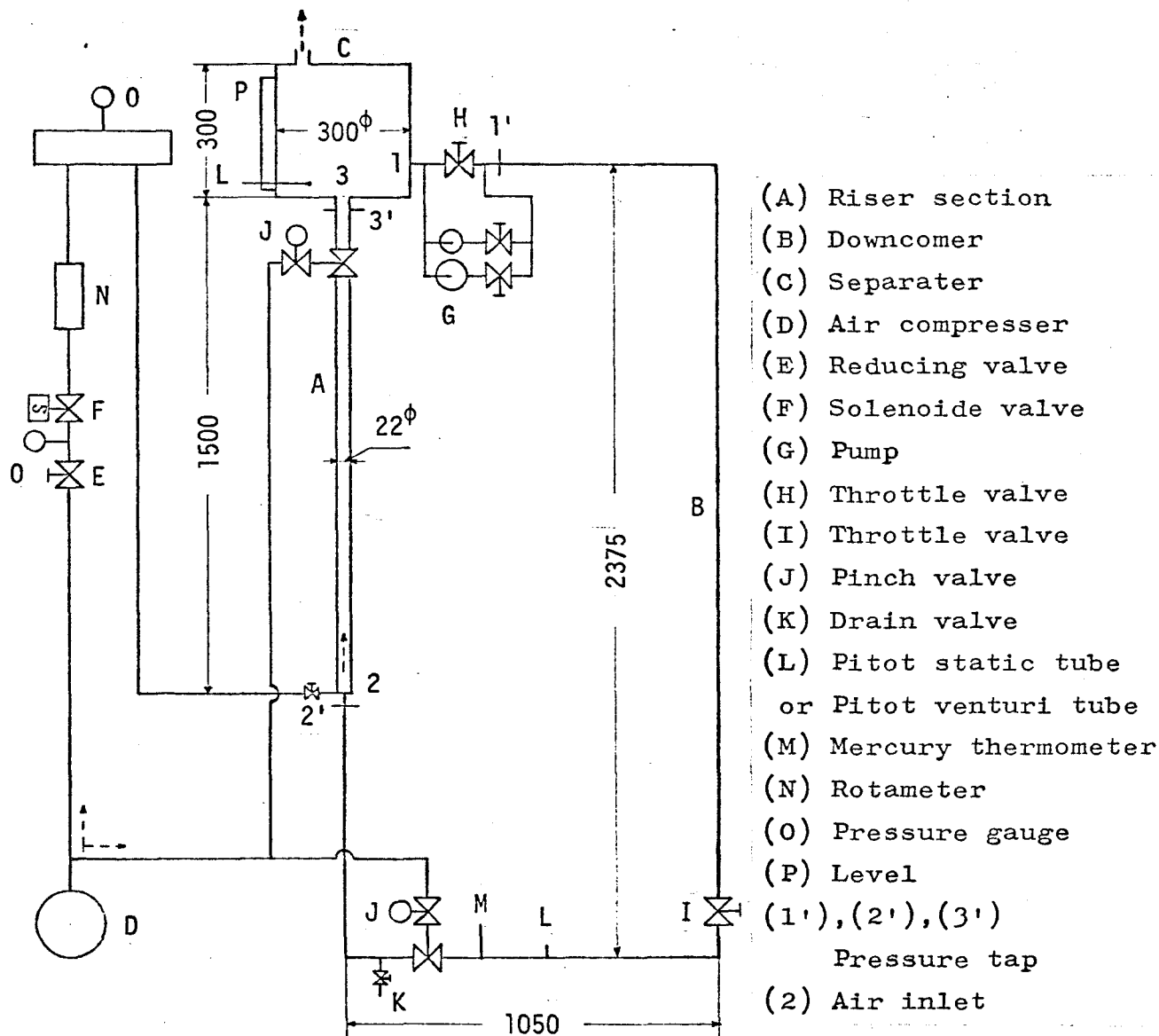


Fig.3.4. Schematic diagram of upward air-liquid two-phase flow system



### § 3. 実験装置と計測法

実験装置は第2章のものと同じで、Fig. 3.4に示す。管内平均ボイド率は、この装置で、水とカーペンタインについて測定した。気体スラッグの上昇速度、長さ、通過の周期の測定に際しては、二相流部をFig. 3.5のものに取換えた。図示してある寸法の位置に二つの抵抗変化の検知部が取り付けられている。この気体スラッグの通過を検知する方法は、二相流部中央に挿入してある2本のタンゲステン線の先端(間隔 $2\text{mm}$ )に気泡がかかると絶縁状態となることを利用したものであり、電磁オシログラフに記録させる。ために、抵抗変化による検知部を $2\text{cm}$ の間隔で取り付けられており、出力のズレ(時間間隔)を知れば、上昇速度が求められる。これらは、常温大気圧における空気-水二相流について測定した。

他の量の測定法は、第2章で述べた方法と同じである。単相流部流速および気体流入速度は、ピトー管およびロータメータで測定した。また、管内平均ボイド率は上下のピンチバルブを締切ることにより求められる。測定は、自然循環と強制循環について行ない、絞りはおよそ $12, 60, 200$ について行なった。気相流入位置から $2\text{cm}$ の通過の時間 $\Delta t$ を知って、

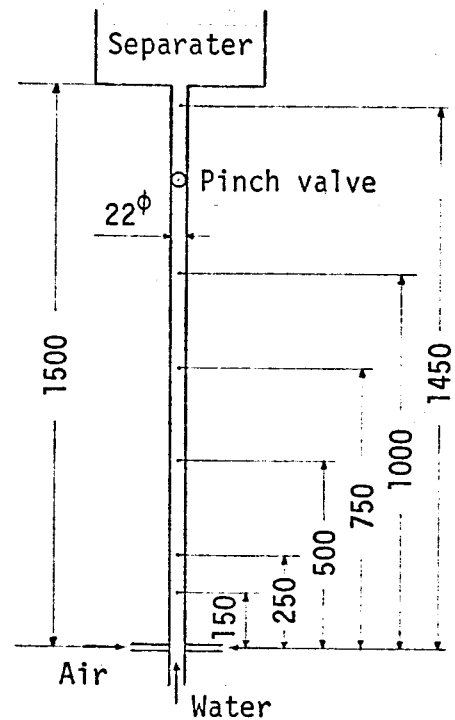


Fig. 3.5. Test section

出力を電流で取出し、上昇速度を測定する

$$U_{gx} = \frac{\Delta l}{\Delta t} \quad (3.10)$$

で与えられ、 $x$ 点での気体スラッグの長さ $l_{gx}$ は、 $x$ 点での気体スラッグの通過している時間 $t_{gx}$ から、

$$l_{gx} = U_{gx} t_{gx} \quad (3.11)$$

で与えられる。気体スラッグの通過の周期は、不連続に通過する気体スラッグの時間間隔 $T_g$  (sec) のことで、記録紙から直読した値を平均して求めた。

#### § 4. 実験結果と考察

常温大気圧における垂直で上向き空気-水二相流閉ループ系において、気体スラッグの諸性質についての実験の結果を以下に述べる。

##### 4.1. 気体スラッグの上昇速度

まず、静止液中における単一の気体スラッグの上昇速度をなわち、終端上昇速度は、実測すると $D = 22 \text{ mm}^{\phi}$ の管中で水は $0.163 \text{ m/sec}$ 、 $\eta$ -ペンタンは $0.162 \text{ m/sec}$ であった。

(3.1) 式の関係からは、 $U_{g00} = 0.1625 \text{ m/sec}$  となり、(3.1) 式から得られる値は、実測値と一致するといえる。

単一の気体スラッグがあつて、下方では気相と液相とが流入してくる場合の上昇速度は、二相流部を液相だけが流れたとしたときの速度(液相の体積速度) $U$ と気相だけが流れたとしたときの速度(気相の体積速度) $U_{gi}$ の和(二相流の全体積速度) $V$ に関係して、終端上昇速度 $U_{g00}$ に気液が流入してくる速度分だけ増加することが考えられ、

$$U_g = V + U_{g00} \quad (3.12)$$

の表式が得られる。一般に、下方の気体スラッグは上方の気体スラッグの後流の影響を受け、上昇速度は(3.12)式で表わされる値より大きくなる。その効果は気相の存在量すなわち流入量と液相の流入量(循環流気量)に關係するところが考えられるので、気体スラッグの平均の上昇速度  $U_g$  は、

$$U_g = aU + U_{g00} \quad (3.13)$$

の形で表わされるだろう。Griffithはこの表式で整理して、実験によつて、 $a=1.2$ を得ている(3.3)式)。本実験では、空気流入口から1mの所と1.45mの所の値を整理すると、 $a=1.25$ の値を得た(Figs. 3.6, 3.7)。

つぎに、流れ方向の分布を調べるために気相入口からの距離  $x$  について6点で測定した結果を、二相流上昇部長さ  $L_R$  で無次元化した距離  $z^* (=x/L_R)$  で整理した結果を Figs. 3.8~3.10 に示す。これらの結果から気体スラッグの上昇速度  $U_g$  は気相入口からの無次元距離  $z^*$  によらず気液の入口流速(絞リや強制循環の効果は含まれていない)の値に対してほぼ一定の分布とみだせる。しかし、気相入口付近では、バラツキが多く、測定値が記入されていらないものもあるが、全体的にみれば、 $U_g$  は  $z^*$  についてほぼ一定とみなしてよいだろう。

以上の結果から、気体スラッグの上昇速度は、流れ方向に一定で、二相流部の全体積速度  $U$  の関数として表わされることわかった。

流れの不安定の解析に用いられる気液の速度の關係を表式として、相対速度とすべり比がある。すべり比の場合一般に  $S = U_g/U_L$  の表式が用いられているが、非定常の場合に気液が逆転すれば  $U_L$  が負になることが考えられる。この表式はよいものとはいえない。むしろ、す

べり比としては  $s = u_x / u_y$  とする表式の方がいいだろう。<sup>(5)</sup>  
 一方、相対速度の場合には  $u_r = u_y - u_x$  の表式で、非定常の場合に  $u_x$  が負になることがあっても問題にならないよ  
 うであるが、それはある  $x$  断面でのことで、二相流部  
 全体を考えるとときには、 $u_x$  が負になる効果が入らない  
 表現になるだろう。そこで、流れの不安定が気体スラ  
 グの成長発達の過程でおこることが第1章の実験結果  
 からわかっているので、気体スラッグの相対速度も二相  
 流部全体積速度  $U$  に対して  $u_y - U$  と定義するのが妥当  
 と思われる。そして、理論解析上は、実験結果が  $U$  に  
 対して  $45^\circ$  の直線的な傾向を示しているのを考慮して、

$$u_y - U = u_{y00} \quad (3.14)$$

の仮定を用いるのが妥当と思われる。

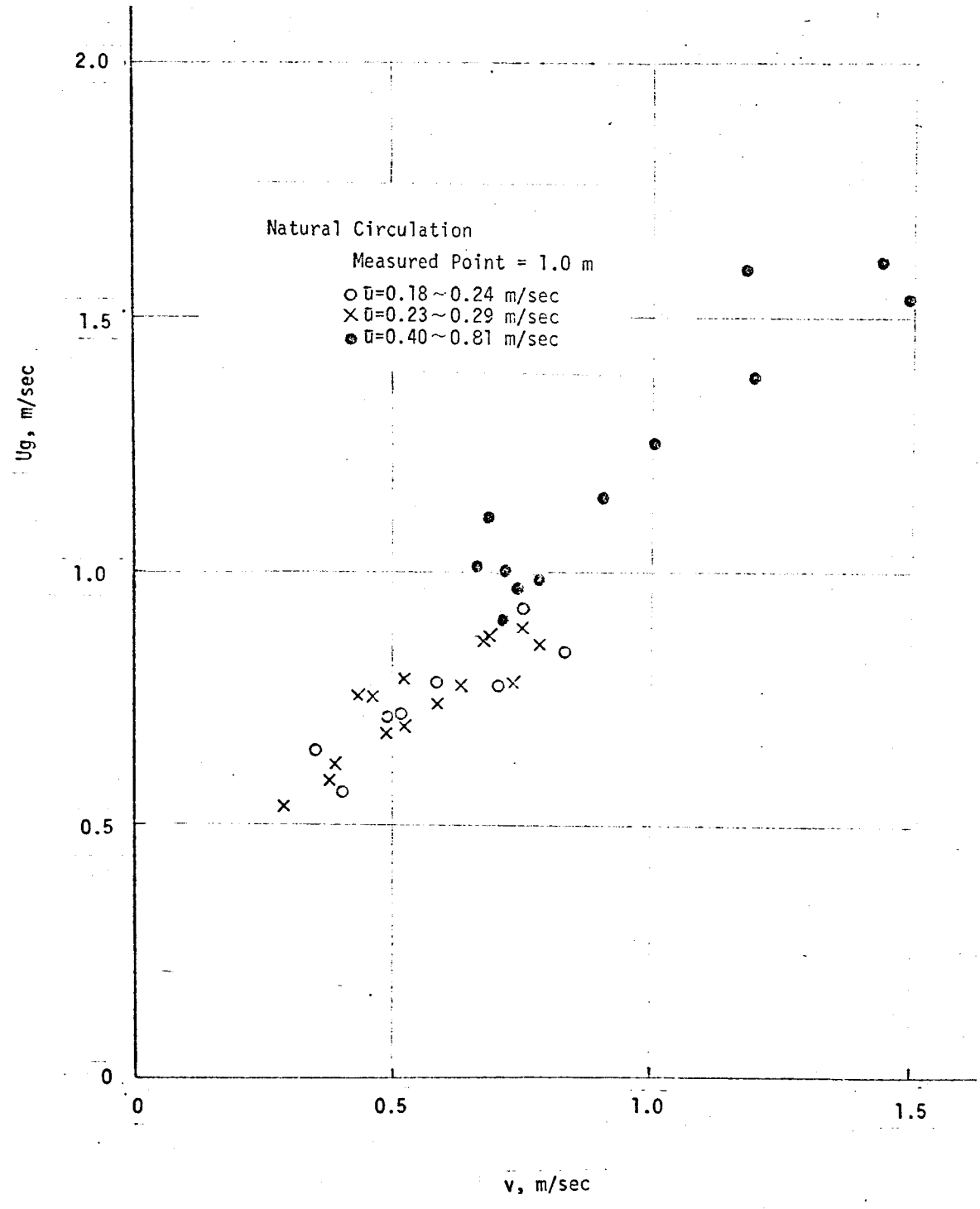


Fig.3.6. Rising velocity of gas-slugs versus total volumetric flow rate

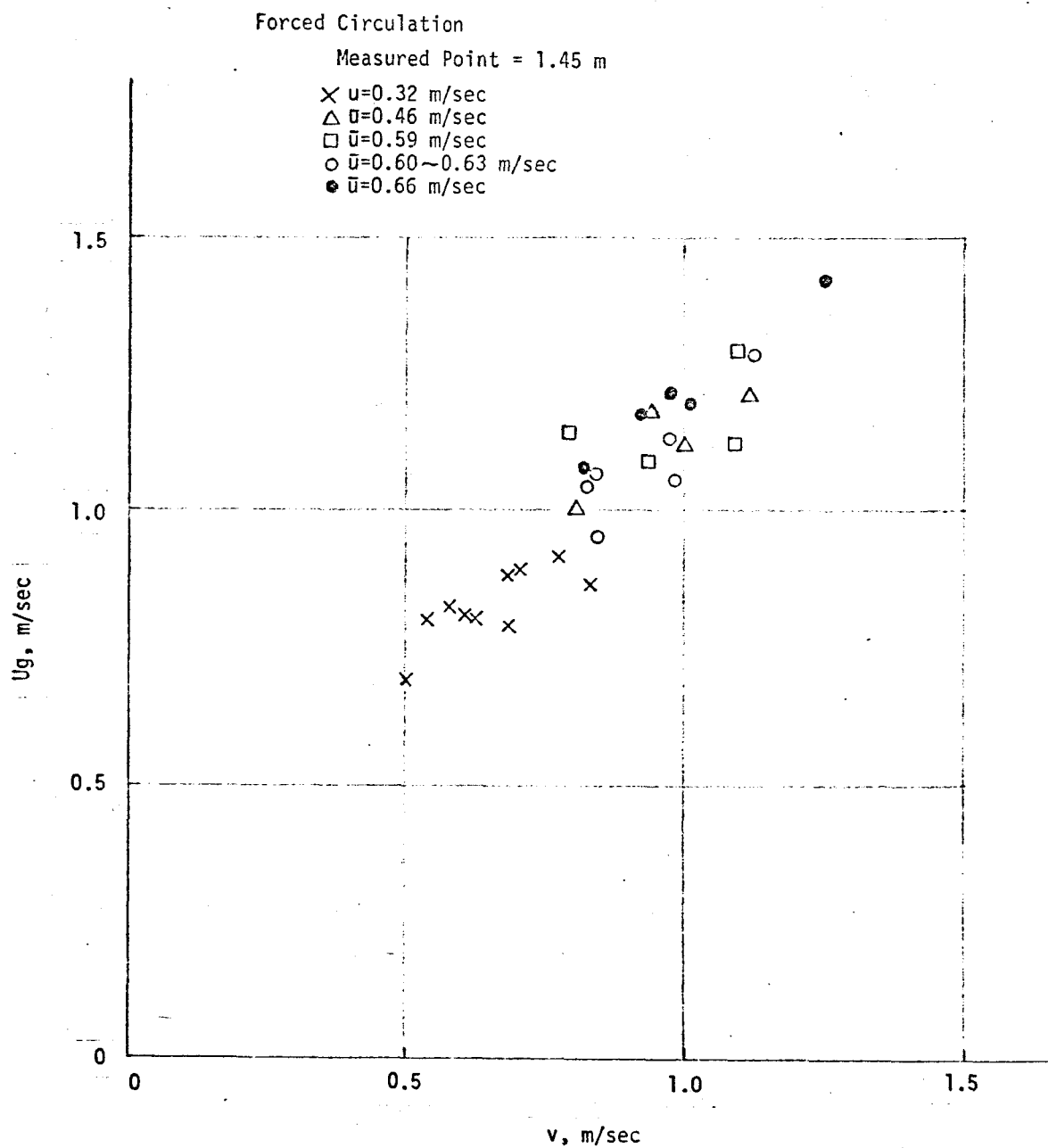


Fig.3.7. Rising velocity of gas-slugs versus total volumetric flow rate

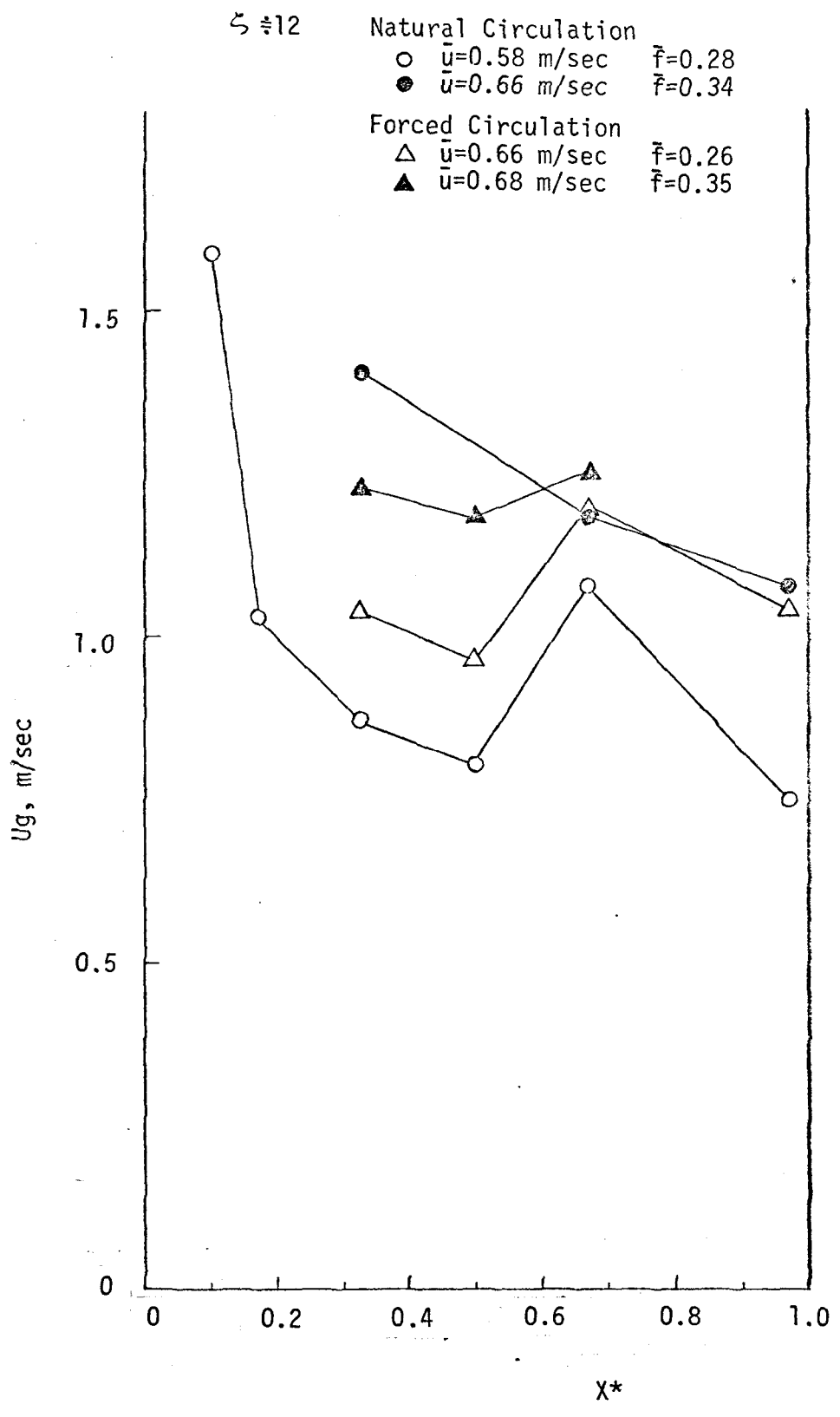


Fig.3.8. Rising velocity of gas-slugs versus flow direction

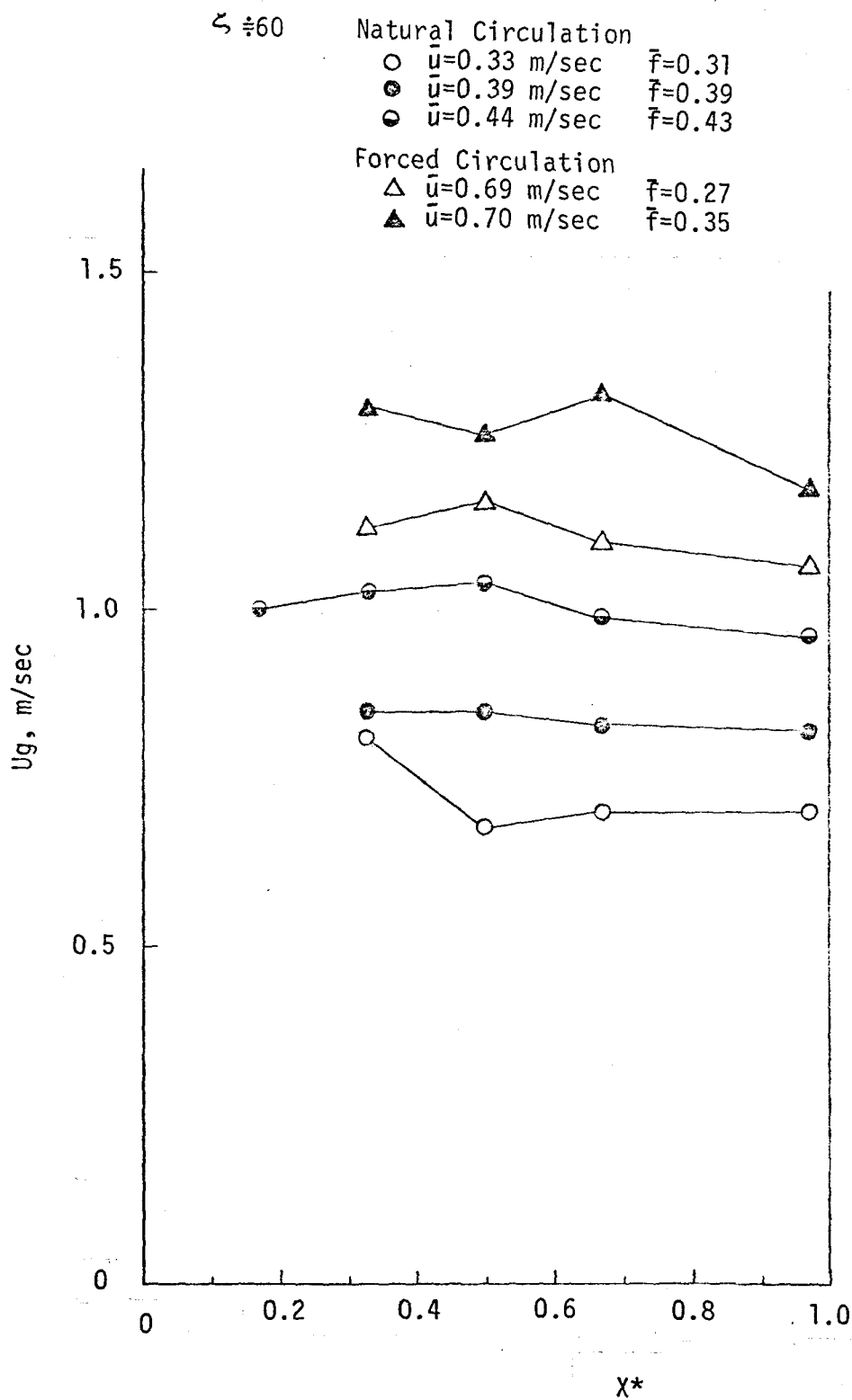


Fig.3.9. Rising velocity of gas-slugs versus flow direction



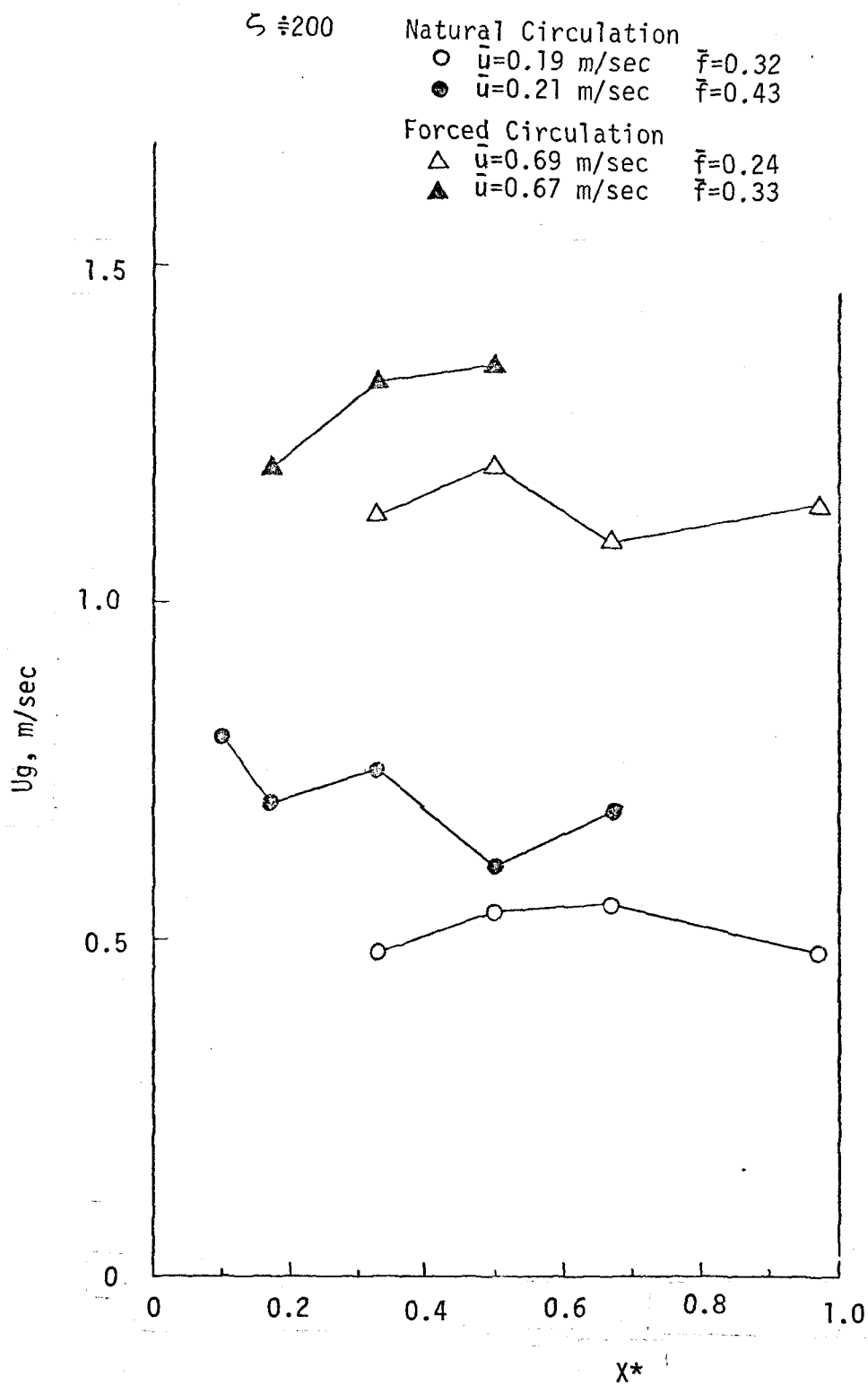


Fig.3.10. Rising velocity of gas-slugs versus flow direction

#### 4.2. 管内平均ボイド率

二相流部で気相が占める体積の二相流部全容積との割合を管内平均ボイド率 $\bar{f}$ と云う。

まず、管内平均ボイド率 $\bar{f}$ の表式を考えてみる。流入速度 $u_{gi}$ で流入した気相が、上昇部出口から出ていくまでの二相流部滞在時間を $t_r$ とすると、二相流部に滞在する気相の全体積は $A u_{gi} t_r$ である。このとき、管内平均ボイド率が $\bar{f}$ であるとすると、

$$A \bar{f} L_R = A u_{gi} t_r \quad (3.15)$$

の関係が成立つ。いま、二相流部内での気相の平均上昇速度が $\bar{u}_g$ であるとすると、

$$\bar{u}_g = \frac{L_R}{t_r} \quad (3.16)$$

の関係が成立つので、 $\bar{f}$ は、

$$\bar{f} = \frac{u_{gi}}{\bar{u}_g} \quad (3.17)$$

で与えられる。そこで、気相の平均上昇速度 $\bar{u}_g$ の気液の流入速度 $u_{gi}$ および $u$ に対する表式が知れると、 $\bar{f} = \bar{f}(u, u_{gi})$ の関数形が決まる。

前節で気体スラッグの上昇速度 $u_g$ の表式が得られていて、スラッグ流の場合には、 $\bar{u}_g \doteq u_g$ とおける。Armand<sup>(21)</sup>や Bankoff<sup>(21)</sup>は、 $u_g$ が $v = u + u_{gi}$ の1次式で表わされることから、 $\bar{f}$ を $u_{gi}/v$ （気相の体積速度比と云う）で整理し、

$$\bar{f} = C \cdot \frac{u_{gi}}{v}, \quad (3.18)$$

を与えている。本実験の結果を(3.18)式の形で整理すると、 $C = 0.845$ となった(Fig. 3.11)。しかし、この表式は、スラッグ流の領域についてはよく合うが、 $\bar{f}$ が1に近い所(環状流領域)および0に近い所(気泡流領域)

)では合れなくなる。井上らの表式<sup>(23)(22)</sup>( (3.9)の第3式)の方が精度がよいと思われる。

$n$ -ペンタンについては、上昇中に空気泡の中に気化すること考えられ、 $\bar{f}$ が小さいほどすなわち液体量が多くなるほど水に比べて管内平均ボイド率が大きくなる傾向がある。それでも、 $n$ -ペンタンの場合の管内平均ボイド率も、スラッグ流の領域で $u_{gi}/v$ で整理できる傾向をもっていることはわかる (Fig. 3.11)。

管内平均ボイド率 $\bar{f}$ の、気液の流入速度 $u_{gi}$ および $u$ についての表式がわかれば、前章で得られた全圧力損失比 $K$ に関する表式( (2.12')式)を用いて、 $K$ の値を予測することができる。

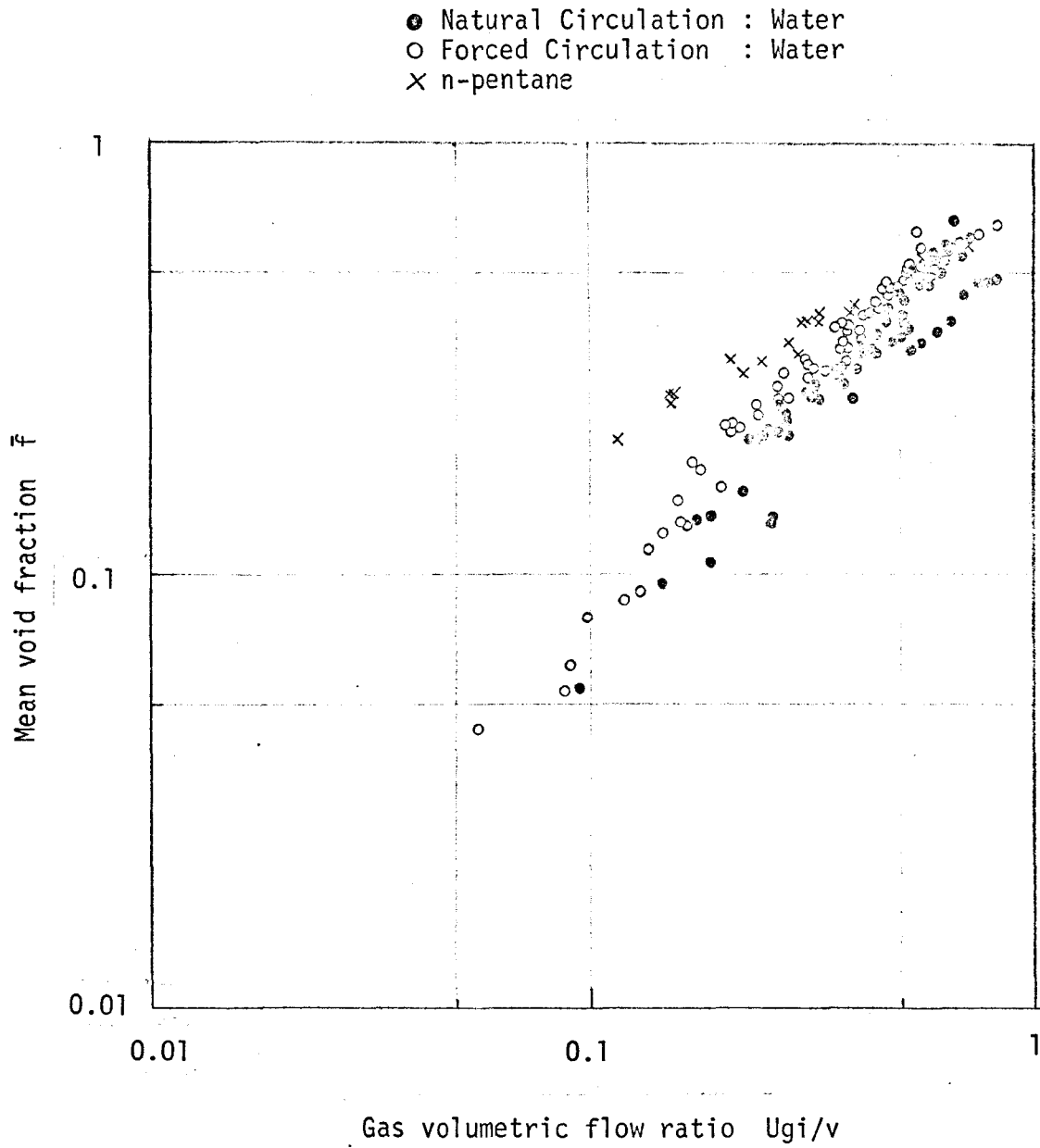


Fig.3.11. Mean void fraction versus gas volumetric flow ratio

4.3. 気体スラッグの長さ  
 気相は、大気圧下における場合には、気液の流入速度  $u_{gi}$  と  $u$  で表わされるこの場合がわかってきた。  
 気体スラッグの長さ  $l_g$  の測定値を、液相の流入速度  $u$  と、  
 をパラメータにすると、気相の流入速度  $u_{gi}$  で整理すると、  
 Figs. 3.12, 3.13 に示すようになる。この結果、気体スラ  
 グの長さ  $l_g$  は気相の流入速度に比例する傾向があり、  
 液相の流入速度  $u$  の増加により減少する傾向がある。こ  
 とがわかる。いま、 $u_{gi}$  が増えるということは管内平均  
 ボイド率が増えると考え、また  $u$  が減少するというこ  
 とは絞りが強くなり、 $u$  が増えるということは強制循  
 環にすると考えてよい。したがって、管内平均ボイド  
 率が増えるにすぎない。また、絞っていく場合には  
 スラッグの長さ  $l_g$  が増えていく。また、絞っていきな  
 ると、気液の上昇速度が小さくなってやほり合体が起  
 こりやすくなり、 $l_g$  が増加する。一方、強制循環に  
 すると、自然循環の場合に比べて二相流部の気液の上  
 昇速度が増して合体が起こりにくくなって、 $l_g$  の値が  
 小さくなる。と考えられる。

つぎに、流れ方向の気体スラッグの長さ  $l_g$  の変化の様  
 子を調べるために、気体スラッグの長さの管内径  $D$  に対  
 する倍率  $l_g/D$  を、気相入口からの無次元距離  $z^* (=z/L)$   
 で整理すると、Figs. 3.14 ~ 3.16 に示すようになる。この  
 結果、気体スラッグの長さは、上昇するにつれて増加す  
 る傾向があり、上方にいくほど合体することになる。  
 そして、液相の入口速度が小さく（単相流部が絞られ  
 る）、管内平均ボイド率が大きい（気相の流入速度が  
 大きい）ときには、気体スラッグの合体成長が大きい傾  
 向があることがわかる。

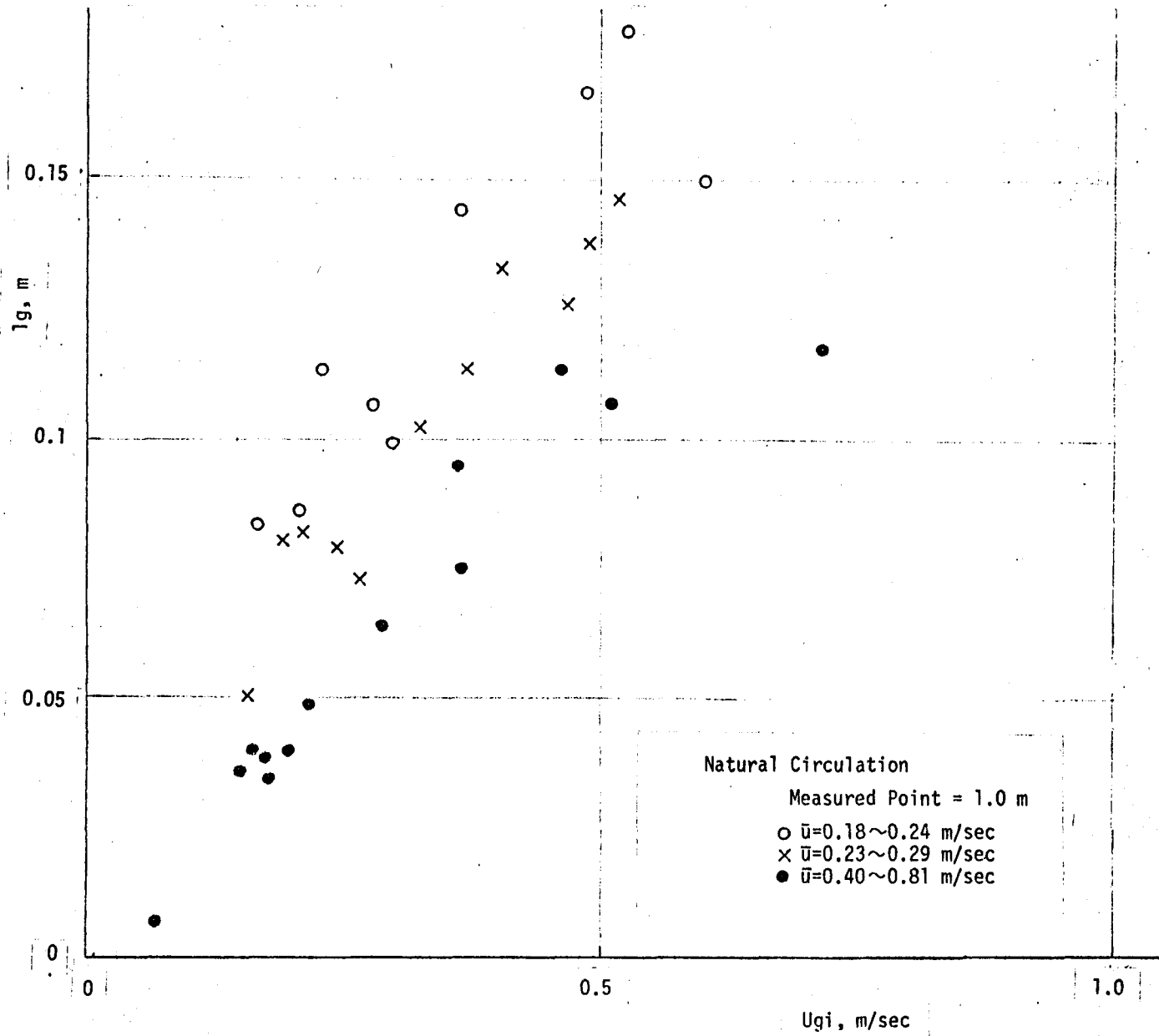


Fig.3.12. Length of gas-slugs versus gas volumetric flow rate

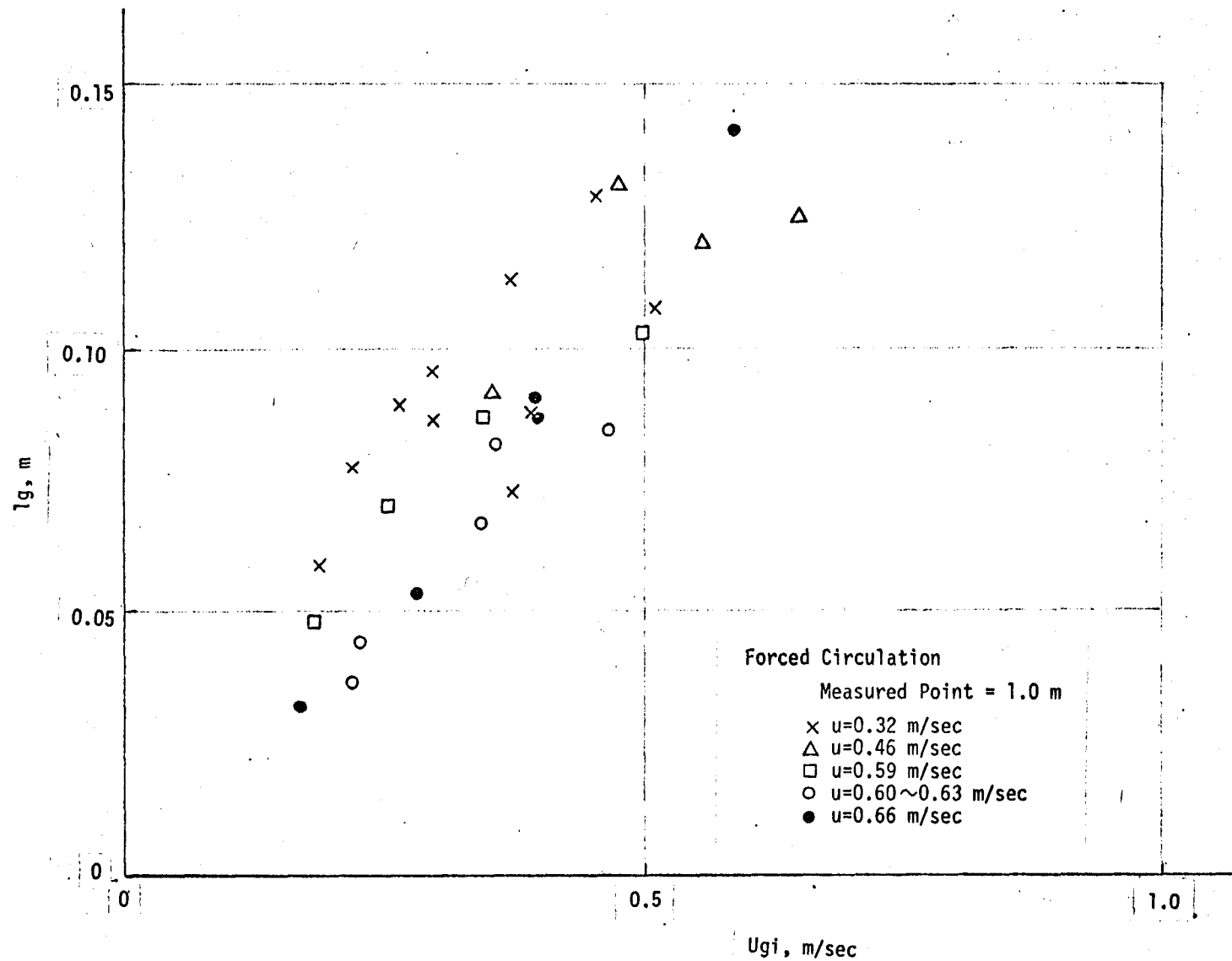


Fig.3.13. Length of gas-slugs versus gas volumetric flow rate

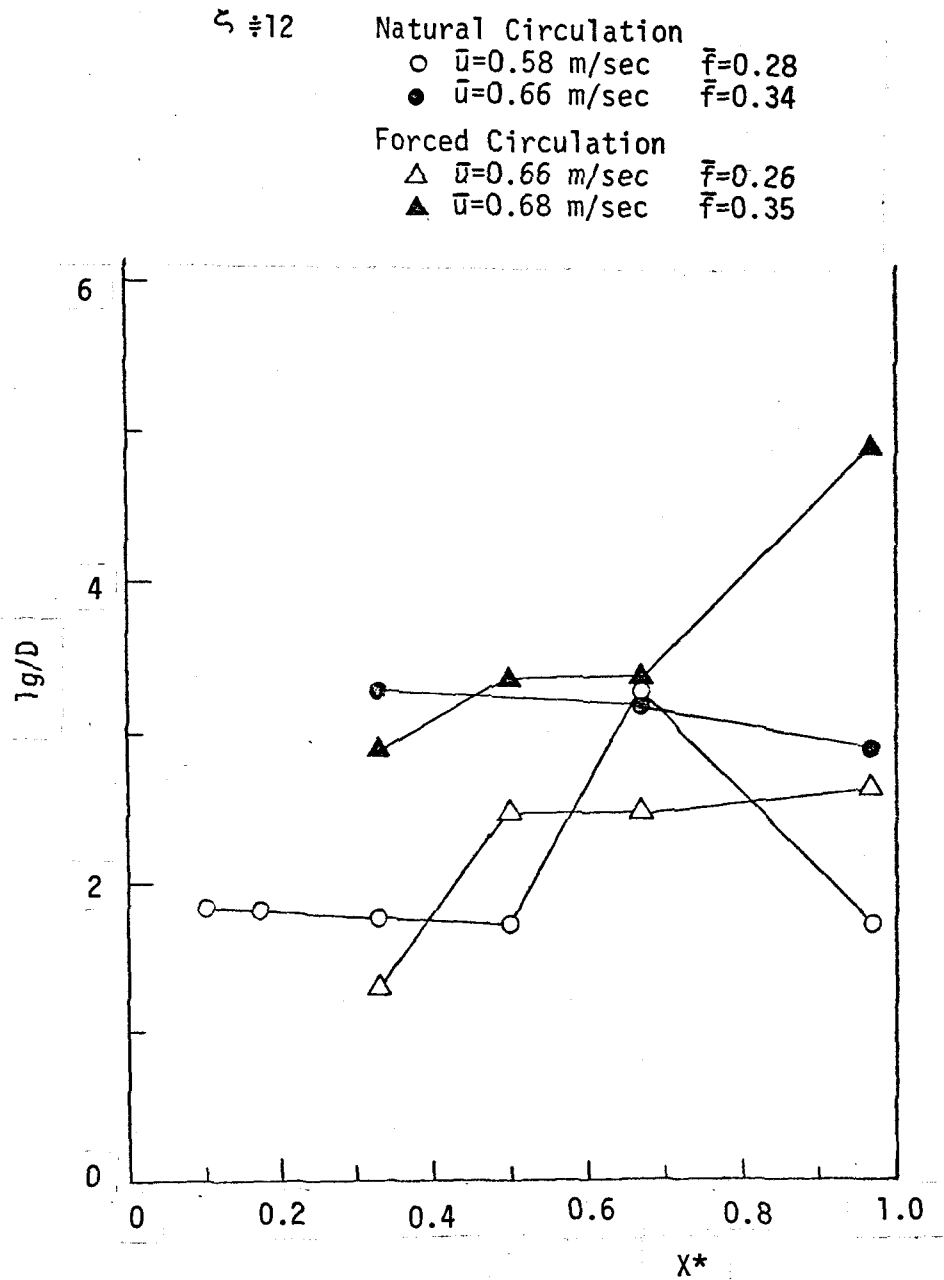


Fig.3.14. Length of gas-slugs versus flow direction



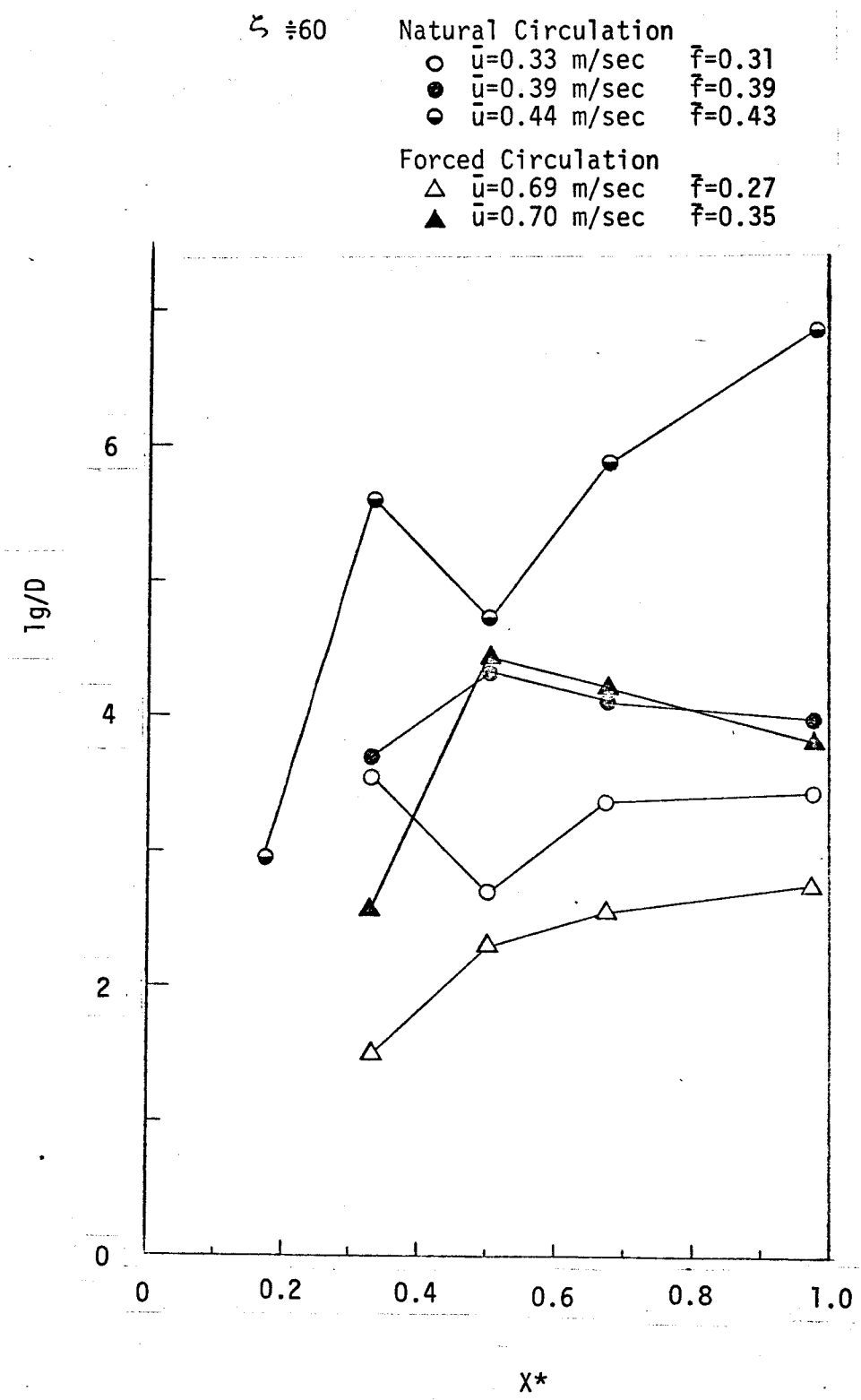


Fig.3.15. Length of gas-slugs versus flow direction

$\zeta \approx 200$

Natural Circulation			
○	$\bar{u}=0.19$ m/sec	$\bar{f}=0.32$	
●	$\bar{u}=0.21$ m/sec	$\bar{f}=0.43$	
Forced Circulation			
△	$\bar{u}=0.69$ m/sec	$\bar{f}=0.24$	
▲	$\bar{u}=0.67$ m/sec	$\bar{f}=0.33$	

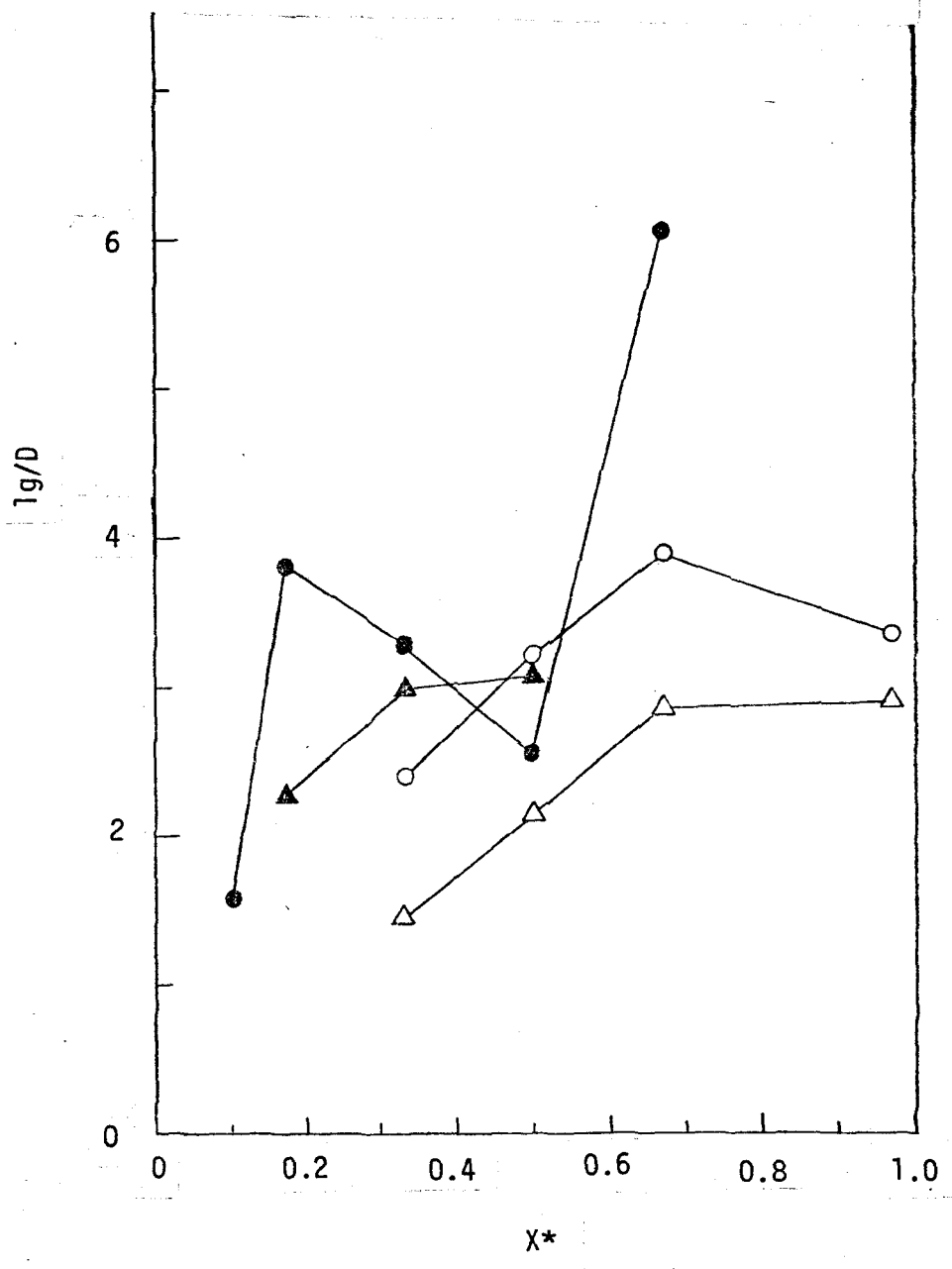


Fig.3.16. Length of gas-slugs versus flow direction

#### 4.4. 気体スラッグの通過の周期

気体スラッグの通過の周期というのは、気相入口からの距離  $x$  の位置で観測するとき、気相がたまにたまりとなつていゝために気相、液相、気相の順で通過するので、一つの気相が通過して次の気相がやってくる間の気相の頭の間隔の時間をさし、 $T_g$  の記号で表わす。気体スラッグの通過の周期  $T_g$  については、液相の入口速度  $u$  をパラメータにとって、気相の二相流断面積に対する流入速度  $u_{gi}$  で整理すると、Figs. 3.17, 3.18 に示すようになる。この結果、通過の周期  $T_g$  は、気相流入速度  $u_{gi}$  にあまり影響を受けず、液相流入速度  $u$  に影響を受け、 $u$  の増加によつて  $T_g$  が減少する傾向があることがわかる。

つぎに、気体スラッグの通過の周期  $T_g$  の流れ方向の変換を調べるために、 $T_g$  を気相流入口からの無次元距離  $z (=x/LR)$  で整理すると、Figs. 3.19 ~ 3.21 に示すようになる。この結果、通過の周期  $T_g$  は、気体スラッグが上昇するに従い増加する傾向があることがわかる。この傾向は、液相流入速度  $u$  の減少（絞りの増加）があるほどその効果が大きく、逆に  $u$  を増加（強制循環）させると  $T_g$  が減少する傾向があることがわかる。気体スラッグの上昇にしろ  $T_g$  が増加するのは、気体スラッグの上昇速度が上昇中ほとんど一定とみなせることから、気体スラッグが合体してその長さが長くなるからと考へられる。

結局、液相の入口速度  $u$  が増加すると、気体スラッグの上昇速度  $u_g$  は増加し、その長さ  $l_g$  と通過の周期  $T_g$  は減少する。また、気相の流入速度  $u_{gi}$  が増加すると、気体スラッグの上昇速度  $u_g$  とその長さ  $l_g$  は増加するが、通過の周期  $T_g$  はあまり影響を受けない。液相の入口速度

$u$  が一定で、気相の流入速度  $u_{gi}$  が増加するとき、気体スラッグの通過の周期があまり変わらないのは、その上昇速度  $u_g$  とその長さ  $l_g$  の増え方が同じ程度であると考えられる。

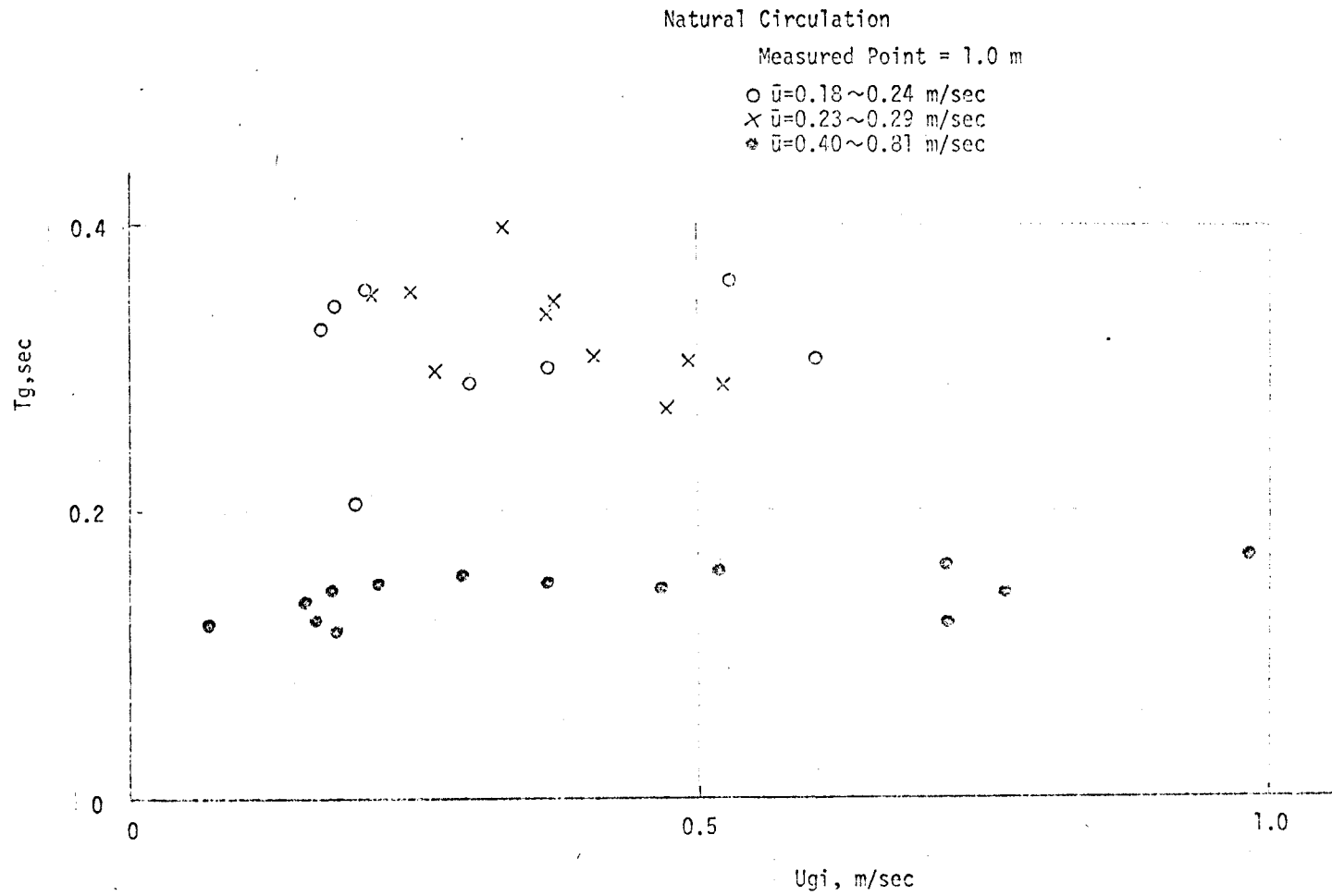


Fig.3.17. Period for passage of gas-slugs versus gas volumetric flow rate

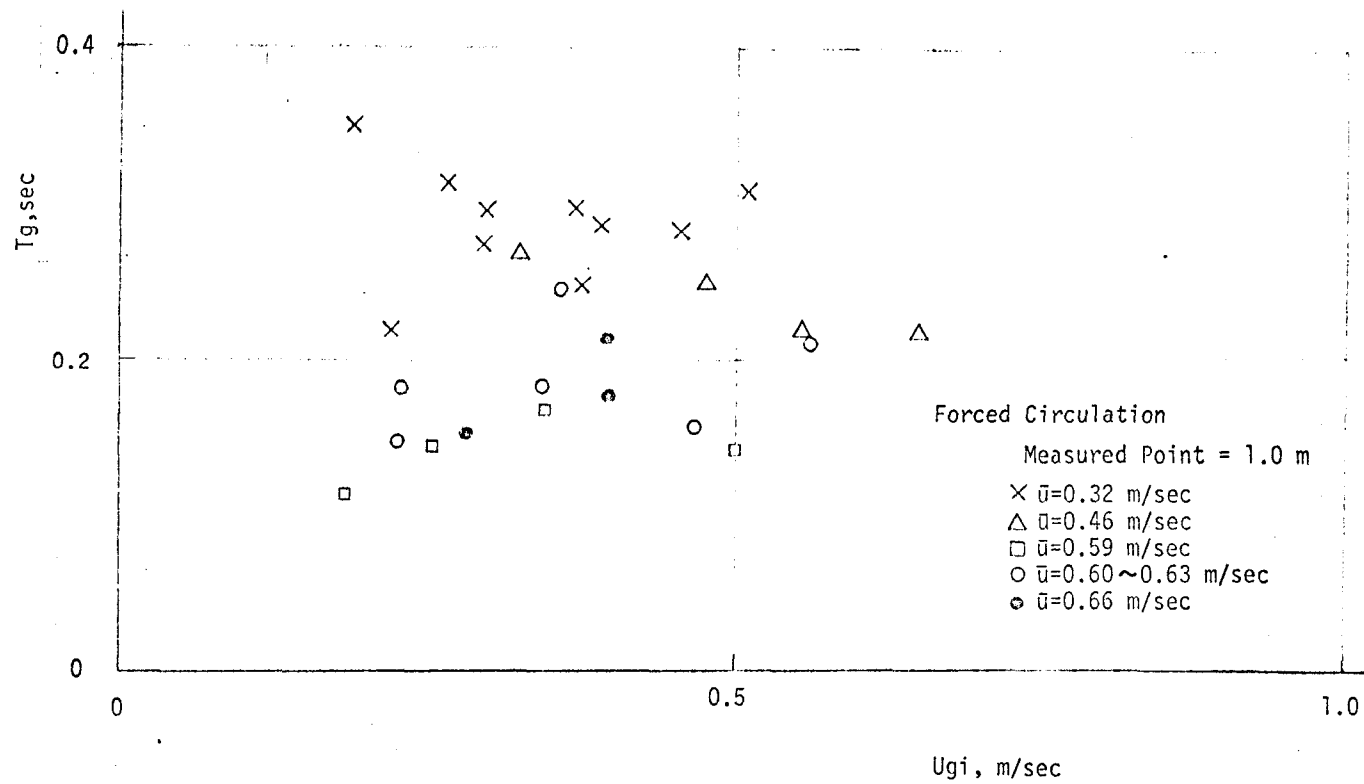
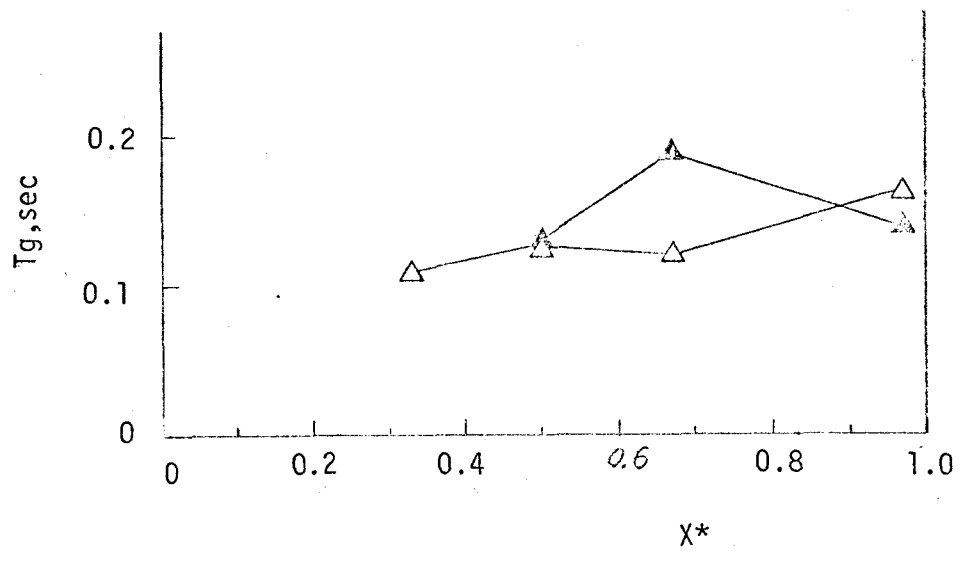


Fig.3.18. Period for passage of gas-slugs versus gas volumetric flow rate

(b)  $\zeta \doteq 12$  Forced Circulation  
 $\triangle \bar{u}=0.66$  m/sec  $\bar{f}=0.26$   
 $\blacktriangle \bar{u}=0.68$  m/sec  $\bar{f}=0.35$



(a)  $\zeta \doteq 12$  Natural Circulation  
 $\circ \bar{u}=0.58$  m/sec  $\bar{f}=0.28$   
 $\bullet \bar{u}=0.66$  m/sec  $\bar{f}=0.34$

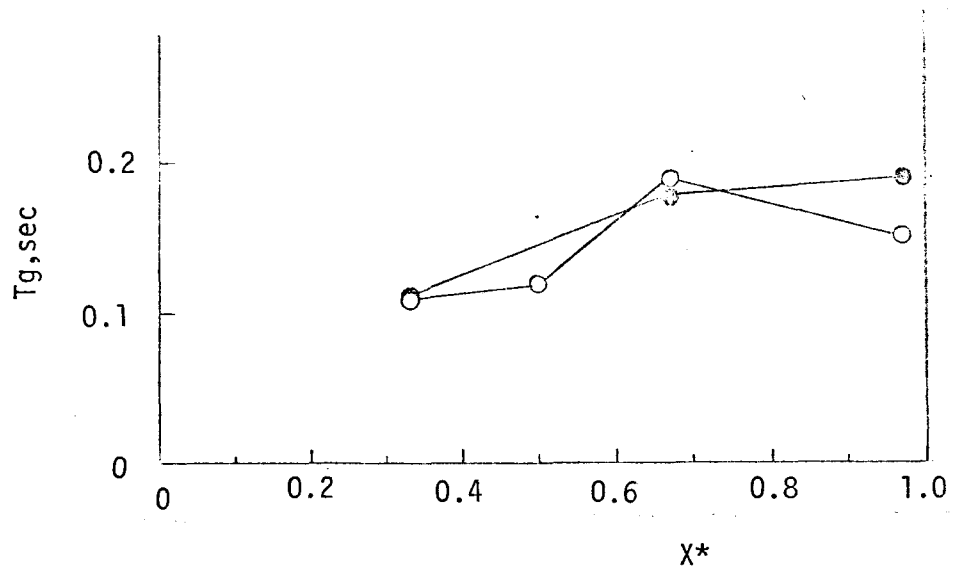


Fig.3.19. Period for passage of gas-slugs versus flow direction

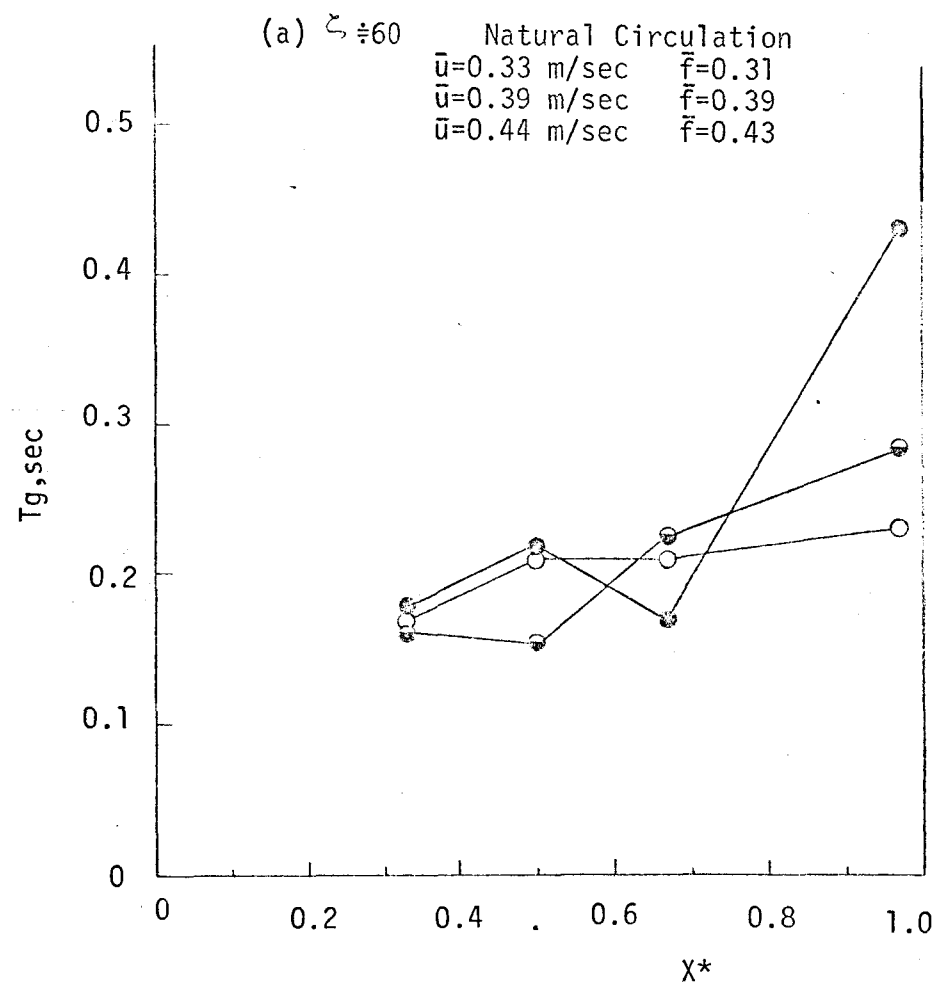
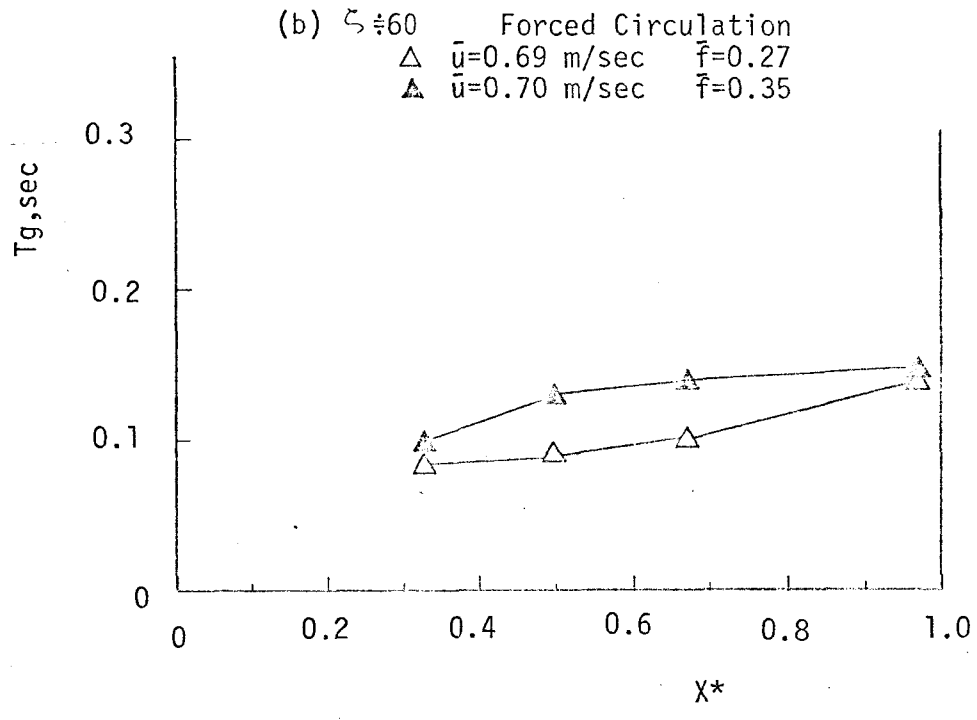


Fig.3.20. Period for passage of gas-slugs versus flow direction



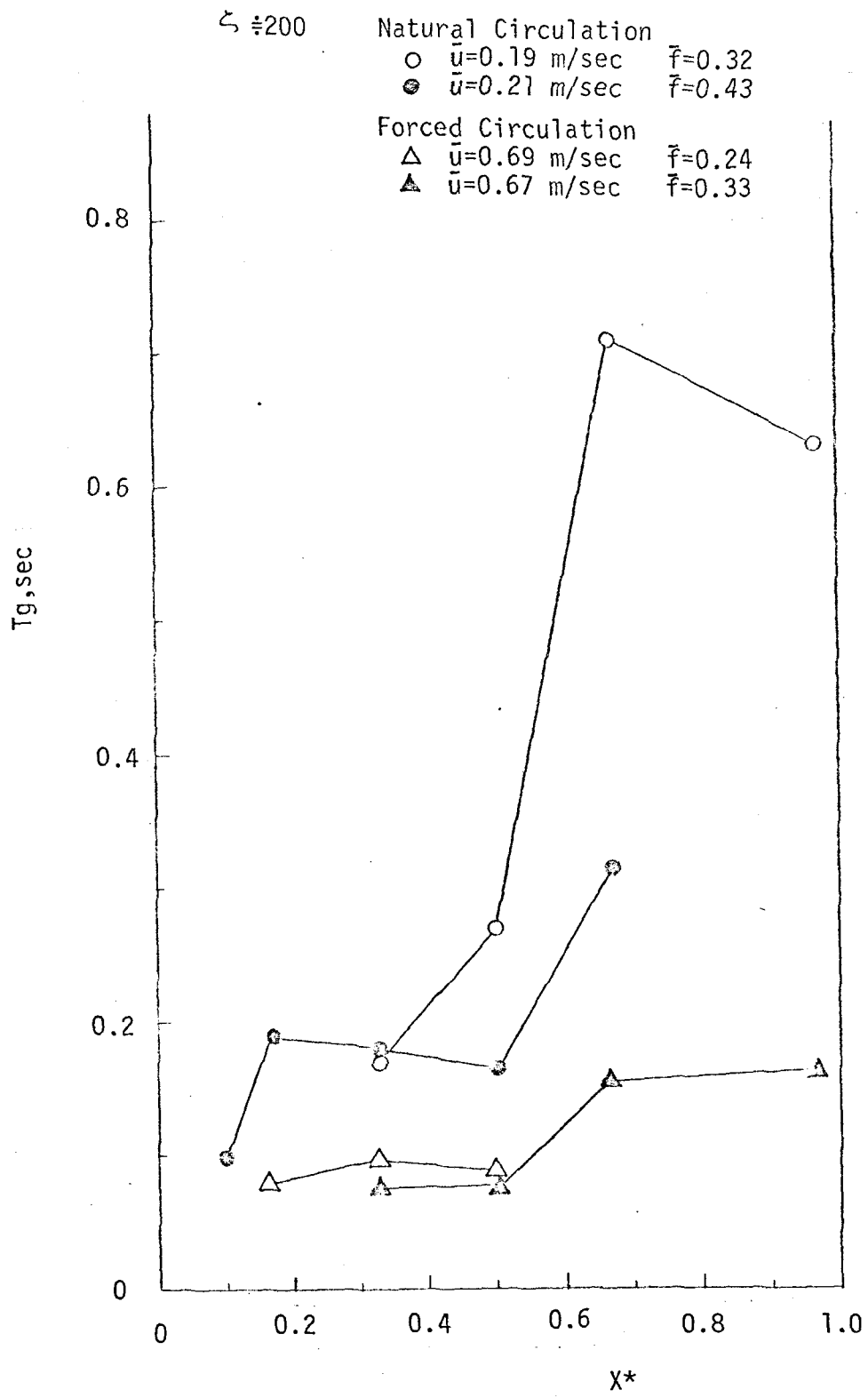


Fig.3.21. Period for passage of gas-slugs versus flow direction

## § 4. 結 論

常温大気圧下において、主に空気-水二相流系の平均ボイド率および気体スラッグの諸性質について調べた。主な結果は次の通りである。

(1) 気体スラッグの上昇速度  $u_g$  は、二相流部での全体積速度  $U (= u + u_{gi})$  の1次式で表わされる。

(2)  $u_g$  は流れ方向に一定とみさせる。

(3) 管内平均ボイド率  $\bar{f}$  は、 $u_{gi}/U$  で整理でき、水の場合、スラッグ流の領域で

$$\bar{f} = 0.845 \frac{u_{gi}}{U}$$

で与えられる。

(4) 気体スラッグの長さ  $l_g$  は、気相の流入速度  $u_{gi}$  に正比例し、液相の入口速度  $u$  の増加により減少する傾向をもつ。また、 $l_g$  は、流れ方向に増加する傾向をもつ。

(5) 気体スラッグの通過の周期  $T_g$  は、 $u$  の増加によって減少し、流れ方向に増加する傾向がある。また、 $u_{gi}$  にあまり影響を受けない。

(6) 以上の各量について循環方法の違いによる差は認められない。すなわち、強制循環および絞りの効果は、液相の入口速度  $u$  に含まれる。

流れの不安定の解析に際しては、気体スラッグの上昇速度が流れ方向に対して一定値をとるのと、気体スラッグの二相流部全体積速度に対するすべりが一定値(終端上昇速度  $u_{go}$ ) とおけること、気体スラッグが上昇するにつれて成長するが定常状態における上方と下方の差はあまりはげしくなく、平均してみれば各点のボイド率を管内平均ボイド率でおきかえてもよいとみられることの結果を用いる。また、気体スラッグの長さや通過

の様子、管軸に沿っての分布の仕方は、その周期が  
0.1~1 secのorderであるのに対して、流れの不安定にも  
とずく自励振動の周期はその10~100倍のorderである。  
このことは、安定解析に際して、気体スラッグの諸性質  
を平均化してもよいことを示している。

これらの結果は、二相流閉ループ系を集中定数系と  
して取扱えることを示唆している。

## 第4章 流れの安定性理論

### § 1. 序 論

沸騰によつて生ずる気液二相流を垂直流として含む沸騰二相流閉ループ系の流れの不安定現象は、いろいろ方法で理論的に説明されているが、それらは二つに大別される。一つは、まず定常解があるとして求めその解の微小変動に対する安定性を調べるやり方<sup>(34)~(38)</sup>であり、他は、初期値問題として時間的发展を調べるやり方<sup>(39)~(42)</sup>で、しばしば非線形励起振動の問題に帰着させるやり方<sup>(39)~(42)</sup>である。また、二相流系を集中定数系とみる<sup>(34)~(38)</sup>か分布定数系とみる<sup>(34)~(38)</sup>かによつて取扱い方はさらに区別される。

微小変動の理論を用いる場合には、不安定時における非線形な流れの振動の振幅や周期を知ることはできないうが、流れの不安定の生ずる限界を容易に知ることができる。実際のプラントにおいては、設計や運転の基準を得ることに重点をおかれるので、振動の開始点を予測することがむしろ重要で微小変動の理論による方法の方が有用である。

流れの不安定を説明する方程式系は、質量、運動量およびエネルギーの保存則で構成されるが、二相流の運動に關係する項すなわち二相の損失とすべりさらには沸騰熱伝達の過程を表わす項の關係の厳密な記述は、現象が複雑なため現在の所得られていない。これらは、従来、適当な実験式および仮定を用いて補われている。これまで多くの解析モデルが提案されているが、複雑なモデルも多く、統一的に実験結果が整理されていなかっただめに、実験や他のモデルとの比較が困難である。また、各々のモデルの適用範囲や総括的な見通

しが必ずしも明らかでよい。比較研究を、Neal と Ziri<sup>(43)</sup> が  
 いくつものモデルによつて、多様な特性を導かせる流れの不安定  
 すぎない。どのようであるか。現象の特性を導かせる流れの不安定  
 定する。みられる。現象の特性を導かせる流れの不安定  
 仮定の採用の精度は、よいか。発生する原因は、摩擦損失に原因がある  
 生れの予測の不安定がある。発生する原因は、摩擦損失に原因がある  
 動力に原因がある。循環する流体内の全運動量に原因がある。相流  
 とするもの<sup>(41)</sup>と種々であるが、いづれにしても、気液二相流  
 の流動特性に原因がある。は明らかであつて、たとえ  
 ば、加熱部入口流速と気泡発生量との関係を考へると、  
 流速が小さい間は流速が増加しても沸騰部長さが増加  
 増加するため気泡発生量が増加し、さらに流速を増加  
 減少して気泡発生量も減少し、流速を減少させる。沸騰部長さは  
 たが、流速に對して、沸騰部長さひいては気泡発生  
 生量は非線形特性を呈した。復原力の役割をして、この  
 とがわかる。そして、この気泡発生量の非線形特性が  
 流れの不安定の主要な原因の一つになつてゐるのがある。

結局、流れの不安定の発生原因は、気液二相流の流動  
 特性とくに気相の流動特性と気泡発生量の特性との  
 重なつたものであることが推論される。沸騰二相流系全体に關  
 本研究では、流れの不安定が沸騰二相流系全体に關  
 係するところを、平均化して扱つてよいと見出し、  
 とから、系を各保存則を適用し、第2章と第3章で  
 エネルギの結果を導き、

微小変動の理論を用いて、流れの安定条件を得る。得られた結果を第1章でのカーペンタンを用いた系に適用し、その実験結果と比較検討する。

## § 2. 基礎方程式

Fig.4.1 に示すような沸騰によって生ずる気液二相流を含む閉ループ系について、質量、運動量、エネルギーの保存則の表式を導く。

### 2.1. 連続の式

Fig.4.1 に示す閉ループ系のうち、Fig.4.2 に示すような二相流部を含む固定閉曲面  $S$  (加熱部と上昇部) を考える。閉曲面  $S$  の内部にある二相流体の全質量の単位時間増加する割合は、

$$\frac{\partial}{\partial t} \left( \iiint_V \frac{\rho_l}{\rho} dV + \iiint_V \frac{\rho_g}{\rho} dV \right)$$

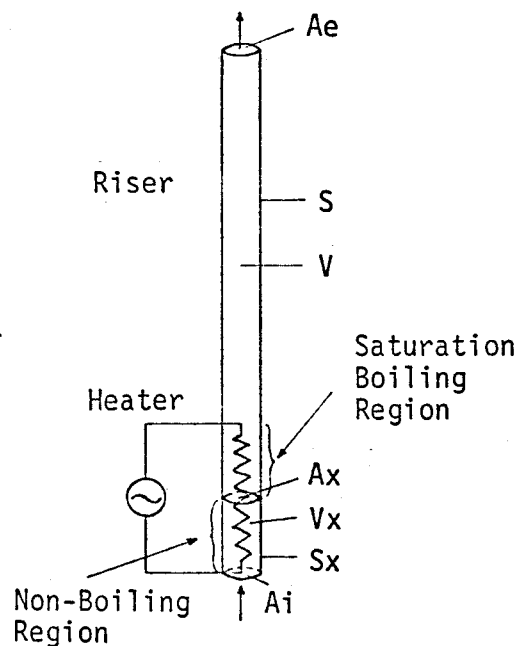
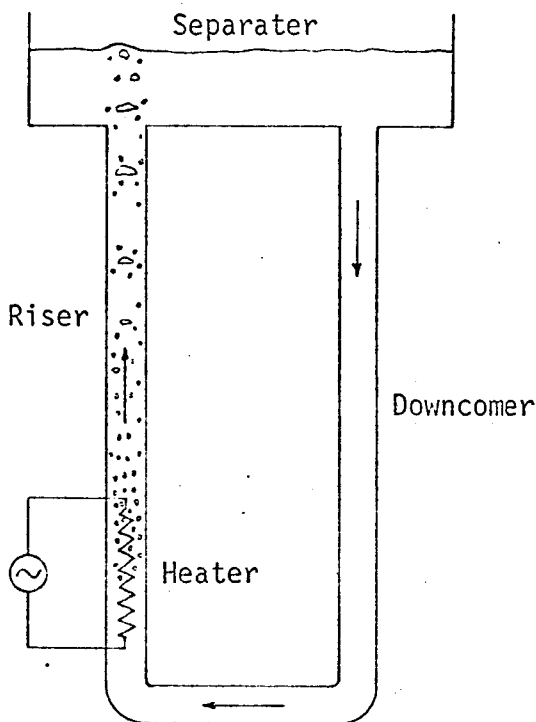


Fig.4.1. A single boiling loop Fig.4.2. Two-phase flow section

$V$  は、考えている閉曲面  $S$  内の体積、 $\rho_l$ ,  $\rho_g$  は、液体および気体の比重である。第1項の積分では液体以外の所では  $\rho_l = 0$ , 第2項の積分では気体以下の所では  $\rho_g = 0$  とする。 $\rho_l$ ,  $\rho_g$  が変わらなるとすれば,

$$\begin{aligned} &= \frac{\partial}{\partial t} \left( \frac{\rho_l}{g} \iiint_{V_l} dV + \frac{\rho_g}{g} \iiint_{V_g} dV \right) \\ &= \frac{\partial}{\partial t} \left\{ \frac{\rho_l}{g} (V - V_g) + \frac{\rho_g}{g} V_g \right\} \end{aligned}$$

$V_l$ ,  $V_g$  は、液体および気体の占める体積で、 $V_l + V_g = V$  である。 $\rho_g / \rho_l \ll 1$  の場合には、第2項が無視できて、

$$= - \frac{\rho_l}{g} \frac{dV_g}{dt}$$

$S$  を通って単位時間に流入する二相流体の質量は、

$$- \iint_S m \cdot \left( \frac{\rho_l}{g} u_l \right) dS - \iint_S m \cdot \left( \frac{\rho_g}{g} u_g \right) dS$$

$m$  は、外向法線ベクトルで、側壁では  $m \cdot u_l = m \cdot u_g = 0$ .

$u_l$ ,  $u_g$  は、液体および気体の速度ベクトルである。

$$= \iint_{A_i} \frac{\rho_l}{g} u_{li} dS + \iint_{A_i} \frac{\rho_g}{g} u_{gi} dS - \iint_{A_e} \frac{\rho_l}{g} u_{le} dS - \iint_{A_e} \frac{\rho_g}{g} u_{ge} dS$$

$A$  は断面積、 $u_l$ ,  $u_g$  は液体および気体の速度、添字  $i$  および  $e$  はそれぞれ入口および出口を表わす。入口、出口断面で流れを平均化してみれば、

$$= \frac{\rho_l}{g} u_{li} A_i - \frac{\rho_l}{g} u_{le} (A_e - A_{ge}) - \frac{\rho_g}{g} u_{ge} A_{ge}$$

$A_{ge}$  は、出口断面で気体が占める断面積である。

よって、質量の保存を表わす式は、

$$- \frac{\rho_l}{g} \frac{dV_g}{dt} = \frac{\rho_l}{g} u_{li} A_i - \frac{\rho_l}{g} u_{le} (A_e - A_{ge}) - \frac{\rho_g}{g} u_{ge} A_{ge} \quad (4.1)$$

である。(上式は、 $\nu = \nu^0$  全体についても成立する。)

## 2.2. エネルギーの式 (気相に対するエネルギー式)

二相流体のエネルギーの保存を考へるとき、加熱量に比べて、気体および液体の運動エネルギー、液体の内部エネルギーが無視でき、また、気体の輸送速度に比べて熱伝導が無視できるので、二相流体に対するエネルギーの式としては、気相に対するエネルギーの保存を考へれば十分である。

$S$  の内部にある気体の全エネルギー (ほとんど内部エネルギー  $E_g$ ) の単位時間に増加する割合は、

$$\frac{\partial}{\partial t} \iiint_V \rho_g E_g dV$$

ただし、 $E_g = \int_0^T C_{vg} dT + h_L$ 、 $C_{vg}$  は、気体の定積比熱、 $h_L$  は、気化の潜熱である。

温度が飽和温度で一定とすれば、

$$= \rho_g E_g \frac{dV_g}{dt}$$

$S$  を通して単位時間に流入する気体が持込むエネルギーは、

$$- \iint_S m \cdot (\rho_g E_g u_g) dS$$

側壁では  $m \cdot u_g = 0$ 。入口、出口断面で流れが一樣とすれば、

$$= \iint_{A_{gi}} \rho_g u_g E_g dS - \iint_{A_{ge}} \rho_g u_g E_g dS$$

$$= -\rho_g u_{ge} E_g A_{ge}$$

$S$  に働く面積力および  $S$  の内部にある気体に働く体積力が単位時間になす仕事を無視し、 $S$  を通して単位時間に流入する熱のエネルギーを無視する。

$S$  の内部で発生する熱のエネルギーのうち、気体が受



けとる分は  $Q_g$  とし、液体から気体へ移動するエネルギーは無視する。

よって、気相部分のエネルギーの保存を表わす式は、

$$\rho_g \epsilon_g \frac{dV_g}{dt} = -\rho_g u_{ge} \epsilon_g A_{ge} + Q_g \quad (4.2)$$

である。(上式は、ループ全体のエネルギーの式とも考えられる。)

### 2.3. 非沸騰部に対するエネルギーの式

$S$  の内部すなわち加熱部で発生する熱によって、加熱部へ流入してきた液体が飽和に達するまでの間のエネルギーの保存を考える。このとき、流入する液体は断面で一様に熱せられ、加熱部入口から  $L_x$  の位置で飽和に達する。 $L_x$  より上の所では発生熱は全部沸騰に寄与しその熱量は  $Q_g$  である。

固定されていまい閉曲面  $S_x$  (非沸騰部) の内部にある液体の全エネルギー(ほとんど内部エネルギー  $E_l$ ) の単位時間に増加する割合は、

$$\frac{\partial}{\partial t} \iiint_{V_x} \rho_l \epsilon_l dV_x$$

$$\text{ただし、 } \epsilon_l = \int_0^T c_{pl} dT, \quad c_{pl}: \text{液体の比熱}$$

$S_x$  を通して単位時間に流入する液体が持つエネルギーは、

$$- \iint_{S_x} m \cdot (\rho_l \epsilon_l u_l) dS_x$$

側壁では  $m \cdot u_l = 0$ 。

$$= (\rho_l \epsilon_l u_l)_i A_i - (\rho_l \epsilon_l (u_l - \frac{dL_x}{dt}))_x A_x$$

$S$  の内部で、単位時間、単位体積当りの発生する熱のエネルギーを  $q$ 、発生熱の全エネルギーを  $Q$  とすると、

$S_x$  の内部で発生する熱のエネルギーは,

$$\iiint_{V_x} \dot{q} dV_x = Q - Q_g$$

よって, 非沸騰部でのエネルギーの保存を表わす式は,

$$\frac{d}{dt} \iiint_{V_x} \rho_l \epsilon_l dV_x = (\rho_l \epsilon_l u_l)_i A_i - (\rho_l \epsilon_l (u_l - \frac{dL_x}{dt}))_x A_x + (Q - Q_g) \quad (4.3)$$

である。上式の左辺の積分を行なうためには, 非沸騰部での温度の分布を知らなければならぬ。

#### 2.4. 運動量の式

$S$  の内部にある二相流体の垂直方向の全運動量の単位時間に増加する割合は,

$$\frac{\partial}{\partial t} \left( \iiint_V \frac{\rho_l}{g} u_l dV + \iiint_V \frac{\rho_g}{g} u_g dV \right)$$

$\rho_l, \rho_g$  が不変とすると,

$$= \frac{\rho_l}{g} \frac{\partial}{\partial t} \iiint_{V_l} u_l dV + \frac{\rho_g}{g} \frac{\partial}{\partial t} \iiint_{V_g} u_g dV$$

$\rho_g/\rho_l \ll 1$  のために,  $\rho_g u_g/\rho_l u_l \ll 1$  により第2項を無視すれば,

$$= \frac{\rho_l}{g} \frac{\partial}{\partial t} \iiint_{V_l} u_l dV$$

$S$  を通して単位時間に流入する二相流体の垂直方向の運動量は,

$$- \iint_S m \cdot \left( \frac{\rho_l}{g} u_l u_l \right) dS - \iint_S m \cdot \left( \frac{\rho_g}{g} u_g u_g \right) dS$$

側壁では,  $m \cdot u_l = m \cdot u_g = 0$ , 入口断面では  $\rho_g u_g = 0$  から,

$$= \iint_{A_i} \frac{\rho_l}{g} u_l^2 dS - \iint_{A_e} \frac{\rho_l}{g} u_l^2 dS - \iint_{A_e} \frac{\rho_g}{g} u_g^2 dS$$

入口, 出口断面で流れが一樣とすれば,

$$= \frac{\gamma_L}{g} u_{Li}^2 A_i - \frac{\gamma_L}{g} u_{Le} (A_e - A_{ge}) - \frac{\gamma_g}{g} u_{ge}^2 A_{ge}$$

$S$  に働く面積力は,

$$\iint_S (m \cdot \tau_L) dS + \iint_S (m \cdot \tau_g) dS$$

$$= \iint_S (-m p_L + m \cdot \tau'_L) dS + \iint_S (-m p_g + m \cdot \tau'_g) dS$$

$p_L = p_g = p$  とする。  $\tau'_L$ ,  $\tau'_g$  は、液体および気体の粘性応力を表わす。

$$= p_i A_i - p_e A_e + \iint_S m \cdot (\tau'_L + \tau'_g) dS$$

$$\iint_S m \cdot (\tau'_L + \tau'_g) dS = R'_{tf} \text{ とおくと,}$$

$$= p_i A_i - p_e A_e - R'_{tf}$$

$S$  の内部にある二相流体に働く垂直方向の体積力は,

$$- \iiint_V \gamma_L dV - \iiint_V \gamma_g dV$$

$$\doteq - \gamma_L V_L = - \gamma_L (V - V_g)$$

よって、垂直方向の運動量の保存を表わす式は、

$$\frac{\gamma_L}{g} \frac{d}{dt} \iiint_V u_L dV = \left\{ \frac{\gamma_L}{g} u_{Li}^2 A_i - \frac{\gamma_L}{g} u_{Le} (A_e - A_{ge}) - \frac{\gamma_g}{g} u_{ge}^2 A_{ge} \right\}$$

$$+ \{ p_i A_i - p_e A_e - R'_{tf} \} - \gamma_L (V - V_g) \quad (4.4)$$

である。上式において、気相のすべりに関係する左辺の二相流体の運動量の項および右辺第1項、そして、二相流の損失に関係する  $R'_{tf}$  の項をどのように表わすかが問題になる。

Fig. 4.1 に示す系のループのうち、加熱部と上昇部を除いた单相流部において、運動量の保存を表わす式は、

$$\frac{\gamma_{ls}}{g} \frac{d}{dt} \iiint_{V'_s} u_z dV'_s = \frac{\gamma_{ls}}{g} (u_{zs} A_s - u_{z0} A_c) + \{P_s A_s - P_c A_c - R'_s\} + \gamma_{ls} V \quad (4.5)$$

- ここで、
- $\gamma_{ls}$  : 单相流部での比重量
  - $V'_s$  : 非沸騰部を除いた单相流部の容積
  - $u_{zs}$  : 下降部入口での速度
  - $A_s$  : 下降部入口の断面積
  - $P_s$  : 下降部入口での圧力
  - $R'_s$  : 非沸騰部を除いた单相流部での粘性その他の全抵抗

なお、タンク内の流動は無視してある。

(4.4)式と(4.5)式とを合わせると、ループ系全体の運動量保存を表わす式が得られる。

### § 3. 流れの安定性

#### 3.1. 基礎の仮定

前節で得られた基礎方程式の中には、関数関係の明らかでない部分があって、そのまま解くことはできない。とくに、(4.4)式における運動量の時間変化の項と二相流の損失の項は、流れの安定性に重要な役割をもち、その表式は明らかでない。実際問題を解くためには、適切な仮定および補助式を導入し、ここで、第2章および第

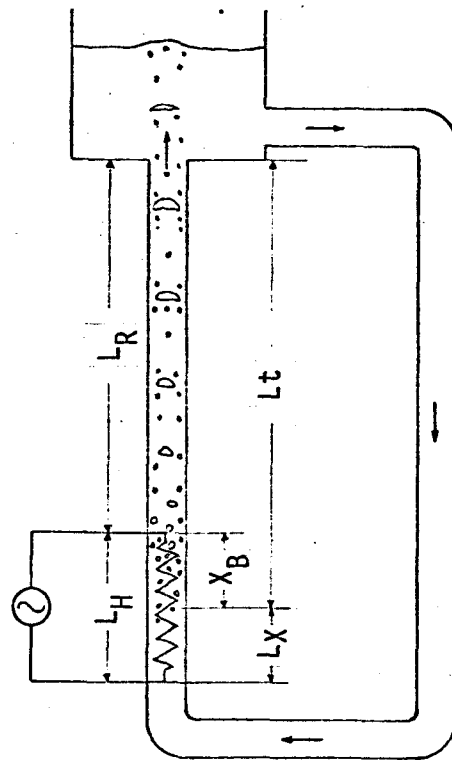


Fig.4.3. A single boiling loop

3章で得られた実験の結果を用いることにより、不足する関係の導入および必要な仮定を行なう。

ここでは、Fig. 4.3に示すような加熱部が短かく上昇部が長い沸騰ループ系について解くことを考える。前節までの実験の結果を考慮して、前節で無視した項の仮定も含めて、次のような仮定を行ない、関係式を導入して、集中差数系として取扱う。

(1) 非圧縮性とするが、単相流部と二相流部の温度差による密度変化によって生ずる対流は考慮する。

(2) 状態量は断面で平均化してみる。

(3) 気相の諸性質は平均化して扱う(第3章参照)

(4) 一様加熱として沸騰開始点を想定する。このとき、非沸騰部の温度分布を線形とし、 $\rho_{gr}$ および流速は一定とする。沸騰は飽和沸騰で上昇部も飽和状態とする。

(5) 気相の内部エネルギーはほとんど気化の潜熱であるとする。

(6) 物性値は飽和温度のそれを使って一定とする。ただし、対流効果を考えるときだけ、二相流部の比重量は $\rho_r$ 、単相流部は $\rho_{gs}$ とする。 $\rho_r/\rho_g \ll 1$ 。

(7) 気相上昇速度 $u_g$ は、流れ方向に変動はなく、二相流部全体積速度 $U$ (時間だけの関数)との相対速度を一定として気相の終端上昇速度 $u_{g00}$ に等しいとあき、

$$u_g - U = \text{const.} = u_{g00} \quad (4.6)$$

で与えられる(第3章参照)。

(8) 二相流部の全圧力損失は、第2章で得られた結果を力学的相似性により沸騰二相流にも適用し、

$$R_t = R_{ts} + 0.3F \quad (4.7)$$

の関係が用いられる。

(9) 管路は内径  $D$ 、断面積  $A$  の一様断面とする。

$$A_i = A_x = A_e \equiv A, \quad \text{したがって, } v_g = AF.$$

(10) 気液分離用タンク内は大気圧開放で圧力は一定とする。

以上の仮定によつて得られる方程式系の適用範囲は、流れの不安定時の振動の特性時間尺度で連続流れとみられるような範囲である。单相流部が強く絞られていゝる場合には、気体スラッグの通過の周期が大きくなるこゝとが考えられるため適用できなくなるかもしれない。

(4) の仮定によつて、サブクール沸騰（液全体が飽和に達するまでに生ずる局部沸騰）および低負荷の核沸騰（液全体が飽和温度に近ゝが飽和温度になつていゝないときに生ずる沸騰）は無視されている。サブクール沸騰によつて発生する気泡は伝熱面を離れやすぐ消滅するが、低負荷の核沸騰によつて発生する気泡は小さい気泡であるが伝熱面を離れて上昇する。このとき、二相流部は気泡流となる。二相流部が飽和温度になつていゝるときに生ずる沸騰を飽和沸騰（核沸騰の範囲）といゝ、飽和沸騰になると、気泡が合体成長してスラッグを形成し発達して不安定現象を引起す。したがつて、飽和温度直前の核沸騰から飽和温度の核沸騰への移行過程があるいは飽和沸騰が起こり始めてすぐの範囲で流れの不安定が生ずると考えられ、(4) の仮定によつて飽和温度に達するまでの沸騰が無視されているが、少なくともその状態は安定な状態である。ゆゑに、飽和沸騰が起こるか起こらないかという境を安定（1次安定）と不安定との境と考えることにする。

### 3.2. 集中定数系としての基礎式

§ 2 で導いた積分形式の基礎方程式から, 3.1 の仮定および補助式を用いて, 集中定数系としての基礎式を導く。

まず, (4.1) 式は,

$$\frac{dF}{dt} = (1 - f_e) U_{le} - U \quad (4.8)$$

ここで,  $f_e = A_{ge}/A$  は出口ボイド率,  $A_F$  は気相の全体積,  $F$  は駆動水頭を表わす。また,  $U_{le} = U$ 。(4.2) 式は,  $Q_g = A_g X_B$  (Fig. 4.3 参照),  $E_g \doteq h_L$ ,  $U_{ge} = U_g$  であるから,

$$\frac{dF}{dt} = \frac{\beta}{h_L \sigma_g} X_B - f_e U_g \quad (4.9)$$

(4.3) 式は,  $Q - Q_g = A_g L_X = A_g (L_H - X_B)$  (Fig. 4.3 参照) であるから,

$$\frac{dX_B}{dt} = \frac{2\beta}{\rho_L C_{pL} \Delta T_{sub}} (L_H - X_B) - 2U \quad (4.10)$$

となる。

(4.8) 式および (4.9) 式の関係は, 加熱部入口から上昇部の任意の  $x$  断面までについても成立つから, 両式の間で  $dF/dt$  を消去すれば,

$$(1 - f_x) U_{lx} + f_x U_g = U + \frac{\beta}{h_L \sigma_g} X_B = U \quad (4.11)$$

の関係が成立つ。これは両断面間において, 気相と液相の占める全体積は不変であって, 液相の流入量と気相の発生量の和が  $x$  断面における液相と気相の流出量の和に等しいことを示している。

運動量の式 (4.4) において, 左辺の運動量の時間変化の項をまず考える。

$$\frac{\delta \ell}{g} \frac{d}{dt} \iiint_{V_2} u_x dV = \frac{A \delta \ell}{g} \frac{d}{dt} (u L_x) + \frac{A \delta \ell}{g} \frac{d}{dt} \int_{L_t} (1 - f_x) u_{ex} dx$$

に (4.11) 式の関係および (4.6) 式の仮定を用いて,

$$= \frac{A \delta \ell}{g} \frac{d}{dt} \{ u (L_t + L_x) \} + \frac{A \delta \ell}{g} \frac{d}{dt} \int_{L_t} \left( \frac{\rho}{h \ell g} X_B - f_x u_g \right) dx$$

$$= \frac{A \delta \ell}{g} (L_H + L_R - F) \frac{du}{dt} + \frac{A \delta \ell}{g} (L_t - F + X_B) \frac{\rho}{h \ell g} \frac{dX_B}{dt} - \frac{A \delta \ell}{g} u_g \frac{dF}{dt}$$

ここで,  $L_x = L_H - X_B$  は非沸騰部の長さ  
 $L_t + L_x = L_H + L_R$

を得る。(4.4) 式の右辺は,

$$(P_i - P_e) A - A \delta \ell R_t - A \delta \ell R_x - A \delta \ell (L_t - F)$$

ここで,  $A \delta \ell R_t = (R_{t1} - A \delta \ell R_x) + (A \delta \ell / g) \{ (1 - f_e) u_{ge}^2 + (f_e / \ell_e) f_e u_{ge}^2 - u^2 \}$   
 は = 相流の全抵抗,  $R_x$  は非沸騰部での摩擦損失水頭を表わす。

(4.4) 式は次のように書ける。

$$\frac{A \delta \ell}{g} (L_H + L_R - F) \frac{du}{dt} + \frac{A \delta \ell}{g} (L_t - F + X_B) \frac{\rho}{h \ell g} \frac{dX_B}{dt} - \frac{A \delta \ell}{g} u_g \frac{dF}{dt}$$

$$= (P_i - P_e) A - A \delta \ell R_t - A \delta \ell R_x - A \delta \ell (L_t - F) \quad (4.12)$$

(4.5) 式は,  $P_s \neq P_e$  と考えて,

$$\frac{A \delta \ell_s}{g} L'_s \frac{du}{dt} = - (P_i - P_e) A - A \delta \ell_s (R_s - R_x) + A \delta \ell_s L_t \quad (4.13)$$

ここで,  $L'_s$  は非沸騰部を除いた单相流部の長さ,  
 $R_s$  は单相流部での全損失水頭を表わす。

(4.12) と (4.13) を加え合わせ  $(P_i - P_e) A$  を消去すれば,

$$\frac{1}{g} (L - F) \frac{du}{dt} + \frac{1}{g} (L_t - F + X_B) \frac{\rho}{h \ell g} \frac{dX_B}{dt} - \frac{1}{g} u_g \frac{dF}{dt}$$

$$= -R + F + \left( \frac{\delta \ell_s}{\delta \ell} - 1 \right) L_t \quad (4.14)$$



$$\begin{aligned} \text{ここで, } u_g &= u + \delta X_B / h_{fg} + u_{g00} \\ R &= R_t + R_s = 0.3F + (C/2g)u^2 \\ R_t &= R_{ts} + 0.3F, \quad R_s + R_{ts} = (C/2g)u^2 \\ L &= L_H + L_R + L'_s : \nu - \text{フの全長} \end{aligned}$$

を得る。(4.14)式の右辺の抵抗項  $R$  は、单相流部の全損失水頭  $R_s$  と二相流部の全損失水頭  $R_t$  の和である。 $R_t$  は二相流部での摩擦損失水頭と加速損失水頭の和である。この表式は第2章で得られた結果を用いる。

(4.9)式において、上昇部出口ボイド率  $f_e$  を管内平均ボイド率  $\bar{f}$  で置きかえても、気相の発生量の変化や気相のすりぬけ効果などの流れの不安定に及ぼす特性は基本的にくずされないから、 $f_e = \bar{f}$  とおくことにする。二相流部長さ  $L_t$  は変数であるが定常解  $L_{t0}$  で置きかえても  $\Delta L_t / L_{t0} < 1$  であるから差支えない。したがって、

$$f_e = \bar{f} = \frac{F}{L_{t0}}, \quad L_{t0} = L_R + X_{B0} \quad (4.15)$$

の関係となる。

(4.14)式の右辺の  $(\rho_{ls}/\rho_l - 1)L_t$  の項は、上昇部と下降部との液体の温度差による密度変化によって生ずる駆動力の項である。これによって、上述した1次安定と不安定との境が見出される。すなわち、飽和に達していなくても温度差による密度変化による対流現象によって流れが生じ、この流れのために沸騰が起こらないという結果を導く。この状態は安定な状態(1次安定)である。液体の密度変化に対しては次の実験式がある<sup>(16)</sup>。

$$\frac{\rho_l - \rho_g}{(\rho_l - \rho_g)_B} \left(1 - \frac{T_B}{T_c}\right)^{1/3} = \left(1 - \frac{T}{T_c}\right)^{1/3} \quad (4.16)$$

ここで、 $\rho_l, \rho_g$  は絶対温度  $T^\circ\text{K}$  における気液の密度、添字  $B$  は沸点における値、添字  $c$  は臨界点における値を示す。

液体の密度変化は、近似的に温度差 ( $\Delta T_{sub}$ ) の 1 次関数で表わすことができる。密度変化による駆動水頭は、

$$\left( \frac{\rho_{ls}}{\rho_l} - 1 \right) L_t \doteq \varepsilon L_{t0}, \quad \varepsilon = \frac{\rho_{ls}}{\rho_l} - 1 \quad (4.17)$$

と表わすことにする。

したがって、流れの不安定を説明する基礎式は、

$$\left\{ \begin{aligned} \frac{1}{g}(L-F) \frac{dU}{dt} &= - \frac{L_{t0} - F + X_{B0}}{g} \frac{\rho}{hL\rho_g} \frac{dX_B}{dt} + \frac{U_g}{g} \frac{dF}{dt} \\ &\quad + 0.7F + \varepsilon L_{t0} - \frac{C}{2g} U^2 \\ \frac{dF}{dt} &= \frac{\rho}{hL\rho_g} X_B - \frac{F}{L_{t0}} U_g \\ \frac{dX_B}{dt} &= \frac{2\rho}{\rho_l C_{pe} \Delta T_{sub}} (L_H - X_B) - 2U \end{aligned} \right. \quad (4.18)$$

$$F = F^* L, \quad U_g = U + \frac{\rho}{hL\rho_g} X_B + U_{g00}$$

沸騰長さ  $X_B$  については、

$$\left\{ \begin{aligned} X_B \leq 0 & \quad X_B = 0 \\ L_H > X_B > 0 & \quad X_B = X_B \\ X_B \geq L_H & \quad X_B = L_H \end{aligned} \right. \quad (4.19)$$

である。

### 3.3. 無次元化

基礎式を無次元化する際には、いろいろの代表量が考えられるが、ここでは、 $F$ ,  $U$ ,  $X_B$  の未知量をそれぞれ = 相流部長さ  $L_{t0}$ , 沸騰が止む入口流速  $U_c$ , 加熱部長さ  $L_H$  の各量で無次元化する。時間  $t$  は  $L_{t0}/U_c$  で無次元化する。沸騰が止む入口流速  $U_c$  は、(4.10)式から、 $X_B = dX_B/dt = 0$  とおいて求められる。

$$U_c = \rho L_H / \rho_l C_{pe} \Delta T_{sub}$$

したが、て、無次元量は\*をつけて示すと、

$$\left. \begin{aligned} f^* &= \frac{F}{L t_0}, & u^* &= \frac{u}{u_c}, & x_B^* &= \frac{x_B}{L_H}, & t^* &= \frac{t}{L t_0 / u_c} \\ g_B^* &= \frac{g L_H}{h_L \delta_g u_c} = \frac{\delta_2 C_{pe} \Delta T_{sub}}{h_L \delta_g} \\ u_g^* &= \frac{u_g}{u_c}, & u_{g00}^* &= \frac{u_{g00}}{u_c} \end{aligned} \right\} (4.20)$$

のように定義される。

無次元化された基礎式は\*をはきりて書くと次のようになる。

$$\left\{ \begin{aligned} (l_1 - f) \frac{du}{dt} &= -(1 - f + l_2) g_B \frac{dx_B}{dt} + u_g \frac{df}{dt} + 0.7 \delta f + \delta \epsilon - \frac{\sigma}{2} u^2 \\ \frac{df}{dt} &= g_B x_B - f u_g \\ \frac{dx_B}{dt} &= 2 l_3 (1 - x_B - u) \end{aligned} \right. \quad (4.21)$$

$$t = t^* L, \quad u_g = u + g_B x_B + u_{g00}$$

$$l_1 = \frac{L}{L t_0}, \quad l_2 = \frac{x_{B0}}{L t_0}, \quad l_3 = \frac{L t_0}{L_H}, \quad \delta = \frac{g L t_0}{u_c^2}$$

$$g_B = \frac{g L_H}{h_L \delta_g u_c} = \frac{\delta_2 C_{pe} \Delta T_{sub}}{h_L \delta_g}$$

$x_B$  については、

$$\left\{ \begin{aligned} x_B \leq 0 & \quad x_B = 0 \\ 0 < x_B < 1 & \quad x_B = x_B \\ x_B \geq 1 & \quad x_B = 1 \end{aligned} \right. \quad (4.22)$$

である。

### 3.4. 特性方程式

流れの安定性を調べるために、時間微分の項を零 ( $d/dt = 0$ ) とおいて得られる定常解 (添字 0 で示す) を

わりに微小かく乱 ( $\sim$  の印で表わす) を与える。

$$\begin{cases} u = u_0 + \tilde{u} \\ f = f_0 + \tilde{f} \\ x_B = x_{B0} + \tilde{x}_B \end{cases} \quad (4.23)$$

(4.23) を (4.21) 式に代入する。定常解は,

$$\begin{cases} 0.78 f_0 + \delta \epsilon - \frac{\epsilon}{2} u_0^2 = 0 \\ g_B x_{B0} - f_0 (u_0 + g_B x_{B0} + u_{g0}) = 0 \\ 1 - x_{B0} - u_0 = 0 \end{cases} \quad (4.24)$$

を解けば得られる。

いま問題にしていゝのは飽和沸騰が起こっている範囲で、流速については  $1 > u_0 \geq 0$  の範囲である。微小変動の理論によつては、この範囲の  $u_0$  についての安定性を調べ、二次安定と不安定の境を見出す。  $u_0 \geq 1$  のときは、沸騰が生じていなく上昇部と下降部との温度差による密度変化のために対流が起こっている状態で流れは安定 (1次安定) としていゝ。したがつて、  $u_0 = 1$  の解は 1次安定と不安定の境である。

微小かく乱に対する式は、(4.23) を (4.21) 式に代入して得られ、

$$\begin{cases} (l_1 - f_0) \frac{d\tilde{u}}{dt} = \{ 2l_3 (1 - f_0 + l_2) g_B + (1 - f_0) g_B u_{g0} \} \tilde{x}_B \\ \quad + \{ -u_{g0}^2 + 0.78 \} \tilde{f} \\ \quad + \{ 2l_3 (1 - f_0 + l_2) g_B - f_0 u_{g0} - \epsilon u_0 \} \tilde{u} \\ \frac{d\tilde{f}}{dt} = (1 - f_0) g_B \tilde{x}_B - u_{g0} \tilde{f} - f_0 \tilde{u} \\ \frac{d\tilde{x}_B}{dt} = -2l_3 \tilde{x}_B - 2l_3 \tilde{u} \end{cases} \quad (4.25)$$

である。(4.25) 式の第1式は、(4.21) 式の第1式に第2, 3式を代入して得られる。

(4.25)式の各式の形からみて,  $\tilde{u}, \tilde{f}, \tilde{x}_B$  は,  $t$  についての指数関数の解をもつことがわかるから,

$$\begin{cases} \tilde{u} = \hat{u} e^{\lambda t} \\ \tilde{f} = \hat{f} e^{\lambda t} \\ \tilde{x}_B = \hat{x}_B e^{\lambda t} \end{cases} \quad (4.26)$$

の形式で書くことができる。ここで,  $\hat{u}, \hat{f}, \hat{x}_B$  は与えた微小かく乱の振幅を表わす。指数の  $\lambda$  は一般に複素数である。(4.26)式を(4.25)式に代入すると,

$$\begin{cases} A \lambda \hat{u} = B \hat{x}_B + C \hat{f} + D \hat{u} \\ \lambda \hat{f} = (1-f_0) g_B \hat{x}_B - f_0 \hat{u} - u_{g0} \hat{f} \\ \lambda \hat{x}_B = -2l_3 \hat{x}_B - 2l_3 \hat{u} \end{cases} \quad (4.27)$$

$$\begin{aligned} \text{ただし, } & A = l_1 - f_0 \\ & B = 2l_3(1-f_0+l_2)g_B + (1-f_0)g_B u_{g0} \\ & C = -u_{g0}^2 + 0.7\delta \\ & D = 2l_3(1-f_0+l_2)g_B - f_0 u_{g0} - l_3 u_0 \end{aligned} \quad (4.28)$$

のように, 微小かく乱の振幅  $\hat{u}, \hat{f}, \hat{x}_B$  が満たす代数方程式が与えられる。同次式(4.27)が0以外の解をもつ条件から, 次の特性方程式が導かれる。

$$A_0 \lambda^3 + A_1 \lambda^2 + A_2 \lambda + A_3 = 0 \quad (4.29)$$

$$\begin{aligned} \text{ただし, } & A_0 = A \\ & A_1 = (2l_3 + u_{g0})A - D \\ & A_2 = 2l_3 u_{g0} A + 2l_3 B + f_0 C - (2l_3 + u_{g0})D \\ & A_3 = 2l_3 u_{g0} (B - D) + 2l_3 \{(1-f_0)g_B + f_0\} C \end{aligned} \quad (4.30)$$

$\lambda$  の実数部が負であるときのみ(4.26)で与えられる変動は零に収束し定常解は安定である。

### 3.5. 流れの安定条件

代数学における Routh の定理により, (4.29)式のすべての根の実数部が負であるための必要かつ十分条件は,

(i)  $A_0, A_1, A_2, A_3$  が同符号

いま,  $A_0 > 0$  であるから,  $A_1, A_2, A_3 > 0$

(ii)  $A_1 A_2 - A_0 A_3 > 0$

(4.31)

で与えられる。ただし,  $A_0, A_1, A_2, A_3$  は, (4.26)式と(4.28)式で表わされるものである。

流れの安定判別は次のようにして行なう。まず, 定常解があるとして, (4.24)式によつて定常解  $u_0$  を求め,  $u_0 \geq 1$  のときには, 流れは1次安定の状態である。また,  $1 > u_0 \geq 0$  のときには, (4.31)の判別条件が満たされれば流れは2次安定の状態である。

したがつて, 沸騰=相流閉ループ系の流れの安定条件は,

$$\left\{ \begin{array}{l} u_0 \geq 1 \text{ のとき, } \quad 1 \text{ 次安定} \\ 1 > u_0 \geq 0 \text{ のとき, 条件(4.31)を満たせば, } 2 \text{ 次安定} \end{array} \right. \quad (4.32)$$

で与えられる。

#### § 4. 数値計算結果と考察

前節で得られた流れの安定条件(4.32)を実際の系すなわち  $n$ -ポンプを用いた第1章 Fig.1.1の系に適用し, 実験の結果と比較してみよう。自然循環の場合を扱う。強制循環の場合には, 第1章および第2章の結果から二相流系に対して絞りの効果と相反する効果を示すことがわかっているので, とくに考へないことにする。実際, 強制循環の場合には, ポンプのヘッドが  $C_p u^2/2g$  の形で表わされるとすると, ループの抵抗係数  $r$  の代わりに  $(r - C_p)$  とおきかえて自然循環として取扱えばよい(

第2章 §2 参照)。

第1章の Fig. 1.1 の系の幾何学的諸量は、

$$L = 5.5 \text{ m}, \quad L_R = 1.5 \text{ m}, \quad L_H = 0.2 \text{ m}$$

$$D = 0.022 \text{ m}, \quad A = \pi D^2/4, \text{ m}^2$$

であり、物性に関する諸量は、沸点 ( $36.9^\circ\text{C}$ ) にあいて、

$$\rho_L = 607 \text{ kg/m}^3, \quad \rho_g = 2.8 \text{ kg/m}^3,$$

$$h_L = 85.4 \text{ kcal/kg}, \quad \rho_L c_{pe} = 340 \text{ kcal/m}^3\text{C}$$

である。下降部の  $n$ - $\rho$  ンタンの比重量  $\rho_{rs}$  は、(4.14) 式の関係を用いて求めるとよいが、いま、少なくとも  $0^\circ\text{C}$  から沸点までの間で、ほぼ直線的に変化するから、

$$\varepsilon = \frac{\rho_{rs}}{\rho_L} - 1 \doteq 0.00196 \Delta T_{\text{sub}} \quad (4.33)$$

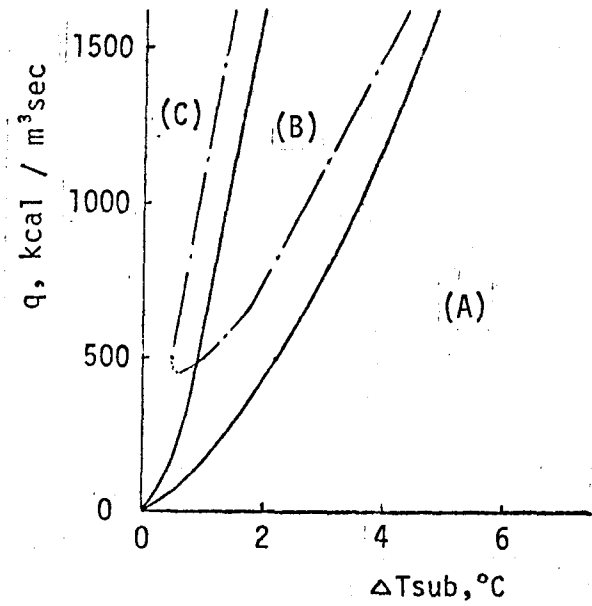
とあける。気体スラグについて、 $U_{g00} = 0.162 \text{ m/sec}$  である。

これらの諸量の値および関係式 (4.33) を用いて、加熱量  $q$ 、サブクール温度  $\Delta T_{\text{sub}}$ 、ループの抵抗係数  $r$  をパラメータにとって、(4.24) 式から定常解を求め、(4.32) の安定条件によって、流れの安定・不安定を調べ、その境に境界線を引いた結果を Fig. 4.4 に示す。なお、1次安定と不安定との境は、 $U_0 = 1$ ,  $f_0 = x_{00} = 0$  の条件から求められる。

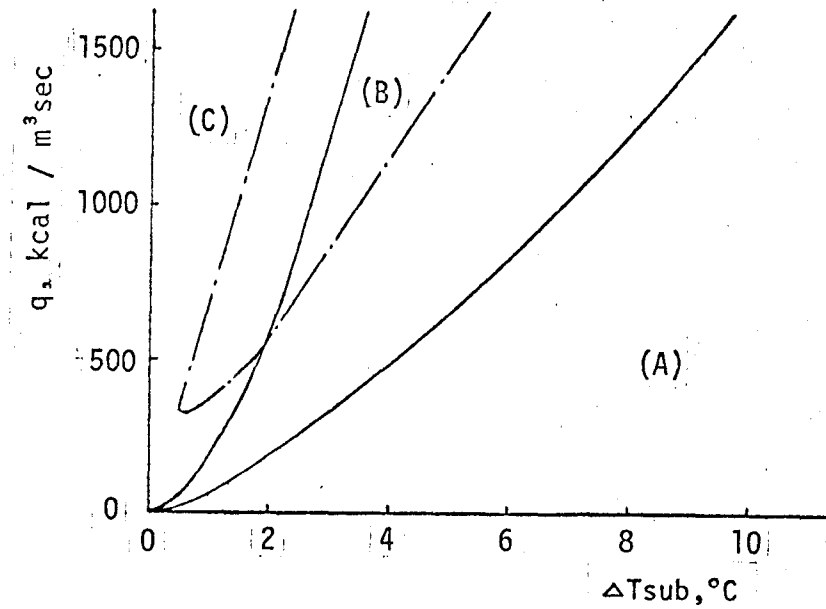
$$q \doteq (2 \times 0.00196 g L_R)^{1/2} \frac{\rho_L c_{pe}}{L_H} \varepsilon^{-1/2} \Delta T_{\text{sub}}^{3/2} \doteq 408 \varepsilon^{-1/2} \Delta T_{\text{sub}}^{3/2} \quad (4.34)$$

である。

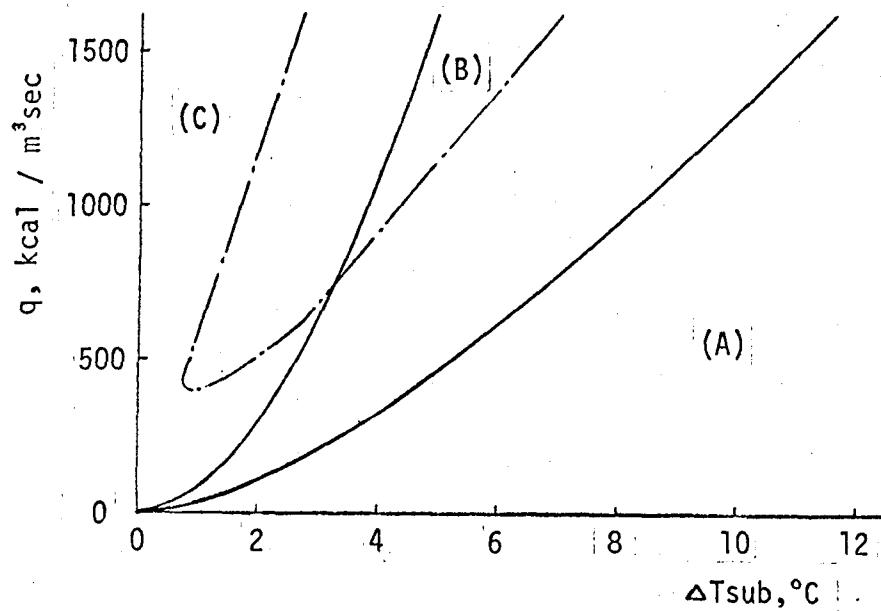
Fig. 4.4 に第1章で得られた実験結果も一点鎖線に書き入れてある。両者の比較の結果は、抵抗係数  $r$  が小さい所では実験と理論はよく一致し、 $r$  が大きくなるにつれて不安定領域と2次安定の領域が広がり、 $\Delta T_{\text{sub}}$  の大きい方へ移行するという傾向も一致している。しかし、仮定をおいたときに予想したように、 $r$  が大きい場合には実験結果と合致しなくなる。



(a)  $\zeta = 8$



(b)  $\zeta = 50$



(c)  $\zeta = 100$

- Experiment
- Theory
- (A) 1st stable region
- (B) unstable region
- (C) 2nd stable region

Fig.4.4. Comparison of present theory with experimental data for stability division in  $(\Delta T_{sub}, q)$  plane (Natural circulation by n-pentane)





これらの方程式は、流れの不安定が二相流部の運動量の時間変化の非線形特性、見方を変えれば駆動力（管内気泡量）の非線形特性に原因して発生することを示している。その機構は、加熱部への流入速度の増加が、一旦駆動力を減少させ流速を減少させるが、駆動力の回復が上回り流速を発散させる傾向を示す。一方、加熱部への流入速度の減少が、一旦駆動力を増加させ流速を増加させるが、駆動力の減少の下回りの方が早いため流速を減少させる傾向を示す。こうして、やがて流れは振動状態となる。

Fig. 4.3 のような系に対する安定条件は (4.32) で与えられる。第1章 Fig. 1.1 に示す系について  $\pi$ - $\rho$  関数を用いた場合に適用した結果、パラメータ空間における2種類の安定領域とそれらにはさまれた不安定領域の存在を示し、第1章で得られた実験結果と定性的な傾向は一致し、終りの小さい範囲では定量的にもほぼ一致した。

## 結 論

沸騰二相流系の流れの不安定現象に関する実験および安定性理論について述べた。

まず、流れの不安定現象をできるだけ一般的に把握するために、 $\eta$ -ペンタンを用いた均一電気加熱による沸騰ループについて実験を行った。測定結果の整理にあたっては、系に供給または消費されるエネルギーおよび運動量に対応する因子すなわち加熱量、サブクール温度、系の抵抗係数、強制流の流速の四つを選んだ。これらの因子を軸とするパラメータ空間での流れの安定・不安定領域の区分、不安定領域内での振動特性とともに、各領域内での気泡の流動状態や沸騰状態に注意を払った。このような整理によって次のことが明らかになった。

- (1) 流れの不安定は流動形式（前期スラッグ流から後期スラッグ流へ）の遷移域で起こる。沸騰状態については、不安定は飽和沸騰（核沸騰の範囲）になってから起こる。
- (2) 流れの安定な領域は2種類あって、サブクール時の大きい方が1次安定（気泡流、前期スラッグ流；飽和温度に近い状態での核沸騰）、小さい方が2次安定（後期スラッグ流；飽和沸騰）である。その間に不安定の領域が存在し、流動形式、沸騰状態ともに変化する。
- (3) 絞り効果は、流れの状態を1次安定  $\rightarrow$  不安定  $\rightarrow$  2次安定と移行させる傾向をもつ。
- (4) 強制循環の効果は、流れの状態を2次安定  $\rightarrow$  不安定  $\rightarrow$  1次安定と移行させる傾向をもつ。
- (5) 加熱量とサブクール温度および絞りと強制循環は

流れの安定性に対して本質的に相反する効果を示す。  
 (6) 流れの自励振動の周期は、加熱量を減少させると増加する傾向がある。この周期の増加の傾向は、サブクール温度を増加させても、抵抗係数を小さくしても、また強制循環の流速を増加させても示される。流れの振動の振幅は、自然循環から強制循環にすると減少する傾向がある。

つきに、沸騰二相流系に生ずる流れの不安定現象について安定解析を行なうのであるが、二相流の損失、気相のすべりおよび沸騰熱伝達に関して厳密な関数関係の記述が明らかでないため、開いた微分方程式系が得られない。そこで、二相流の損失と気相のすべりについて実験で調べた。沸騰熱伝達については、非沸騰部のエネルギーの保存則から、流入速度とサブクール温度の沸騰量への効果を表わすことができるのでとくに考えないことにする。飽和に達しない場合の核沸騰は無視し、解析上は非沸騰に対応して1次安定の状態とする。

簡単な理論的考察と実験から、二相流の損失と気体スラッグの性質について次のことが明らかになった。

(7) 垂直気液二相流の全圧力損失比には、気泡流、スラッグ流の領域において、液体の種類(少くとも水とn-ペンタン)に関係なく、二相流フルード数  $Fr_T$  とレイノルズ数および流路の形状量を含む二相流部の液体だけが流れたときの抵抗係数  $C_{ts}$  とで簡単に表わされ、

$$\kappa = 1 + 0.3 C_{ts}^{-1} Fr_T^{-1}$$

で与えられる。

- (8) 気体スラッグの二相流の全体積速度に相対的な速度は、ほぼ一定であり、流れの方向に沿ってほぼ一定であると仮定できる。
- (9) 流れに沿った各断面でのボイド率も、平均化して扱ってよく、気体流入量に比例して増加する。
- (10) (7)~(9)によって、沸騰二相流系の流れの不安定現象を説明する方法として、集中定数系としての取扱いが適当であることを示唆する。

これらの結果を利用して、積分形式で書いた二相流系の質量、運動量、エネルギーの保存則から流れの不安定現象を説明する閉じた微分方程式系が得られる。これらの方程式は、流れの不安定の発生の原因が、管内気泡の存在量おなじみち駆動力の非線形特性にあることを示している。

微小変動の理論を用いて、これらの方程式に基づく安定性の理論は、パラメータ空間における二種類の安定領域とそれらにはさまれた不安定領域の存在を示し、先に見出された実験結果と定性的な傾向は一致し、絞りの小さい範囲では定量的にもほぼ一致した。

- (11) 沸騰二相流系の流れの不安定現象を論じる微分方程式は(4.21)式で与えられ、流れの安定条件は(4.32)で与えられる。
- (12) Fig. 4.4は、流れの安定と不安定の領域を示したもので、実験と理論が符号する程度を読みとることができる。

## 謝 辞

終りに、本研究をまとめるにあたって、懇切な御指導、御教示を頂いた大阪大学基礎工学部 村崎寿満教授、森岡茂樹助教、吉沢能政助教に厚く御礼申し東に深謝致します。また、貴重データを拝借させて頂いた博士に厚く御礼申し上げます。また、実験に協力された当時の学生

## 参 考 文 献

- (1) 松井剛一他, 日本機械学会関西支部第43期講演論文集, (1968), 38.
- (2) 松井剛一, 京大数理解析研講究録, 101(1970), 1.
- (3) 松井剛一, 日本原子力学会誌, 13-2 (昭46), 66.
- (4) 村崎寿満・松井剛一他, 日本機械学会関西支部第46期講演論文集, (1971), 87.
- (5) 森岡茂樹・松井剛一他, 第3回流体力学講演会講演集, (昭46), 89.
- (6) G. Matsui, Heat Transfer - Japanese Research, 1-1 (1972), Scripta Publ. Corp..
- (7) P. A. Lottes, et al, 2nd Geneva Conf., (1958), 1983.
- (8) S. Levy, E.S. Beckjord, ASME, 60-HT-27 (1960).
- (9) 寺野寿郎他, 日本機械学会論文集, 28-195, (昭37) 1957.
- (10) S. Fabrega, EAES Symp., (1963).
- (11) J. Timmermans, Physico-Chemical Constants of Pure Organic Compounds, Vol. 1, (1950), 6, Elsevier Publ. Co..
- (12) J. Timmermans, *ibid.*, Vol. 2, (1965), 30.
- (13) 日本化学会, 化学便覧, (昭41), 丸善.
- (14) 日本機械学会, 機械工学便覧, (昭37)
- (15) 植松時雄, 水力学, (昭35), 産業図書.
- (16) 佐藤一雄, 物性定数推算法, (昭43), 丸善.
- (17) 香川達雄, 沸騰熱伝達, (昭40), 243~253, 日本機械学会.
- (18) T. N. Veziroglu and S.S. Lee, Cocurrent Gas-Liquid Flow, (1969), 303~344, Plenum Press.
- (19) R. W. Lockhart and R.C. Martinelli, Chem. Engng. Progr.,

- 45-1 (1949), 39.
- (20) 赤川浩爾, 日本機械学会論文集, 23-128 (昭32), 292.
- (21) S. G. Bankoff, ASME, Ser. C, 82-2 (1960), 265.
- (22) 井上晃・青木成文, 日本機械学会論文集, 36-288  
(昭45), 1358.
- (23) 井上晃・青木成文, 日本機械学会論文集, 36-288  
(昭45), 1366.
- (24) M. Petrick, ANL-5789, (1958).
- (25) S. Levy, ASME, Ser. C, 85-2 (1963), 137.
- (26) J. R. S. Thom, Int. J. Heat Mass Transfer, 7 (1964),  
709.
- (27) G. H. Anderson and B. G. Mantzouranis, Chem. Engng. Sci.,  
12 (1960), 109.
- (28) R. M. Davis and G. I. Taylor, Proc. roy. Soc. Lond.,  
Sec. A., 200 (1950), 375.
- (29) D. J. Nicklin, J. O. Wallis and J. F. Davidson, Trans.  
Instn. Chem. Engrs., 40 (1962), 61.
- (30) P. G. Griffith and G. B. Wallis, ASME, Ser. C, 83 (1961),  
307.
- (31) R. Moissis and P. G. Griffith, ASME, Ser. C, 84 (1962),  
29.
- (32) 赤川浩爾, 日本機械学会論文集, 29-201, (昭38), 924.
- (33) 井上晃・青木成文, 日本機械学会論文集, 32-238  
(昭41), 940.
- (34) A. B. Jones, KAPL-2170, (1963).
- (35) C. K. Sanathahan, ANL-6847, (1964).
- (36) G. Wallis and J. Heasley, ASME, Ser. C, 83 (1961), 363.
- (37) E. Beckjord, GEAP-3493, (1960).
- (38) L. M. Shotkin, Nucl. Sci, Engng., 28 (1967), 317.
- (39) A. Jahnberg, EAES Symp., (1963).



- (40) A. N. Nahavandi and R. F. von Hollen, Nucl. Sci. Engng., 20 (1964), 392.
- (41) J. A. Fleck, J. Nucl. Energy, 11 (1960), 114.
- (42) 藪山真治, 日本機械学会論文集, 28-195 (昭37), 1607.
- (43) L. G. Neal and S. M. Ziri, Nucl. Sci. Engng., 30 (1967), 25.
- (44) C. C. Lin, The Theory of Hydrodynamic stability, (1966), Cambridge Univ. Press.
- (45) 青木成文, 原子炉熱工学, (昭40), 養賢堂.
- (46) 内田秀雄他, 熱伝達特論, (昭39), 裳華房.
- (47) 日本機械学会, 沸騰熱伝達, (昭40).
- (48) 高橋利衛, 機械振動とよの防止, (昭37), オーム社.
- (49) 赤川浩爾, 流体固体輸送工学ハンドブック, (昭41), 516~544, 朝倉書店.